

**MICROFACIES E MICROFOSSILI DEL  
CRETACICO DI MARGINE DELLA  
PIATTAFORMA CARBONATICA**  
**MICROFACIES AND MICROFOSSILS OF  
THE EDGE CRETACEOUS  
CARBONATE PLATFORM**

**Tavole 157 - 204**  
*Plates 157 - 204*

### 3. - MICROFACIES E MICROFOSSILI DEL CRETACICO DI MARGINE DELLA PIATTAFORMA CARBONATICA (figg. 12 - 14; Tavv. 157 - 204)

Nelle zone marginali della piattaforma carbonatica la sedimentazione è stata regolata da un idrodinamismo costantemente elevato con ottimizzazione del ricambio e conseguente ossigenazione delle acque: ciò ha favorito lo sviluppo qualitativo e quantitativo degli organismi bentonici, con particolare riguardo a quelli sessili (figg. 12 - 14).

La minore o maggiore intensità dell'idrodinamismo è strettamente connessa con le frequenti variazioni dell'acclività delle paleoscarpate di origine tettonica: paleoscarpate meno acclivi corrispondono a momenti di stasi della tettonica sinsedimentaria e favoriscono la progradazione delle facies di piattaforma carbonatica interna su quelle marginali. Alle frequenti fasi di ripresa della suddetta attività tettonica corrisponde, invece, un ringiovanimento delle paleoscarpate che divengono più acclivi con conseguente arretramento delle facies marginali.

In questo secondo caso non soltanto l'idrodinamismo nelle zone marginali raggiungeva i suoi massimi valori ma notevoli quantità di sedimenti, non ancora diagenizzati, venivano mobilizzati e gli organismi bentonici in essi contenuti andavano a risedimentarsi, sotto forma di biodetrito, lungo le scarpate o nelle zone prossimali dell'antistante bacino pelagico.

Le successioni di margine, quindi, sono di regola interessate da lacune erosionali la cui ampiezza ed estensione è difficilmente valutabile a causa della monotonia della sedimentazione organogena tipica del paleoambiente marginale. Se si considera la grande quantità di biodetrito presente nelle zone di scarpata esterna, si deduce che le successioni di ambiente marginale, se completamente conservate, avrebbero presentato spessori molto superiori rispetto a quelli attualmente osservabili.

### 3. - MICROFACIES AND MICROFOSSILS OF THE EDGE CRETACEOUS CARBONATE PLATFORM (figs. 12 - 14; Plates 157 - 204)

*The sedimentation in the marginal areas of carbonate platform was ruled by steadily high hydrodynamic with optimization of replacement and subsequent oxygenation of waters: this has led to the qualitative and quantitative development of benthic organisms, with particular regard to the sessile ones (figs. 12 - 14).*

*The greater or lesser intensity of the hydrodynamic regime is closely related to frequent changes of the paleoslopes steepness of tectonic origin: less steep paleoslopes correspond to moments of stasis of synsedimentary tectonics and promote the progradation of the inner on the edge carbonate platform facies.*

*To the frequent recovery phases of this tectonic activity corresponds instead a rejuvenation of paleoslopes that become steeper with the consequent retreat of the marginal facies.*

*In this case not only the hydrodynamic regime in marginal areas reached its maximum values, but considerable quantities of sediment, not yet diagenized, were mobilized and the benthic organisms there in contained were going to resedimentated as skeletal debris along slopes or in the proximal areas of the opposite pelagic basin.*

*The sequences of the margin, are therefore generally affected by erosional gaps, whose magnitude and extent is difficult to evaluate because of the monotony of the organogenic sedimentation, typical of the marginal paleoenvironment. The large amount of organic debris present in the areas of outer slope suggests that the successions of marginal environment, if completely preserved, would have presented thicknesses much higher than those currently observable.*

SCALA CRONOSTRATIGRAFICA		M A R G I N E D E L L A P I A T T A F O R M A C A R B O N A T I C A		
		BIOZONE	SUBZONE	C O M P A R S E
C R E T A C I C O	S U P E R I O R E	MAASTRICHTIANO	Orbitoides	
		CAMPAÑIANO		
		SANTONIANO	Radiolitidae	
		CONIACIANO	e	
		TURONIANO	Hippuritidae	
		CENOMANIANO	Orbitolina	
	I N F E R I O R E	ALBIANO		
		APTIANO		
		BARREMIANO		
		HAUTERIVIANO	Lithocodium aggregatum	
		VALANGINIANO		
		BERRIASIANO		
GIURASSICO	TITONIANO SUP.	Tubiphytes morronensis		

Fig. 12 - Schema biostratigrafico e riferimenti cronostratigrafici relativi al Cretacico di margine della piattaforma carbonatica (da CHIOCCHINI et alii, 2008, modificato).

- Cretaceous biostratigraphic scheme with chronostratigraphic references regarding the edge of the carbonate platform (from CHIOCCHINI et alii, 2008, modified).

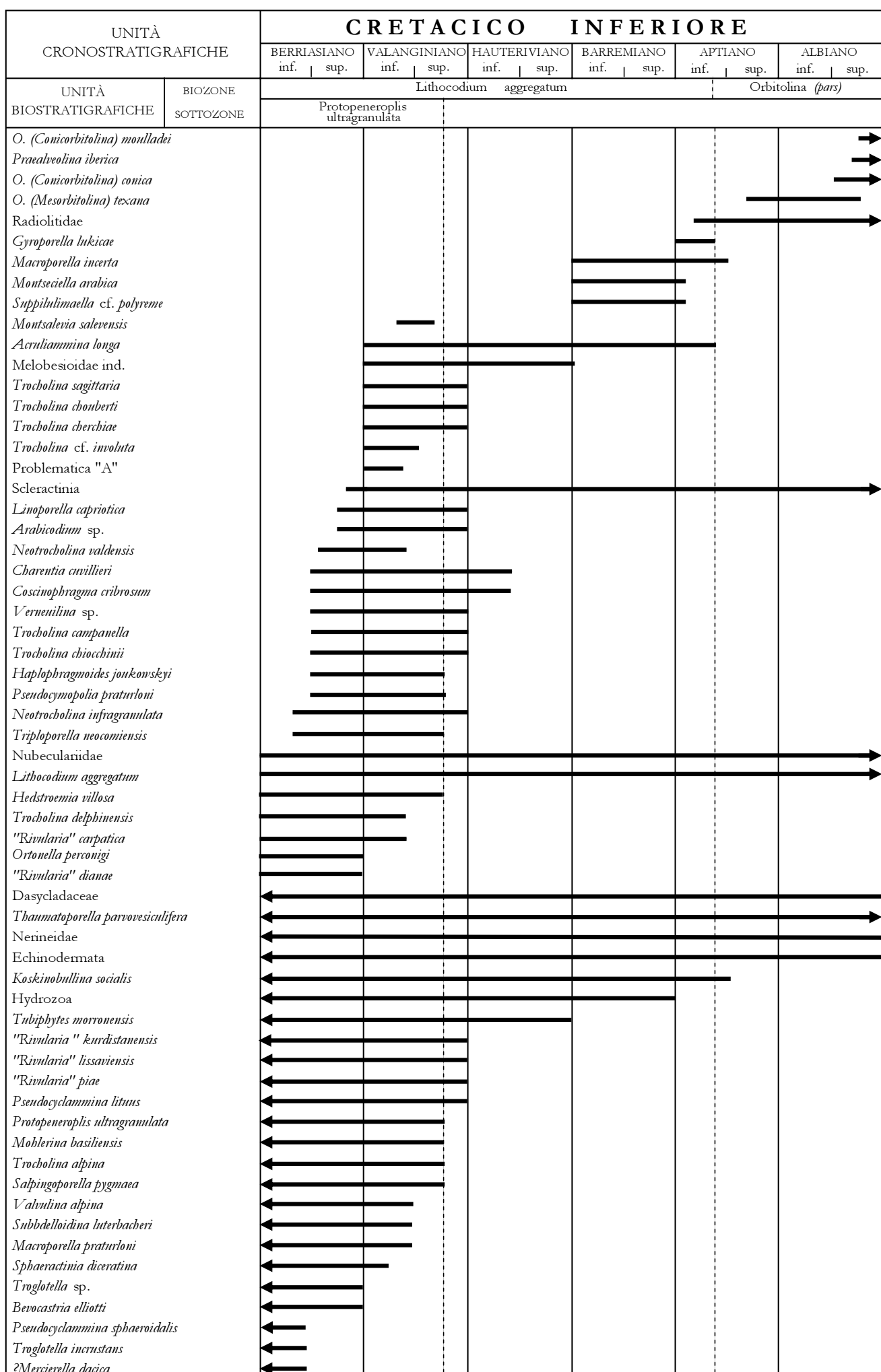


Fig. 13 - Carta di distribuzione dei taxa del Berriasiano - Albiano di margine della piattaforma carbonatica (da CHIOCCHINI et alii, 2008, modificato).  
- Berriasian to Albian distribution chart of the taxa related to edge of the carbonate platform paleoenvironment (from CHIOCCHINI et alii, 2008, modified).

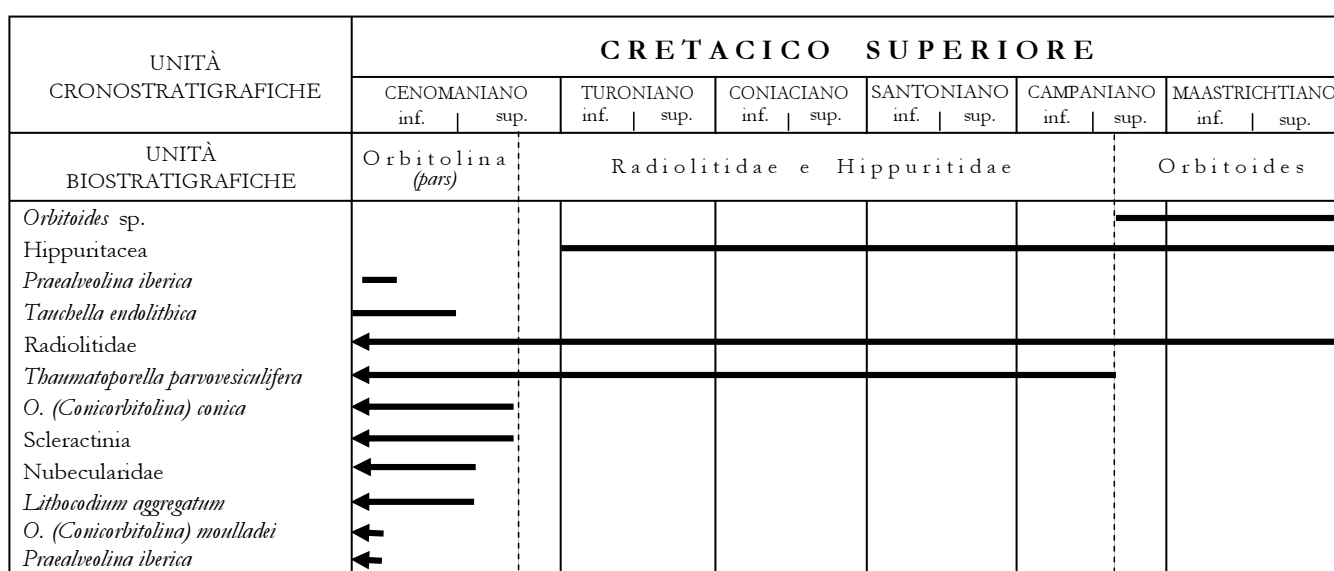


Fig. 14 - Carta di distribuzione dei taxa del Cenomaniano - Maastrichtiano di margine della piattaforma carbonatica (da CHIOCCHINI et alii, 2008, modificato).

- Cenomanian to Maastrichtian distribution chart of the taxa related to edge of the carbonate platform paleoenvironment (from CHIOCCHINI et alii, 2008, modified).

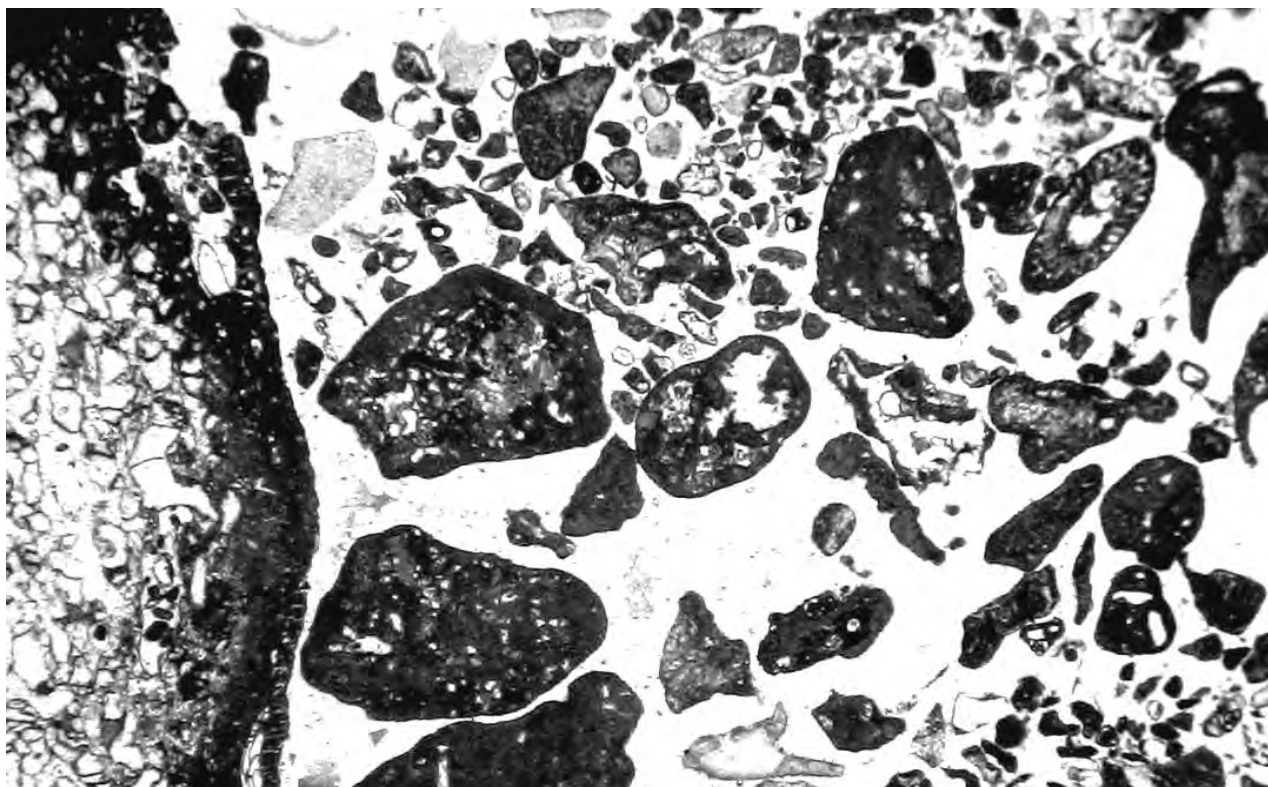
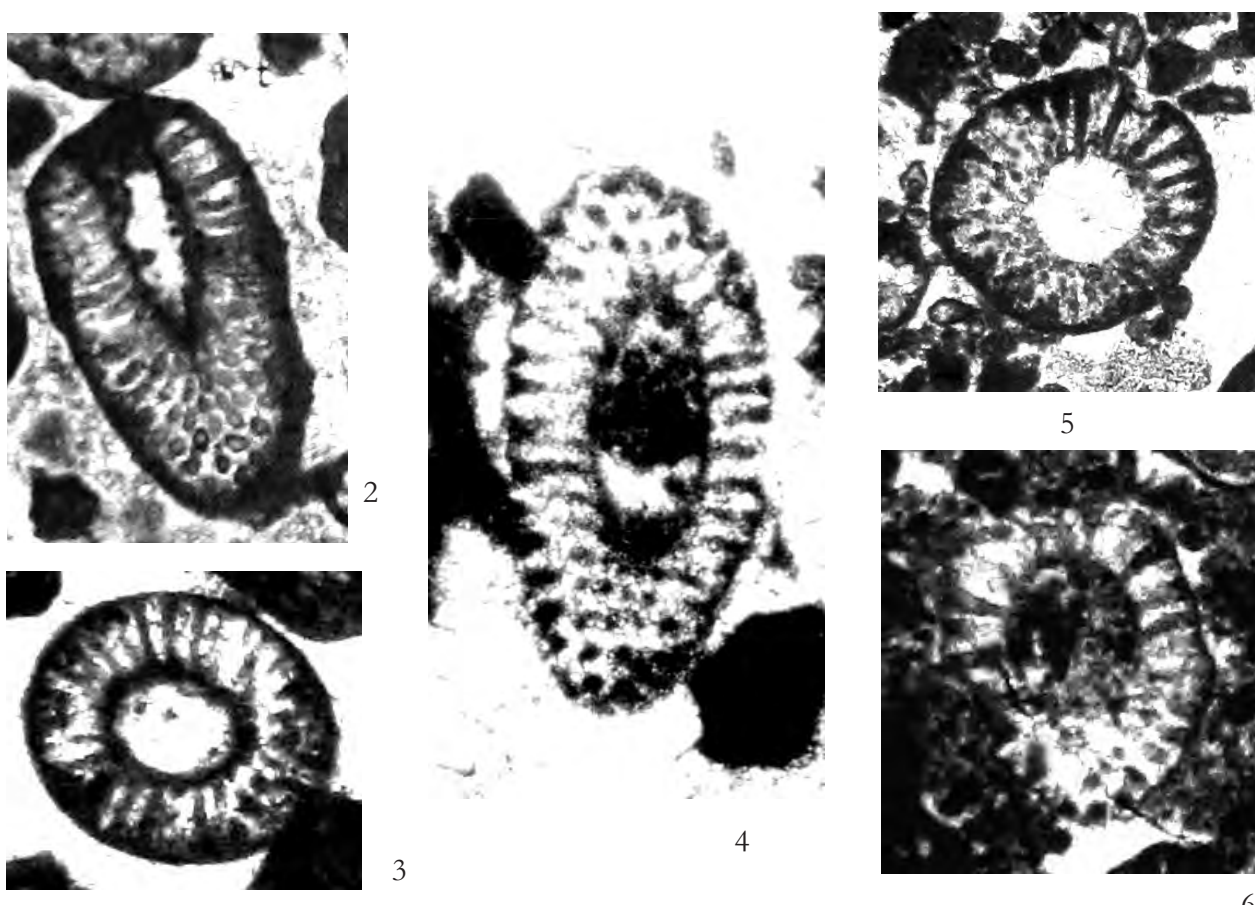


Fig. 1 – Rudstone mal classato con *Salpingoporella gr. pygmaea*, *Lithocodium aggregatum*, rari Foraminiferi bentonici, resti di Mollusca e Echinodermata.  $\times 20$   
 – Poorly sorted rudstone with *Salpingoporella gr. pygmaea*, *Lithocodium aggregatum*, rare benthic Foraminifera, Mollusca and Echinodermata remains.  $\times 20$



Figg. 2-6 – Sezioni variamente orientate di individui riferibili a *Salpingoporella gr. pygmaea*.  $\times 42$   
 – Variously oriented sections of specimens referred to *Salpingoporella gr. pygmaea*.  $\times 42$

La microfacies di fig. 1 e gli individui delle figg. 3, 5, 6 provengono dalla sezione stratigrafica di Cima d'Anzano; le figg. 2 e 4 dalla sezione stratigrafica di Monte Camarda, Gran Sasso d'Italia (Abruzzo).

Biozona a *Lithocodium aggregatum* - sottozona a *Protopeneroplis ultragranulata*. BERRIASIANO INFERIORE  
 – The microfacies of fig. 1 and the specimens of figs. 3, 5, 6 from Cima d'Anzano stratigraphic section; the figs. 2 and 4 instead from Camarda Mt. stratigraphic section, Gran Sasso d'Italia (Abruzzi).  
*Lithocodium aggregatum* biozone - *Protopeneroplis ultragranulata* subzone.

LOWER BERRIASIAN

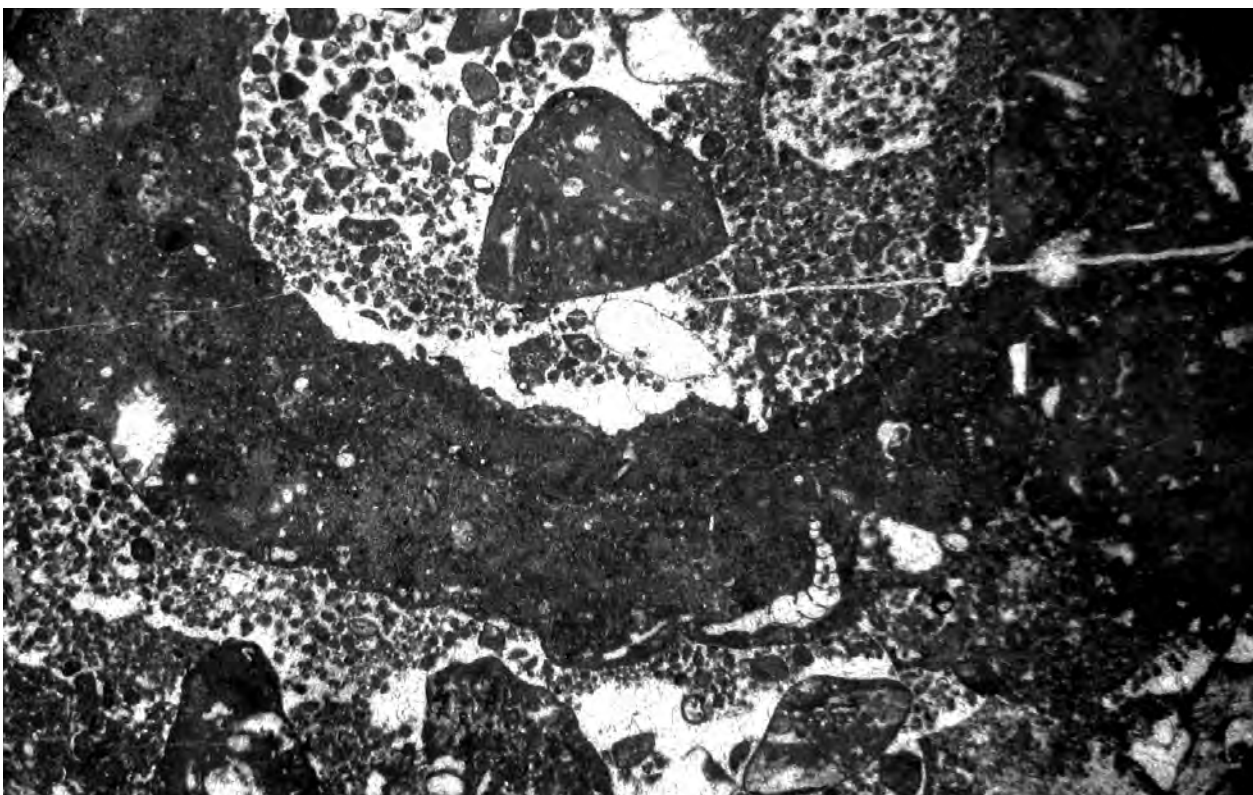
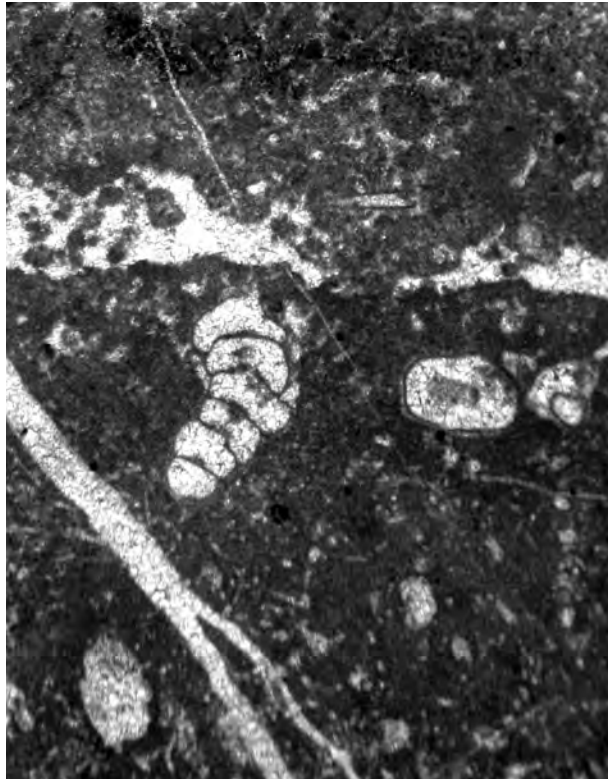
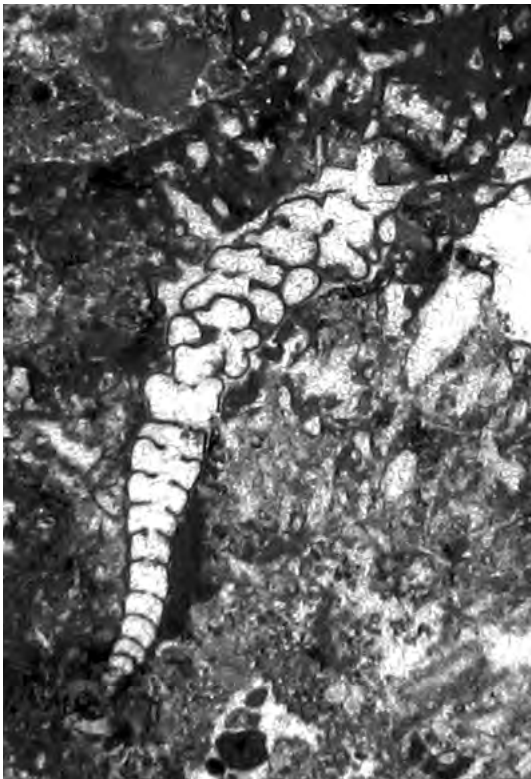


Fig. 1 – Bindstone con *Troglotella incrustans* associata a *Lithocodium aggregatum*. x 12  
 – Bindstone with *Troglotella incrustans* associated to *Lithocodium aggregatum*. x 12



Figg. 2-3 – Sezioni variamente orientate di individui riferibili a *Troglotella incrustans*. x 30  
 – Variously oriented sections of specimens referred to *Troglotella incrustans*. x 30

La microfacies di fig. 1 e gli individui delle figg. 2, 3 provengono dalla sezione stratigrafica Costa di Piecipopoli, Gran Sasso d'Italia (Abruzzo).

Biozona a *Lithocodium aggregatum* - sottozona a *Protopeneroplis ultragranulata*. BERRIASIANO INFERIORE  
 – The microfacies of fig. 1 and the specimens of figs. 2, 3 from Costa di Piecipopoli stratigraphic section, Gran Sasso d'Italia (Abruzzo).  
*Lithocodium aggregatum* biozone - *Protopeneroplis ultragranulata* subzone. LOWER BERRIASIAN

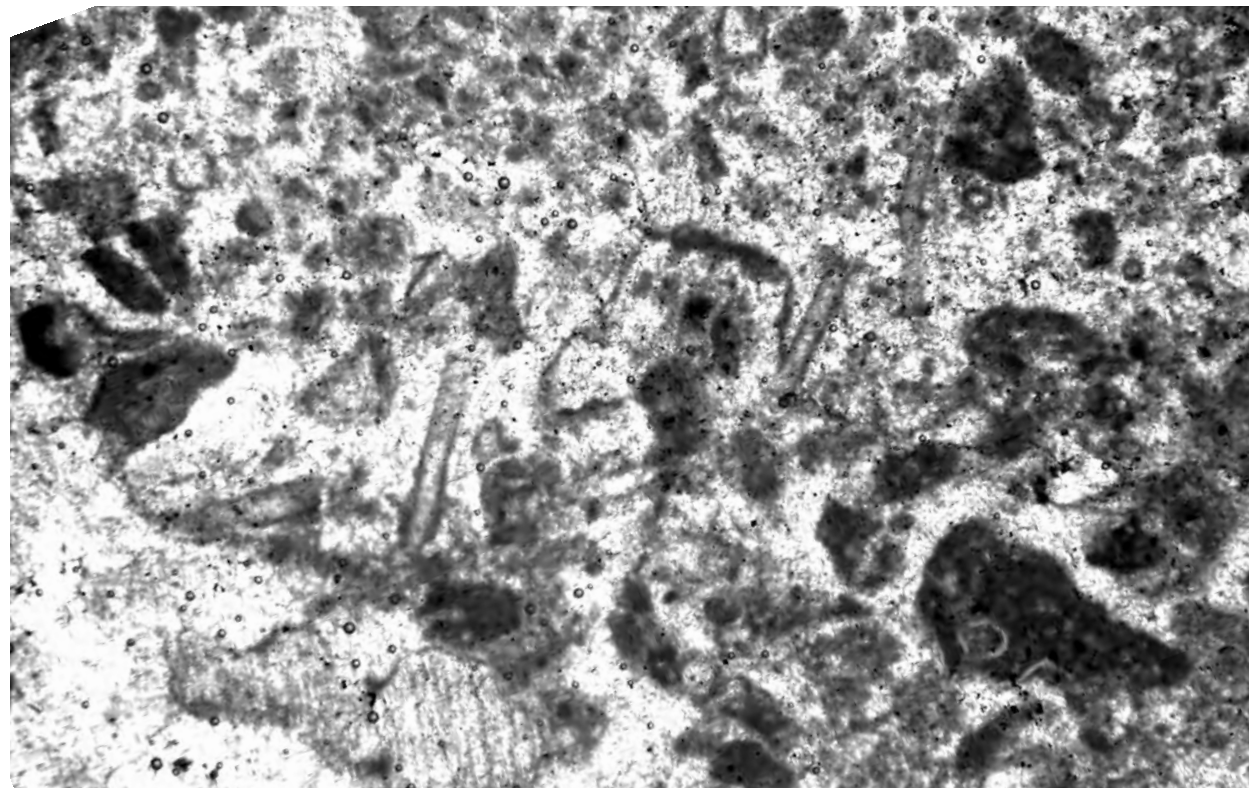
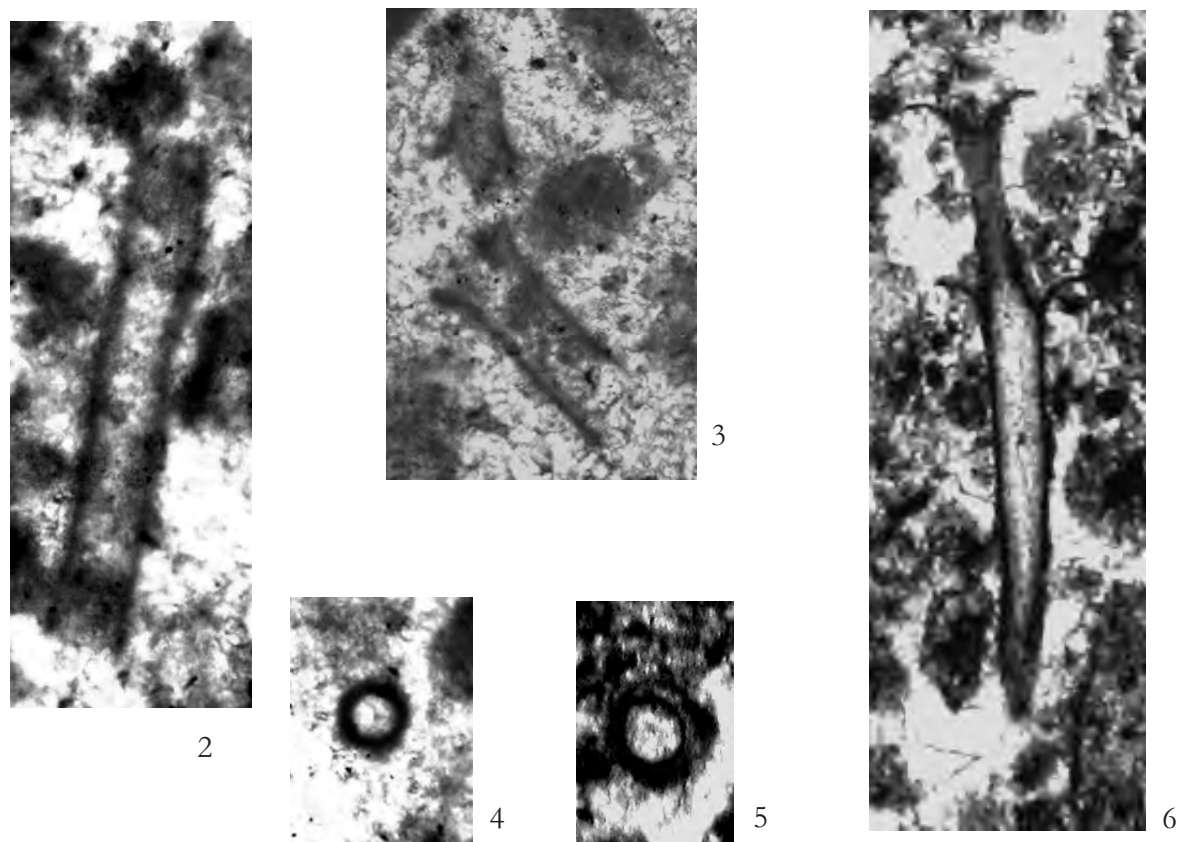


Fig. 1 – Grainstone con ?*Mercierella dacica*.  $\times 25$   
 – Grainstone with ?*Mercierella dacica*.  $\times 25$



Figg. 2-6 – Sezioni variamente orientate di individui riferibili a ?*Mercierella dacica*.  $\times 65$   
 – Variously oriented sections of specimens referred to ?*Mercierella dacica*.  $\times 65$

La microfacies di fig. 1 e gli individui delle figg. 2-5 provengono dalla località Casale Antonacci presso Antrodoco (Lazio); la fig. 6 dalla sezione stratigrafica di Capodichina, Monte Cairo (Lazio meridionale). Biozona a *Lithocodium aggregatum* – sottozona a *Protopeneroplis ultragranulata*. BERRIASIANO INFERIORE – The microfacies of fig. 1 and the specimens of figs. 2-5 from Casale Antonacci (Latium); the specimen of fig. 6 from Capodichina stratigraphic section, Cairo Mt. (Southern Latium). *Lithocodium aggregatum* biozone – *Protopeneroplis ultragranulata* subzone.

LOWER BERRIASIAN

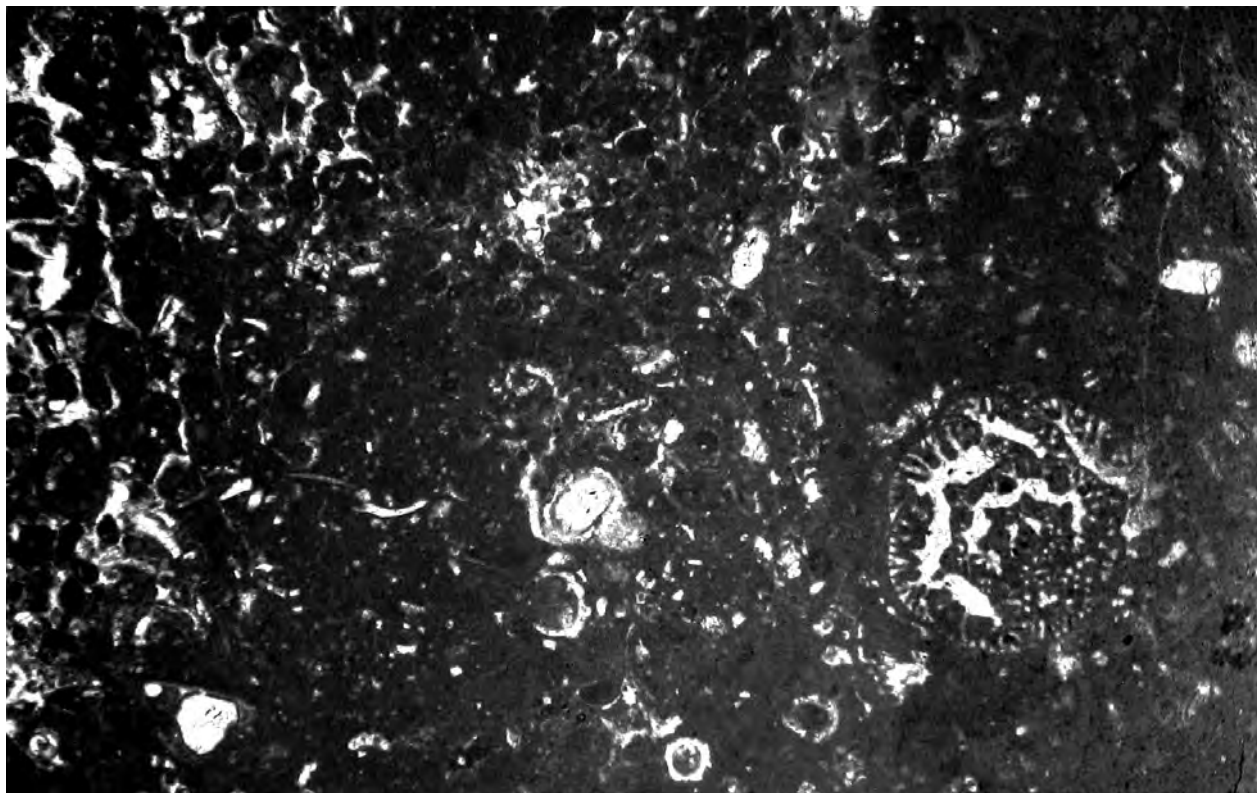
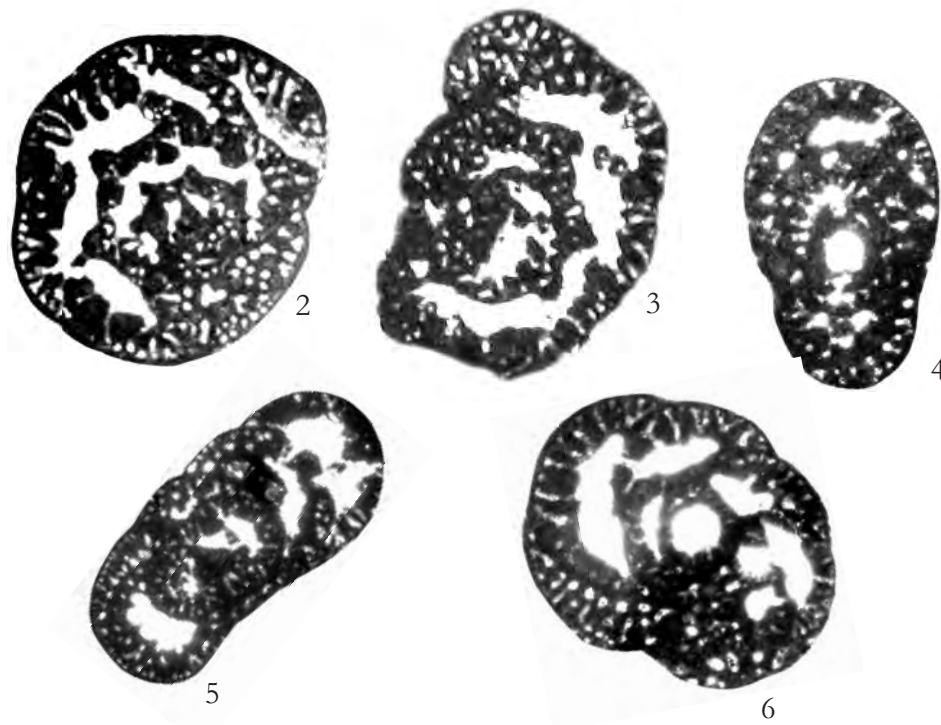


Fig. 1 – Packstone mal classato con *Pseudocyclammina sphaeroidalis*, altri Foraminiferi bentonici e Dasycladaceae.  $\times 18$   
 – Poorly sorted packstone with *Pseudocyclammina sphaeroidalis*, other benthic Foraminifera and Dasycladaceae.  $\times 18$



Figg. 2-6 – Sezioni variamente orientate di individui riferibili a *Pseudocyclammina sphaeroidalis*.  $\times 25$   
 – Variously oriented sections of specimens referred to *Pseudocyclammina sphaeroidalis*.  $\times 25$

La microfacies di fig. 1 e l'individuo di fig. 2 provengono dalla sezione stratigrafica di Piecipopoli; gli individui delle figg. 3-6 provengono dalla sezione stratigrafica di Cima d'Anzano, Gran Sasso d'Italia (Abruzzo).

Biozona a *Lithocodium aggregatum* - sottozona a *Protopeneroplis ultragranulata*. BERRIASIANO

– The microfacies of fig. 1 and the specimen of fig. 2 from Piecipopoli stratigraphic section; the specimens of figs. 3-6 from Cima d'Anzano stratigraphic section, Gran Sasso d'Italia (Abruzzi).

*Lithocodium aggregatum* biozone - *Protopeneroplis ultragranulata* subzone. BERRIASIAN

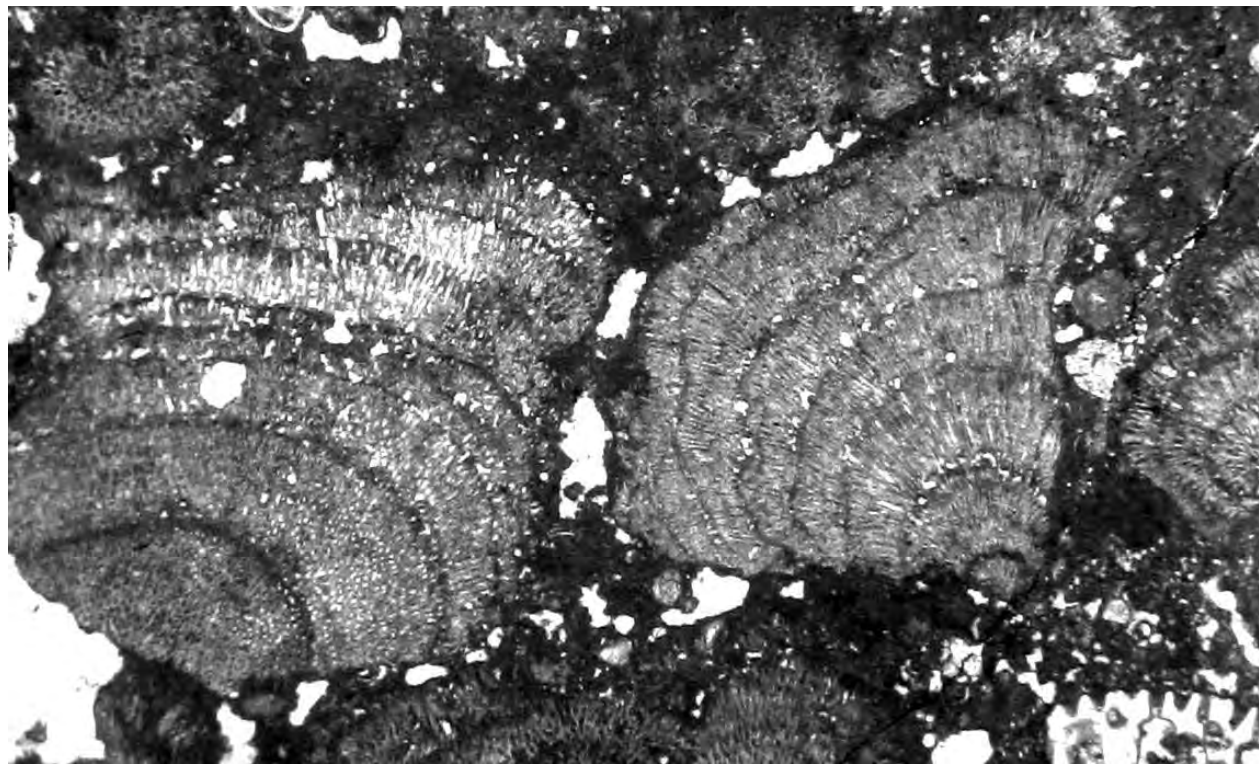


Fig. 1 – Floatstone con “*Rivularia*” *carpathica* e altre “*Porostromata*”. x 18  
 – *Floatstone with “Rivularia” carpathica and other “Porostromata”.* x 18

Sezione stratigrafica di Coste di Vallefunga, Gran Sasso d’Italia (Abruzzo).  
 Biozona a *Lithocodium aggregatum* – sottozona a *Protopeneroplis ultragranulata*.  
 – *Coste di Vallefunga stratigraphic section, Gran Sasso d’Italia (Abruzzi).*  
*Lithocodium aggregatum biozone – Protopeneroplis ultragranulata subzone.*

BERRIASIANO  
 BERRIASIAN

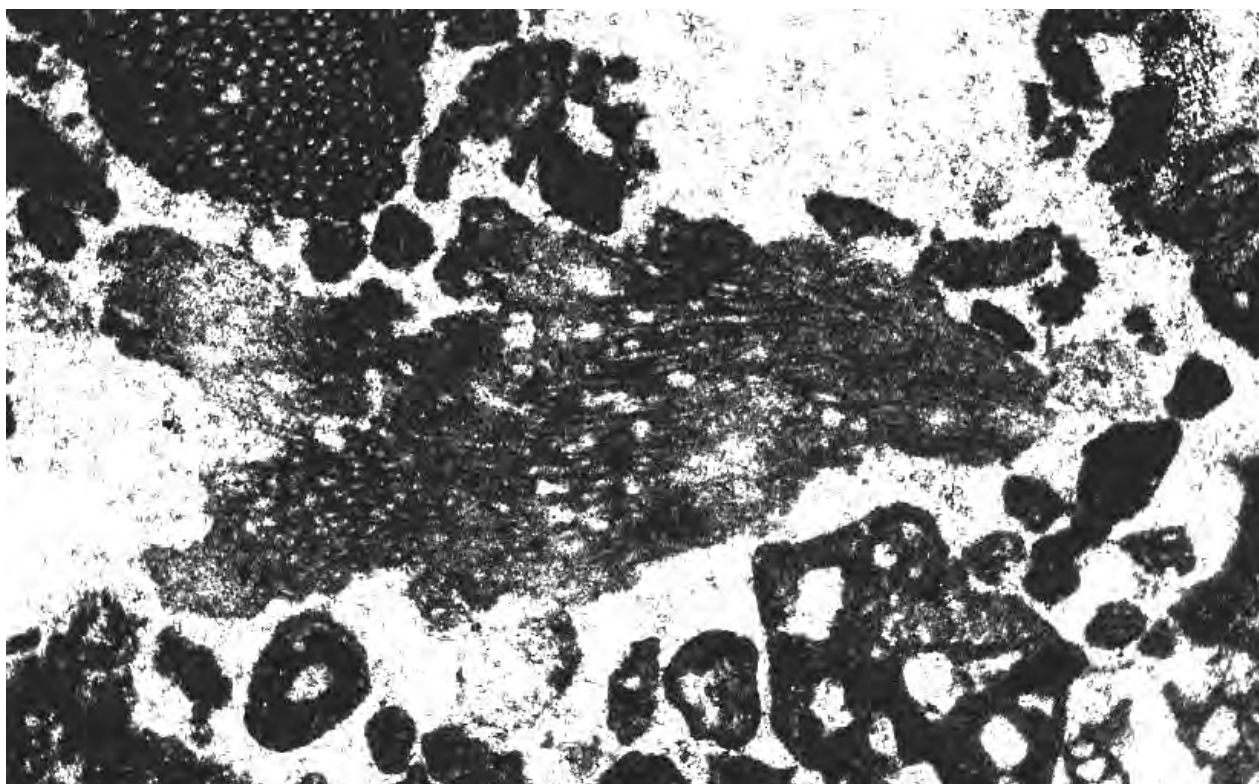


Fig. 2 – Rudstone con *Hedstroemia villosa* e altre “*Porostromata*”. x 45  
 – *Rudstone with Hedstroemia villosa and other “Porostromata”.* x 45

Sezione stratigrafica di Coste di Vallefunga, Gran Sasso d’Italia (Abruzzo).  
 Biozona a *Lithocodium aggregatum* – sottozona a *Protopeneroplis ultragranulata*.  
 – *Coste di Vallefunga stratigraphic section, Gran Sasso d’Italia (Abruzzi).*  
*Lithocodium aggregatum biozone – Protopeneroplis ultragranulata subzone.*

BERRIASIANO  
 BERRIASIAN

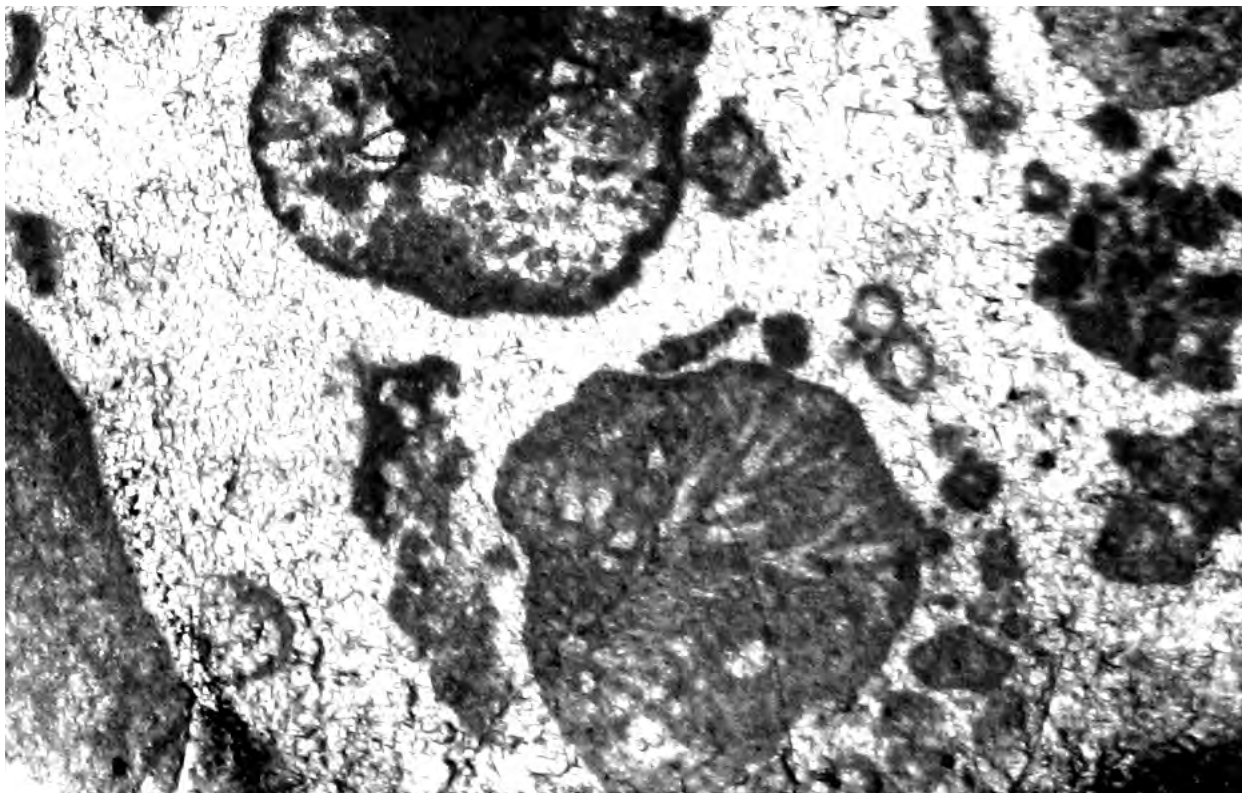


Fig. 1 – Rudstone con *Ortonella perconigi* e resti di Echinodermata. x 72  
– Rudstone with *Ortonella perconigi* and Echinodermata remains. x 72

Sezione stratigrafica di Coste di Vallefunga, Gran Sasso d'Italia (Abruzzo).  
Biozona a *Lithocodium aggregatum* – sottozona a *Protopeneroplis ultragranulata*.  
*Coste di Vallefunga stratigraphic section, Gran Sasso d'Italia (Abruzzi).*  
*Lithocodium aggregatum biozone – Protopeneroplis ultragranulata subzone.*

BERRIASIANO

BERRIASIAN

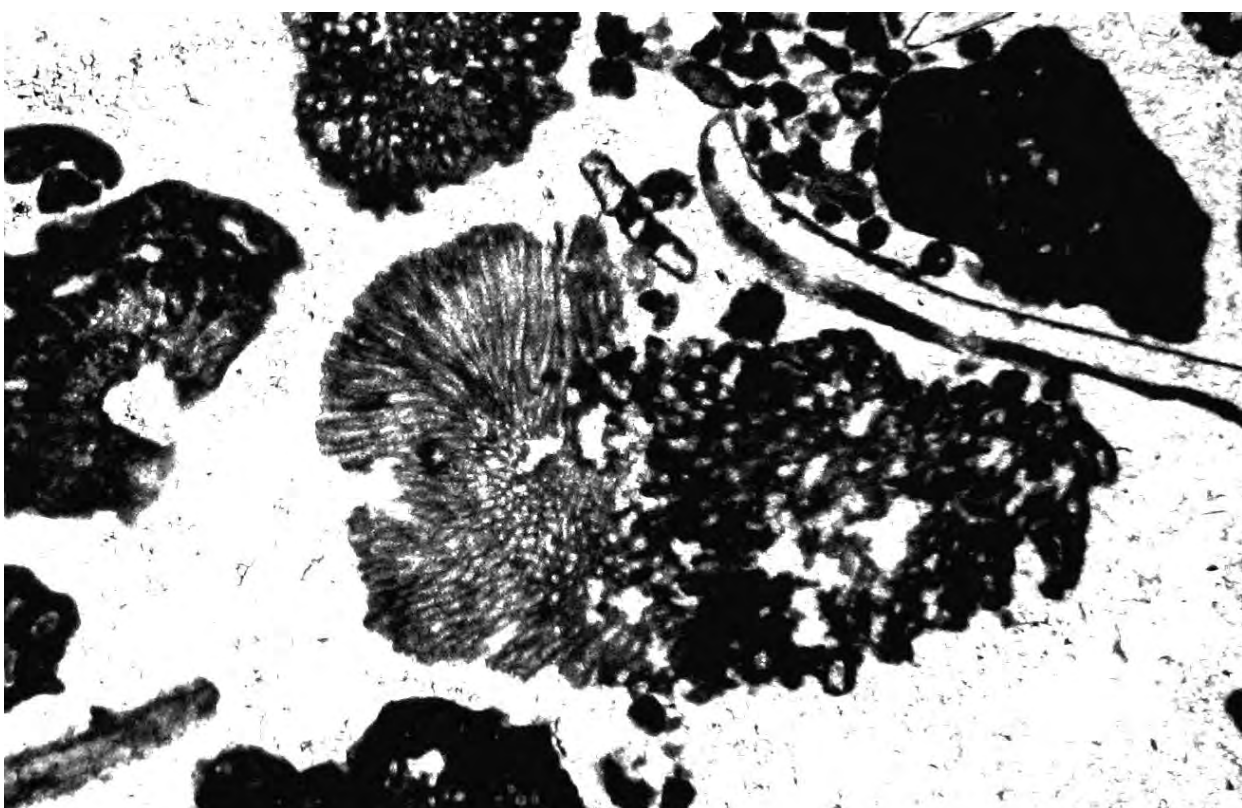


Fig. 2 – Rudstone con “*Rivularia*” *dianae* e resti di Mollusca. x 20  
– Rudstone with “*Rivularia*” *dianae* and Mollusca remains. x 20

Sezione stratigrafica Coste di Vallefunga, Gran Sasso d'Italia (Abruzzo).  
Biozona a *Lithocodium aggregatum* – sottozona a *Protopeneroplis ultragranulata*.  
*Coste di Vallefunga stratigraphic section, Gran Sasso d'Italia (Abruzzi).*  
*Lithocodium aggregatum biozone – Protopeneroplis ultragranulata subzone.*

BERRIASIANO

BERRIASIAN

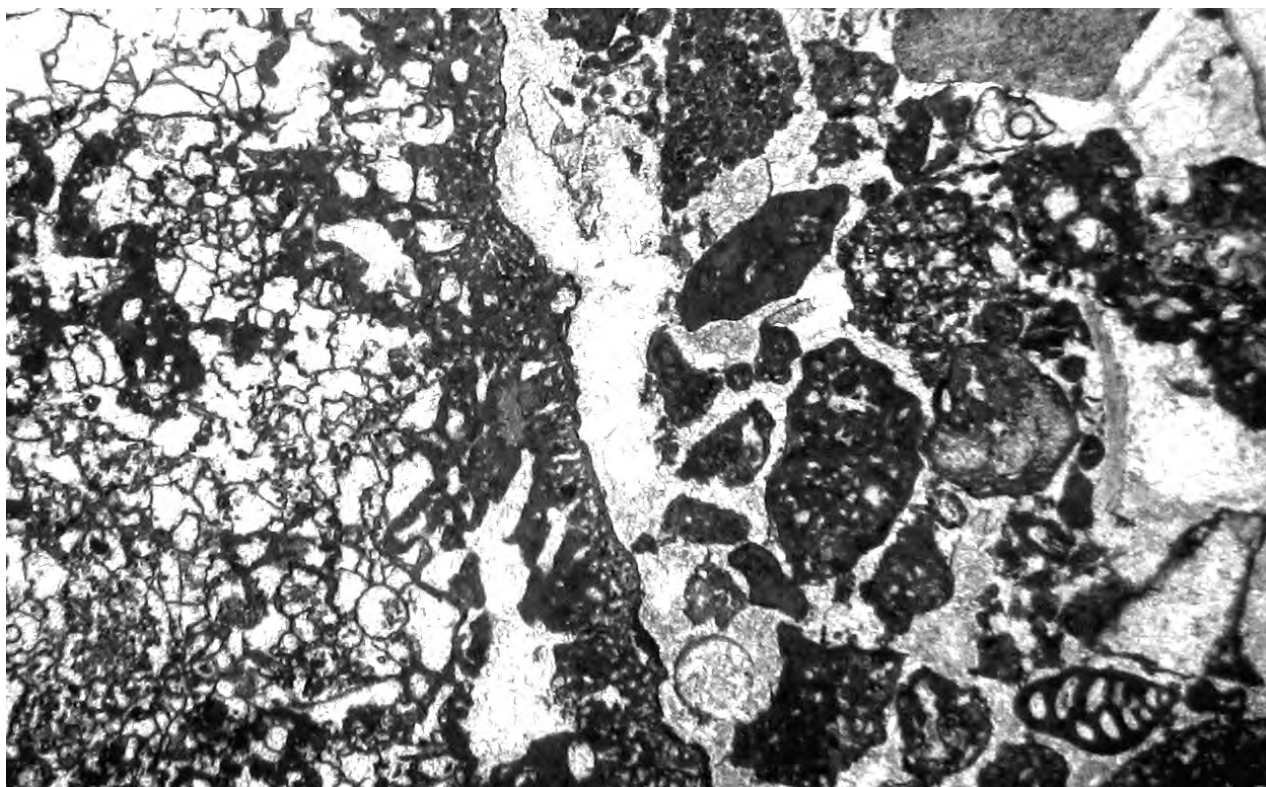
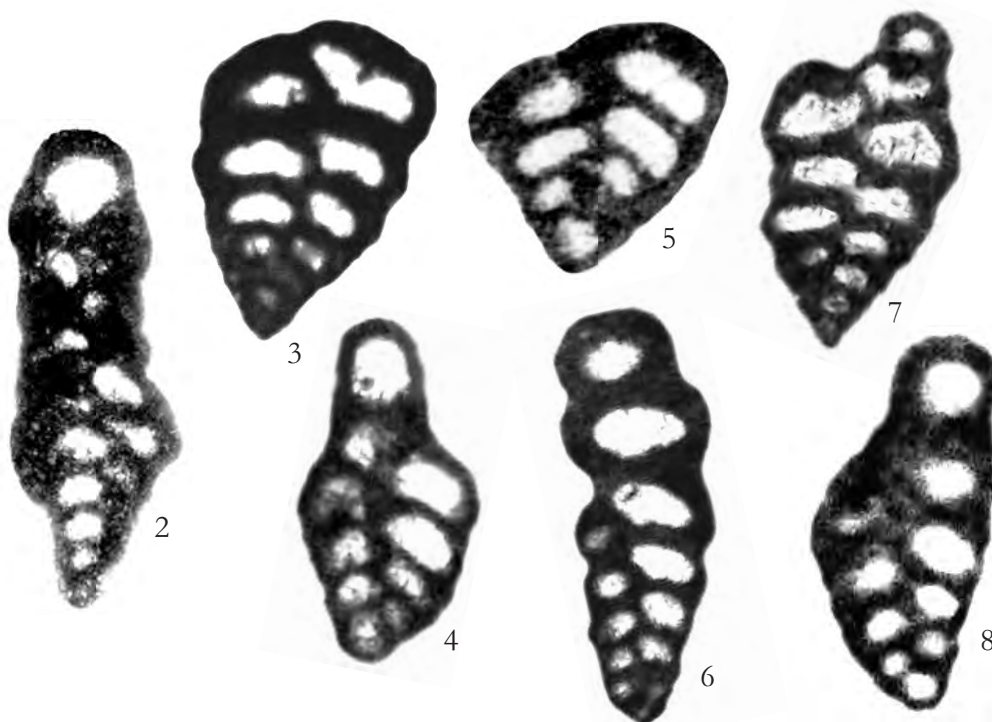


Fig. 1 – Bindstone con *Valvulina alpina*, *Lithocodium aggregatum*, resti di Echinodermata e Mollusca. x 35  
 – Bindstone with *Valvulina alpina*, *Lithocodium aggregatum*, *Echinodermata* and *Mollusca* remains. x 35



Figg. 2-8 – Sezioni variamente orientate di individui riferibili a *Valvulina alpina*. x 75  
 – Variously oriented sections of specimens referred to *Valvulina alpina*. x 75

La microfacies di fig. 1 e gli individui delle figg. 3, 6, 7 provengono dalla sezione stratigrafica di Costa dell'Orsa, Gran Sasso d'Italia (Abruzzo); gli individui delle figg. 2, 4, 5, 8 provengono dalla località Vallemare-Pian Mattano presso Antrodoco (Lazio).

Biozona a *Lithocodium aggregatum* - sottozona a *Protopeneroplis ultragranulata* BERRIASIANO  
 – The microfacies of fig. 1 and the specimens of figs. 3, 6, 7 from Costa dell'Orsa stratigraphic section, Gran Sasso d'Italia (Abruzzi); the specimens of figs. 2, 4, 5, 8 from Vallemare-Pian Mattano locality near Antrodoco (Latium).  
*Lithocodium aggregatum* biozone - *Protopeneroplis ultragranulata* subzone. BERRIASIAN

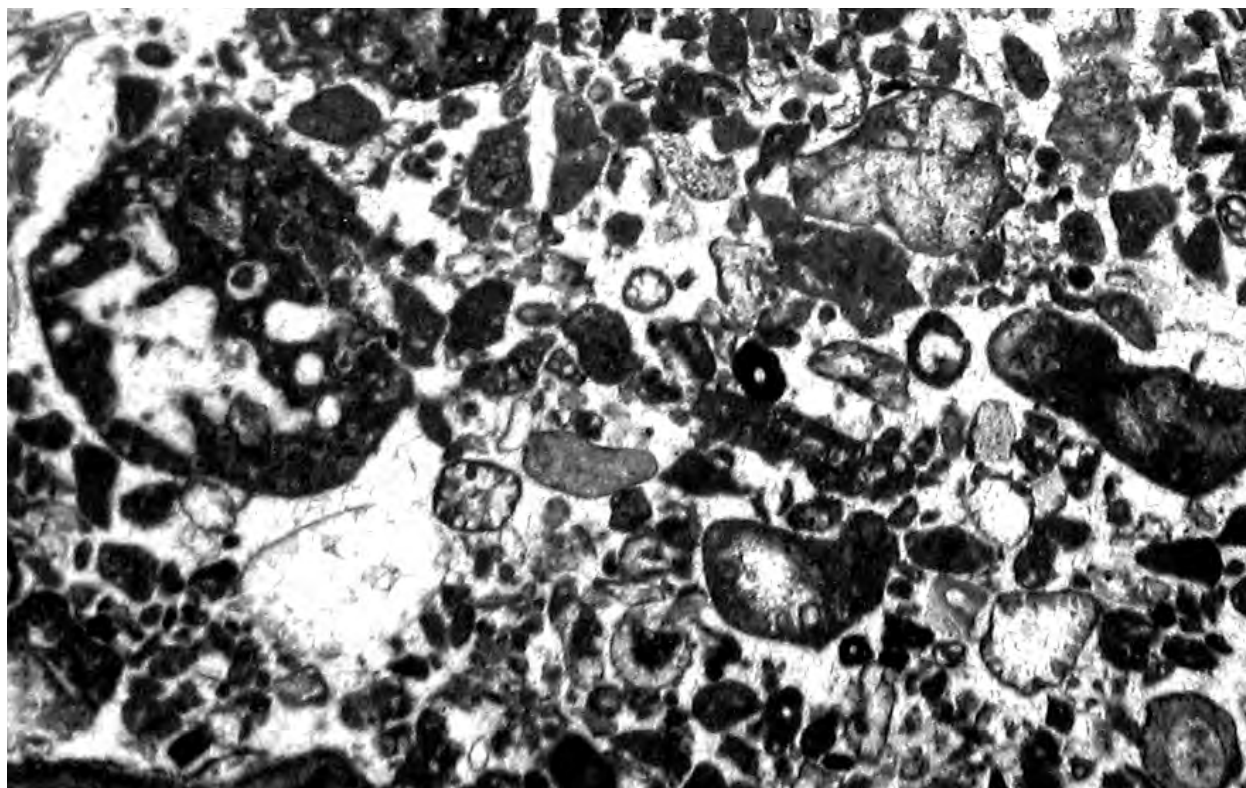


Fig. 1 – Grainstone con *Trocholina delphinensis*, altri Foraminiferi bentonici, Dasycladaceae, resti di Mollusca e Echinodermata.  $\times 25$

– *Grainstone with Trocholina delphinensis, other benthic Foraminifera, Dasycladaceae, Mollusca and Echinodermata remains.*  $\times 25$



Figg. 2-4 – Sezioni variamente orientate di individui riferibili a *Trocholina delphinensis*.  $\times 90$   
– *Variously oriented sections of specimens referred to Trocholina delphinensis.*  $\times 90$

La microfacies di fig. 1 e gli individui delle figg. 2-4 provengono dalla sezione stratigrafica di Cima d'Anzano, Gran Sasso d'Italia (Abruzzo).

Biozona a *Lithocodium aggregatum* - sottozona a *Protopeneroplis ultragranulata*. BERRIASIANO

– *The microfacies of fig. 1 and the specimens of figs. 2-4 from Cima d'Anzano stratigraphic section, Gran Sasso d'Italia (Abruzzo).*

*Lithocodium aggregatum* biozone - *Protopeneroplis ultragranulata* subzone. BERRIASIAN

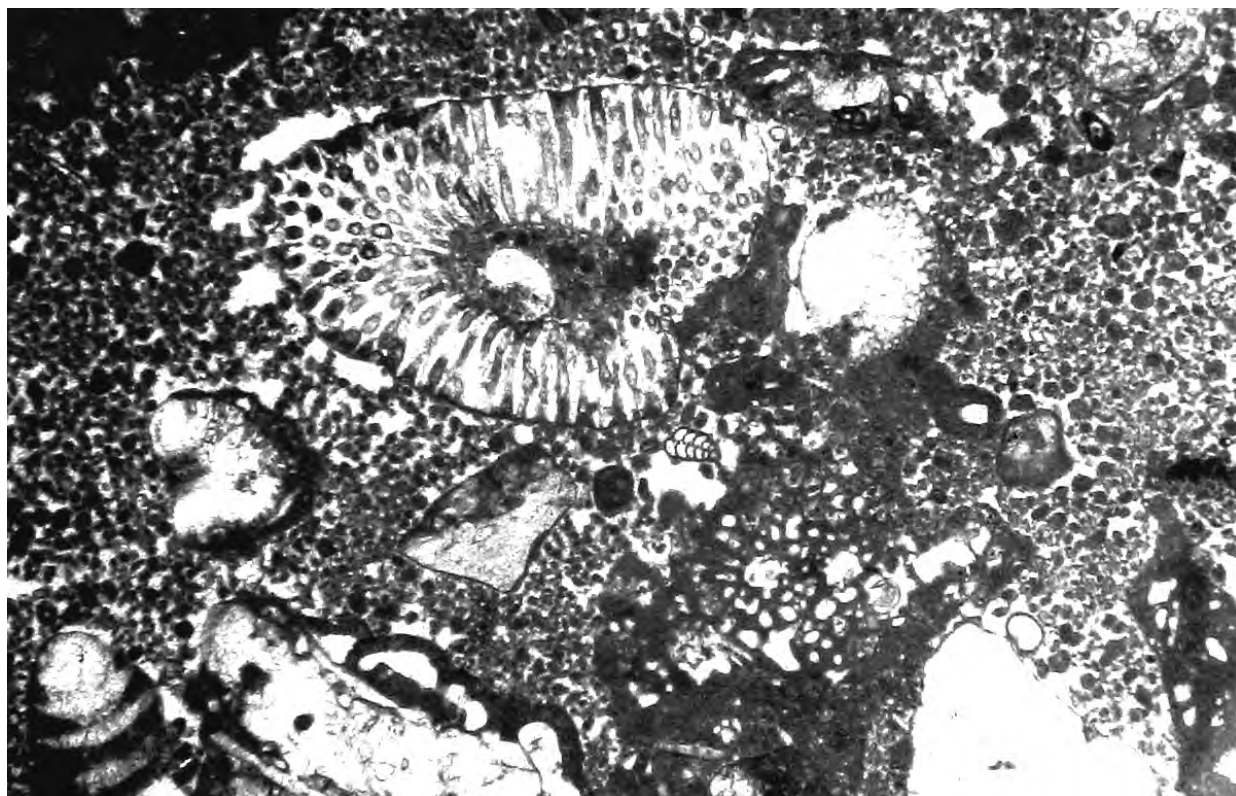
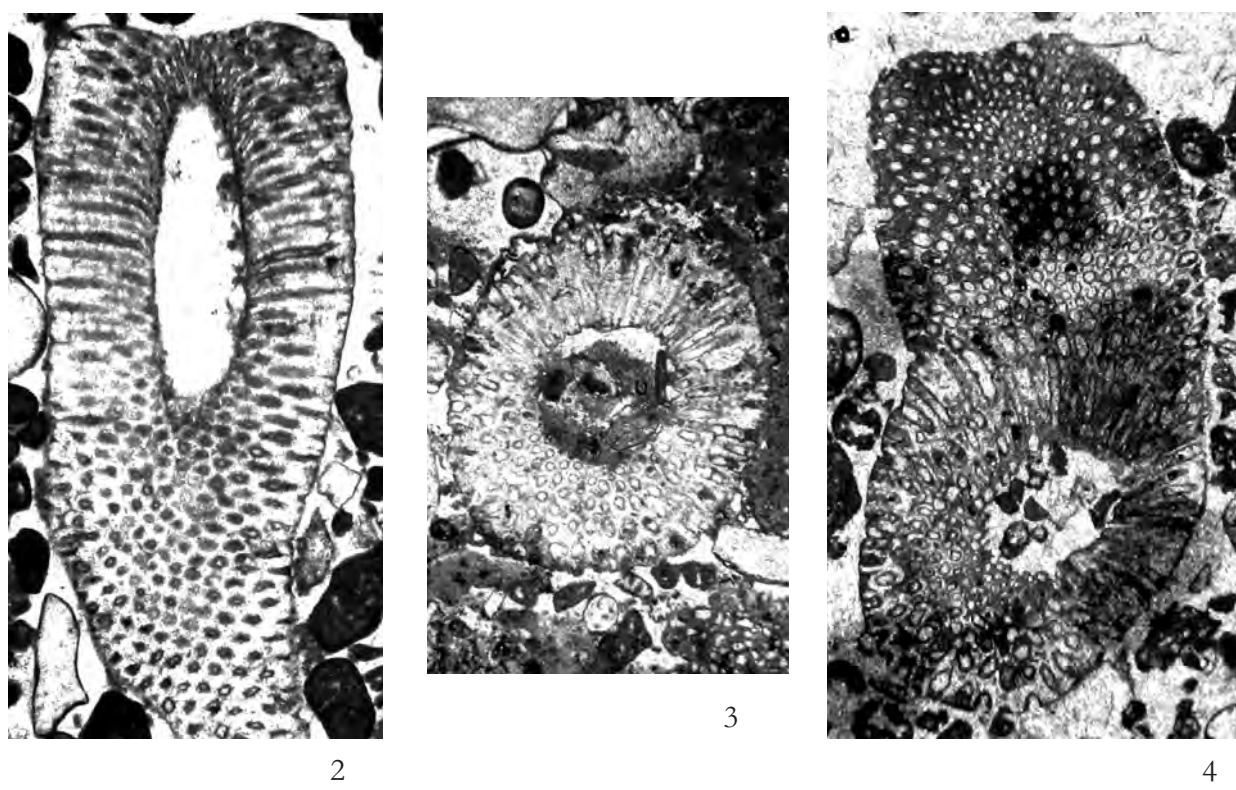


Fig. 1 – Rudstone mal classato con *Macroporella praturloni*, *Trocholina* sp., *Acruliammina longa*, altri Foraminiferi bentonici, resti di Mollusca e Echinodermata.  $\times 12$   
 – Poorly sorted rudstone with *Macroporella praturloni*, *Trocholina* sp., *Acruliammina longa*, other benthic Foraminifera, Mollusca and Echinodermata remains.  $\times 12$



Figg. 2-4 – Sezioni variamente orientate di individui riferibili a *Macroporella praturloni*.  $\times 12$   
 – Variously oriented sections of specimens referred to *Macroporella praturloni*.  $\times 12$

La microfacies di fig. 1 e gli individui delle figg. 2, 3 provengono dalla sezione stratigrafica Costa di Piecipopoli mentre la fig. 4 dalla sezione stratigrafica di Monte Camarda, Gran Sasso d'Italia (Abruzzo). Biozona a *Lithocodium aggregatum* - sottozona a *Protopeneroplis ultragranulata*. BERRIASIANO SUPERIORE – The microfacies of fig. 1 and the specimens of figs. 2, 3 from Costa di Piecipopoli stratigraphic section, the fig. 4 instead from Monte Camarda stratigraphic section, Gran Sasso d'Italia (Abruzzi). *Lithocodium aggregatum* biozone – *Protopeneroplis ultragranulata* subzone.

UPPER BERRIASIAN

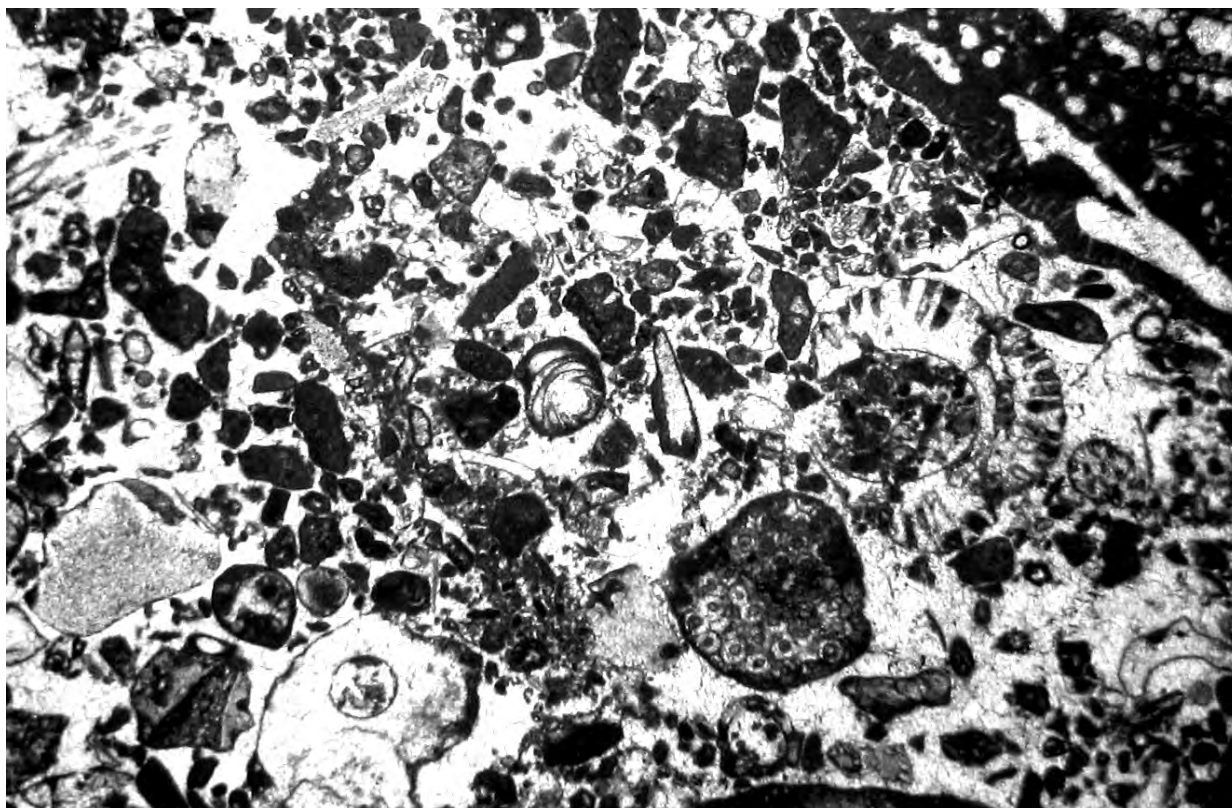
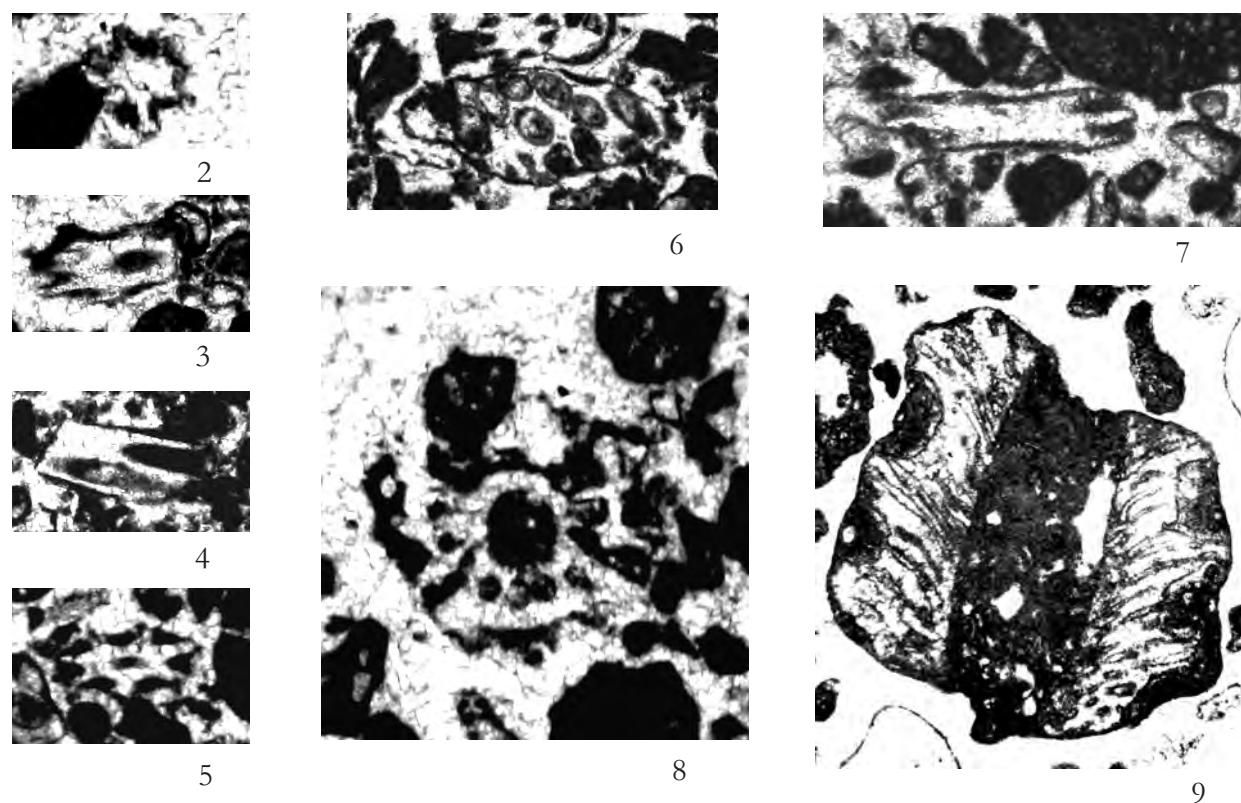


Fig. 1 – Rudstone mal classato con *Triploporella neocomiensis* e altre Dasycladaceae, *Neotrocholina infragranulata*, *Trocholina* sp., *Lithocodium aggregatum*, resti di Mollusca e Echinodermata. x 25  
 – Poorly sorted rudstone with *Triploporella neocomiensis* and other Dasycladaceae, *Neotrocholina infragranulata*, *Trocholina* sp., *Lithocodium aggregatum*, Mollusca and Echinodermata remains. x 25



Figg. 2-9 – Sezioni variamente orientate di individui riferibili a *Triploporella neocomiensis*. x 28  
 – Variously oriented sections of specimens referred to *Triploporella neocomiensis*. x 28

La microfacies di fig. 1 e gli individui delle figg. 2-9 provengono dalla sezione stratigrafica di Costa dell'Orsa, Gran Sasso d'Italia (Abruzzo).

Biozona a *Lithocodium aggregatum*-sottozona a *Protopeneroplis ultragranulata*. BERRIASIANO SUPERIORE  
 – The microfacies of fig. 1 and the specimens of figs. 2-9 from Costa dell'Orsa stratigraphic section, Gran Sasso d'Italia (Abruzzo).  
*Lithocodium aggregatum* biozone – *Protopeneroplis ultragranulata* subzone. UPPER BERRIASIAN

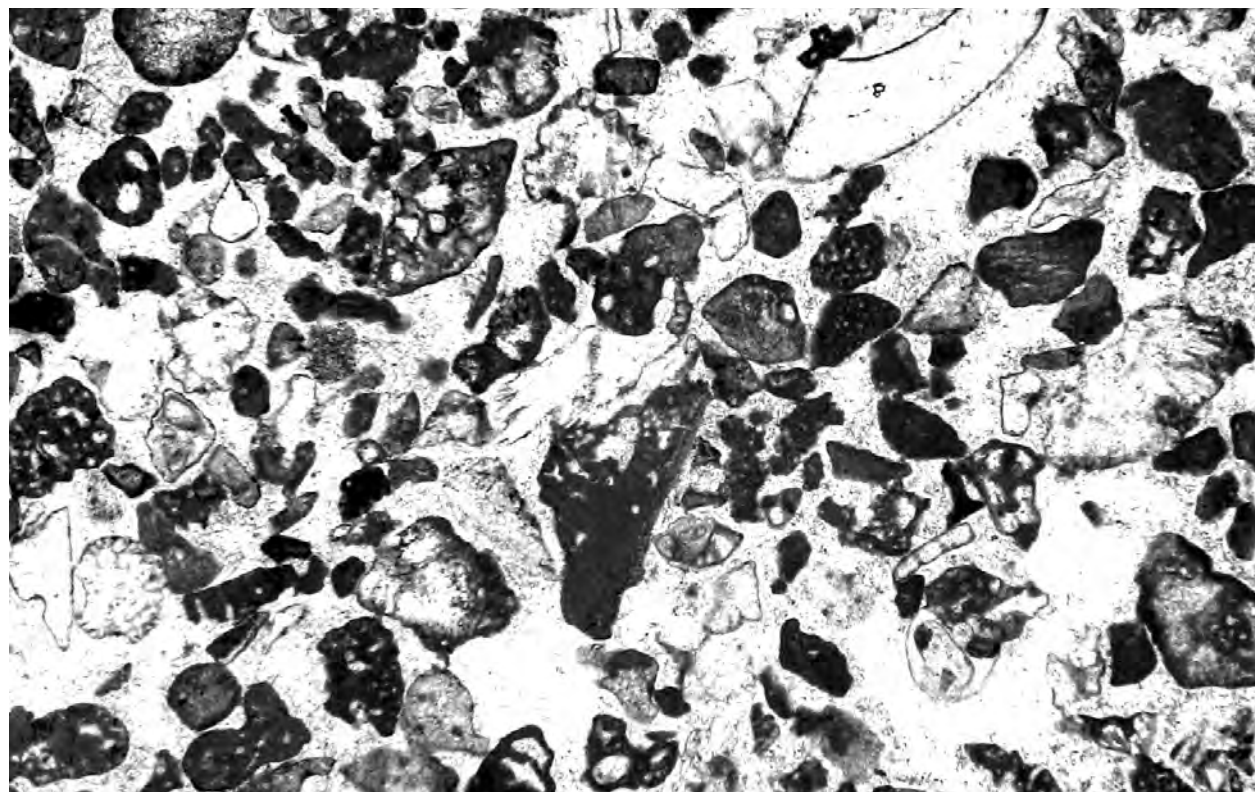
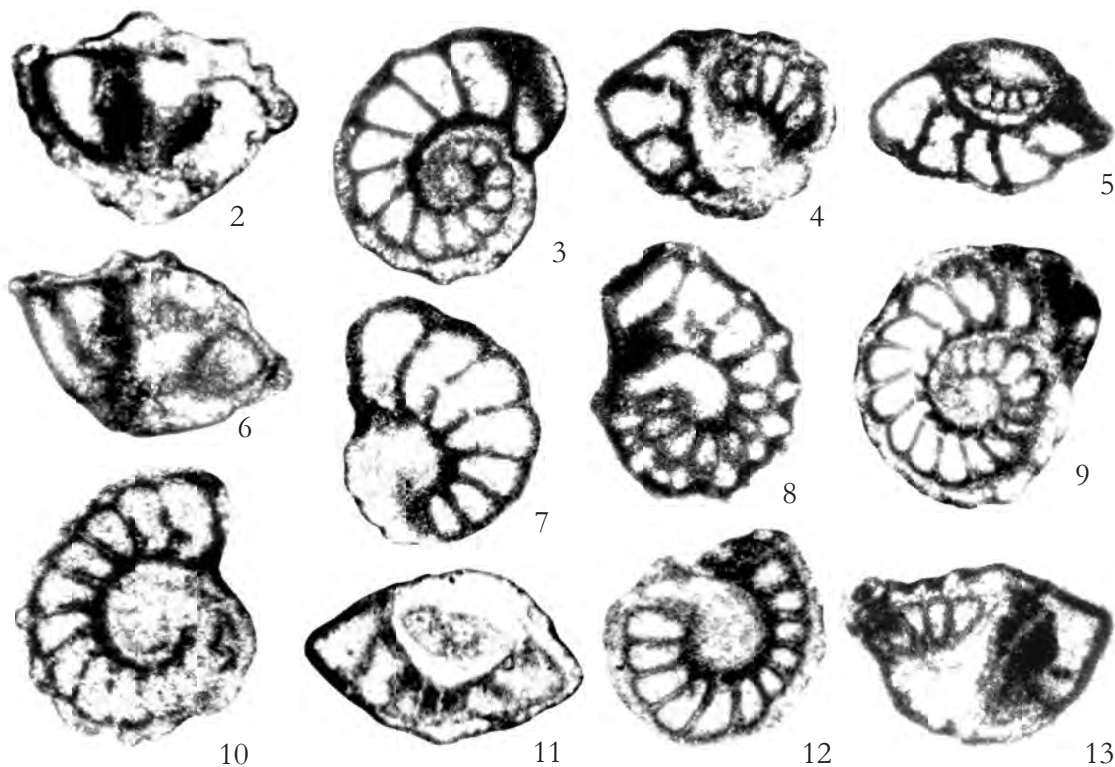


Fig. 1 – Rudstone mal classato con *Protopeneroplis ultragranulata*, altri Foraminiferi bentonici, resti di Echinodermata e Mollusca ed Alghe calcaree.  $\times 20$   
 – Poorly sorted rudstone with *Protopeneroplis ultragranulata*, other benthic Foraminifera, Echinodermata and Mollusca remains and calcareous Algae.  $\times 20$



Figg. 2-13 – Sezioni variamente orientate di individui riferibili a *Protopeneroplis ultragranulata*.  $\times 55$   
 – Variously oriented sections of specimens referred to *Protopeneroplis ultragranulata*.  $\times 55$

La microfacies di fig. 1 proviene dalla sezione stratigrafica di Costa di Piecipopoli mentre gli individui delle figg. 2-13 provengono dalla sezione stratigrafica di Costa dell'Orsa, Gran Sasso d'Italia (Abruzzo).  
 Biozona a *Lithocodium aggregatum* - sottozona a *Protopeneroplis ultragranulata*.

BERRIASIANO - VALANGINIANO INFERIORE

– The microfacies of fig. 1 from Costa di Piecipopoli stratigraphic section, the specimens of figs. 2-13 instead from Costa dell'Orsa stratigraphic section, Gran Sasso d'Italia (Abruzzi).  
*Lithocodium aggregatum* biozone - *Protopeneroplis ultragranulata* subzone. BERRIASIAN - LOWER VALANGINIAN

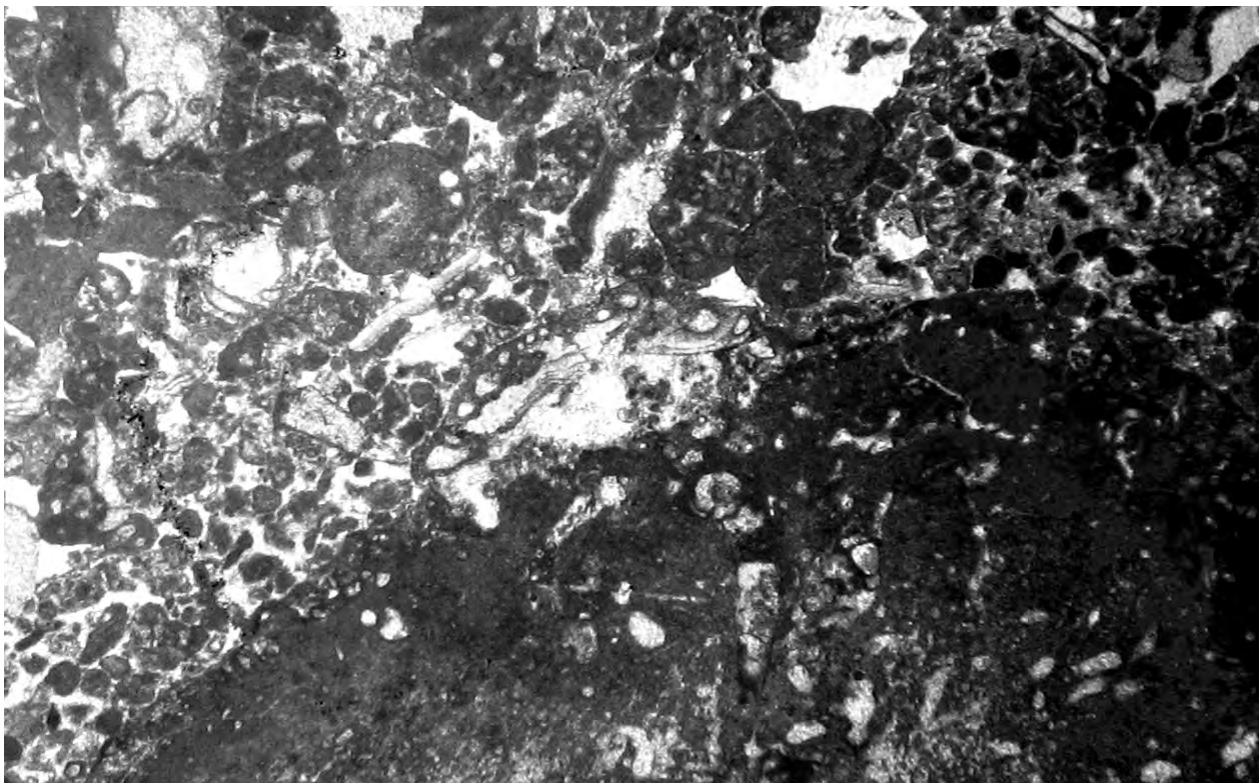


Fig. 1 – Rudstone mal classato con *Mohlerina basiliensis*, altri Foraminiferi bentonici e *Lithocodium aggregatum*. x 22  
 – Poorly sorted rudstone with *Mohlerina basiliensis*, other benthic Foraminifera and *Lithocodium aggregatum*. x 22



Figg. 2-7 – Sezioni variamente orientate di individui riferibili a *Mohlerina basiliensis*. x 45  
 – Varily oriented sections of specimens referred to *Mohlerina basiliensis*. x 45

La microfacies di fig. 1 e gli individui delle figg. 6, 7 provengono dalla località Colle Frontino presso Antrodoco (Lazio); gli individui delle figg. 2-5 provengono dalla sezione stratigrafica di Costa di Piccipoli, Gran Sasso d'Italia (Abruzzo).

Biozona a *Lithocodium aggregatum* - sottozona a *Protopeneroplis ultragranulata*.

BERRIASIANO - VALANGINIANO INFERIORE

– The microfacies of fig. 1 and the specimens of figs. 6, 7 from Colle Frontino locality near Antrodoco (Latium); the specimens of figs. 2-5 from Costa di Piccipoli stratigraphic section, Gran Sasso d'Italia (Abruzzi);

*Lithocodium aggregatum* biozone - *Protopeneroplis ultragranulata* subzone. BERRIASIAN - LOWER VALANGINIAN

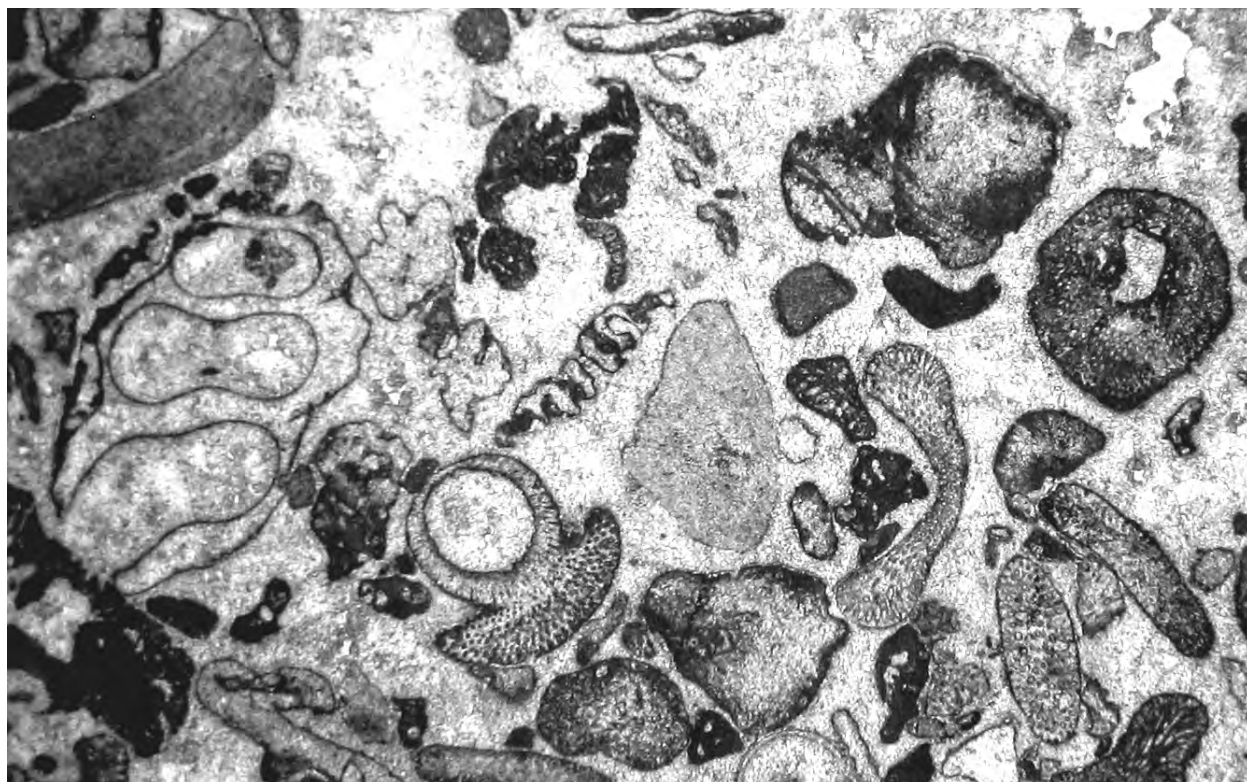
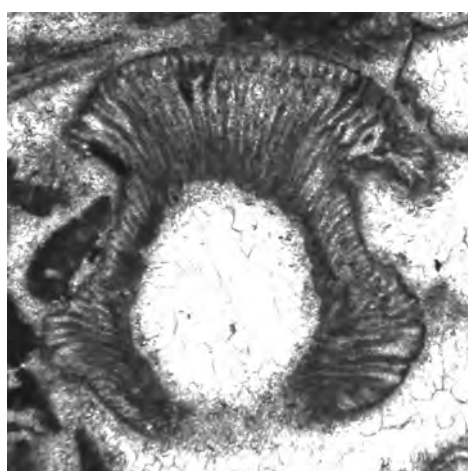


Fig. 1 – Rudstone con *Pseudocymopolia praturloni*, *Verneuilina* sp., resti di Gastropoda e Echinodermata.  $\times 10$   
– Rudstone with *Pseudocymopolia praturloni*, *Verneuilina* sp., *Gastropoda* and *Echinodermata* remains.  $\times 10$



2



3



4

Figg. 2-4 – Sezioni variamente orientate di individui riferibili a *Pseudocymopolia praturloni*.  $\times 20$   
– Variously oriented sections of specimens referred to *Pseudocymopolia praturloni*.  $\times 20$

La microfacies di fig. 1 e gli individui delle figg. 2-4 provengono dalla sezione stratigrafica di Costa dell'Orsa, Gran Sasso d'Italia (Abruzzo).

Biozona a *Lithocodium aggregatum* - sottozona a *Protopeneroplis ultragranulata*.

BERRASIANO SUPERIORE - VALANGINIANO INFERIORE

– The microfacies of fig. 1 and the specimens of figs. 2-4 from Costa dell'Orsa stratigraphic section, Gran Sasso d'Italia (Abruzzo).  
*Lithocodium aggregatum* biozone – *Protopeneroplis ultragranulata* subzone.

UPPER BERRIASIAN - LOWER VALANGINIAN

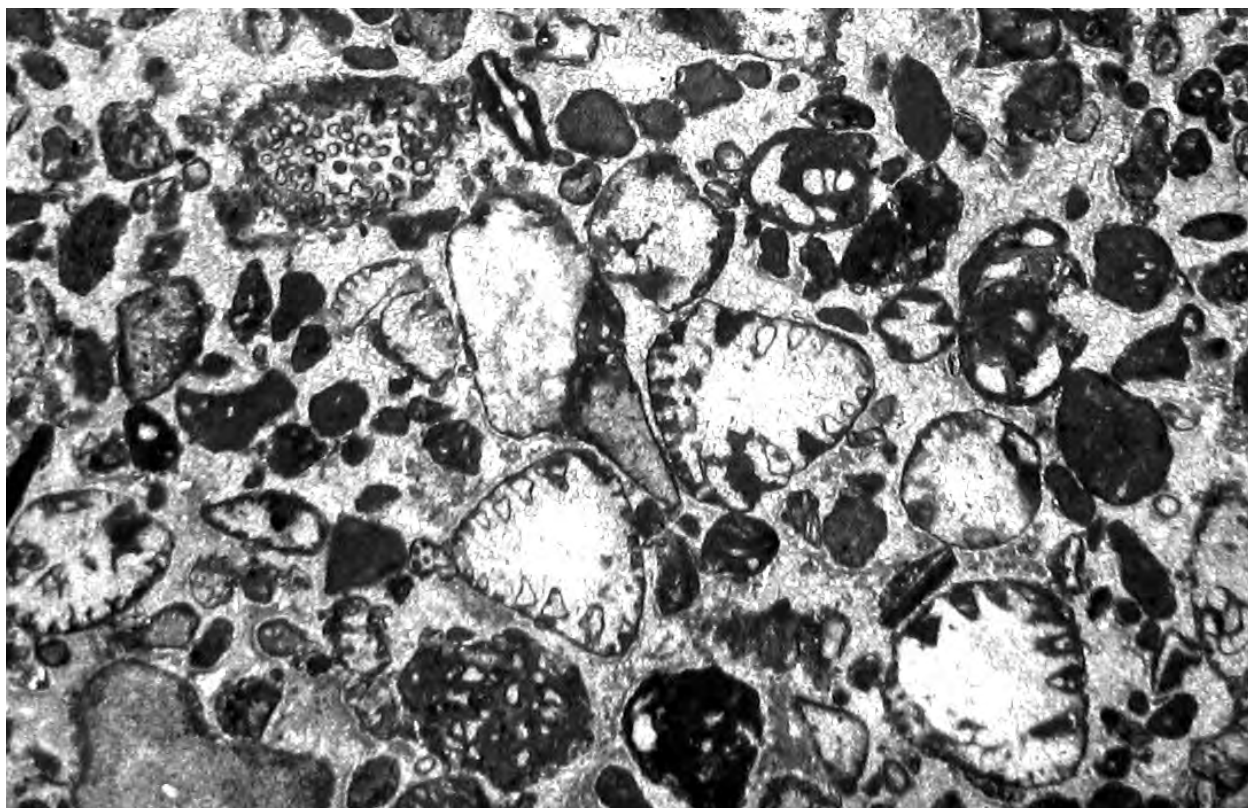
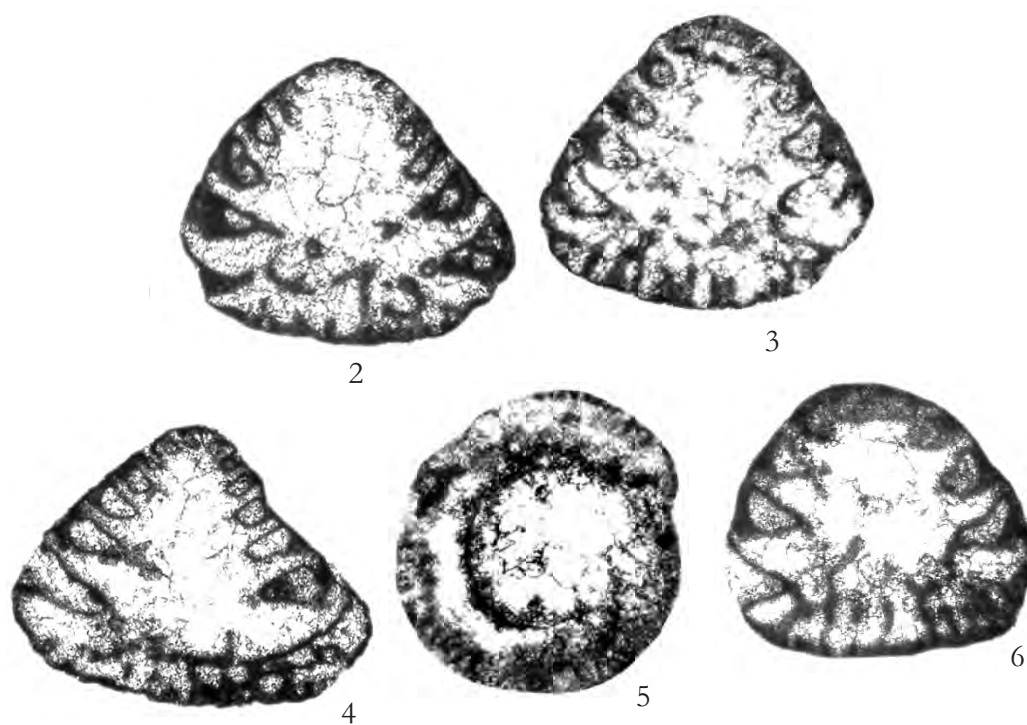


Fig. 1 – Rudstone con *Trocholina alpina*, *Trocholina campanella*, *Charentia cuvillieri*, altri Foraminiferi bentonici e resti di Mollusca e Echinodermata.  $\times 20$   
 – Rudstone with *Trocholina alpina*, *Trocholina campanella*, *Charentia cuvillieri*, other benthic Foraminifera and Mollusca and Echinodermata remains.  $\times 20$



Figg. 2-6 – Sezioni variamente orientate di individui riferibili a *Trocholina alpina*.  $\times 30$   
 – Variously oriented sections of specimens referred to *Trocholina alpina*.  $\times 30$

La microfacies di fig. 1 e gli individui delle figg. 2-6 provengono dalle sezioni stratigrafiche di Costa di Piecipopoli - Colle Paradiso e Costa dell'Orsa, Gran Sasso d'Italia (Abruzzo).

Biozona a *Lithocodium aggregatum* - sottozona a *Protopeneroplis ultragranulata*.

BERRIASIANO SUPERIORE-VALANGINIANO INFERIORE

– The microfacies of fig. 1 and the specimens of figs. 2-6 from Costa di Piecipopoli - Colle Paradiso and Costa dell'Orsa stratigraphic sections, Gran Sasso d'Italia (Abruzzi).

*Lithocodium aggregatum* biozone - *Protopeneroplis ultragranulata* subzone.

UPPER BERRIASIAN-LOWER VALANGINIAN

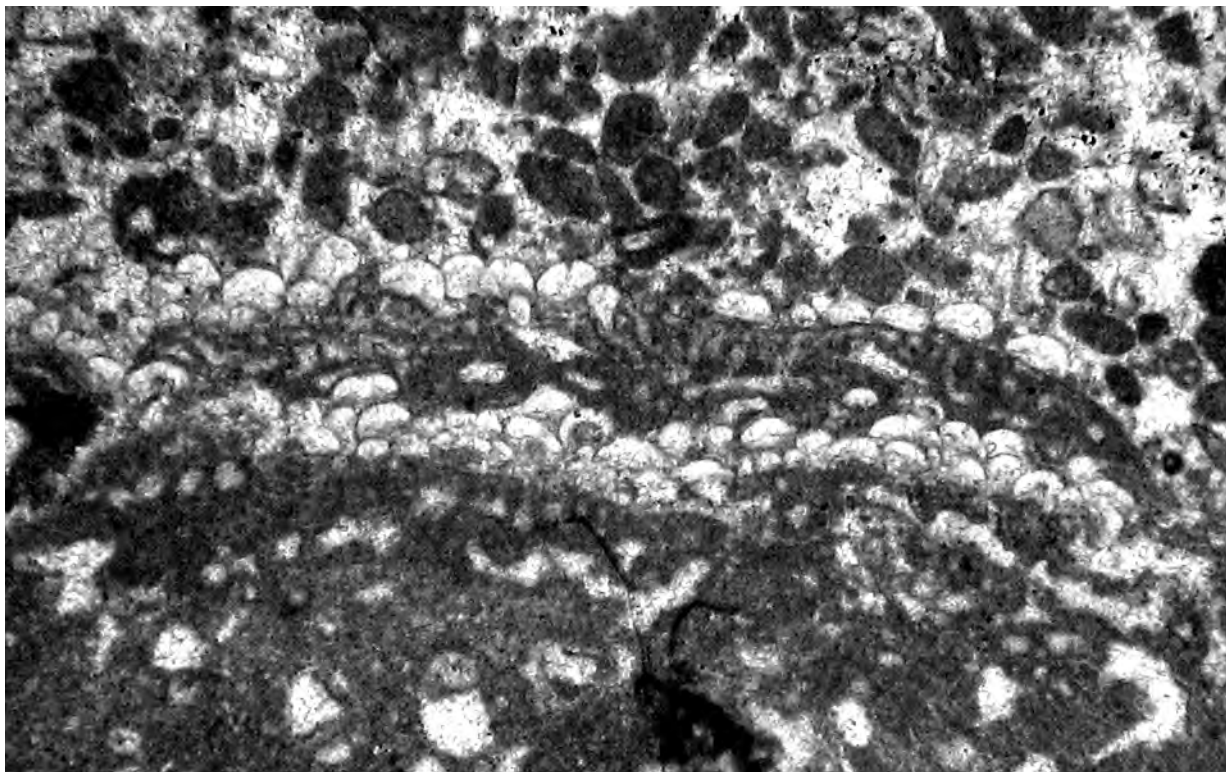


Fig. 1 – Bindstone con *Koskinobullina socialis*.  $\times 60$   
– Bindstone with *Koskinobullina socialis*  $\times 60$

Sezione stratigrafica di Costa dell'Orsa, Gran Sasso d'Italia (Abruzzo).  
Biozona a *Lithocodium aggregatum* – sottozona a *Protopeneroplis ultragranulata*.

BERRIASIANO SUPERIORE-VALANGINIANO INFERIORE

– Costa dell'Orsa stratigraphic section, Gran Sasso d'Italia (Abruzzi).

*Lithocodium aggregatum* biozone – *Protopeneroplis ultragranulata* subzone.

UPPER BERRIASIAN-LOWER VALANGINIAN

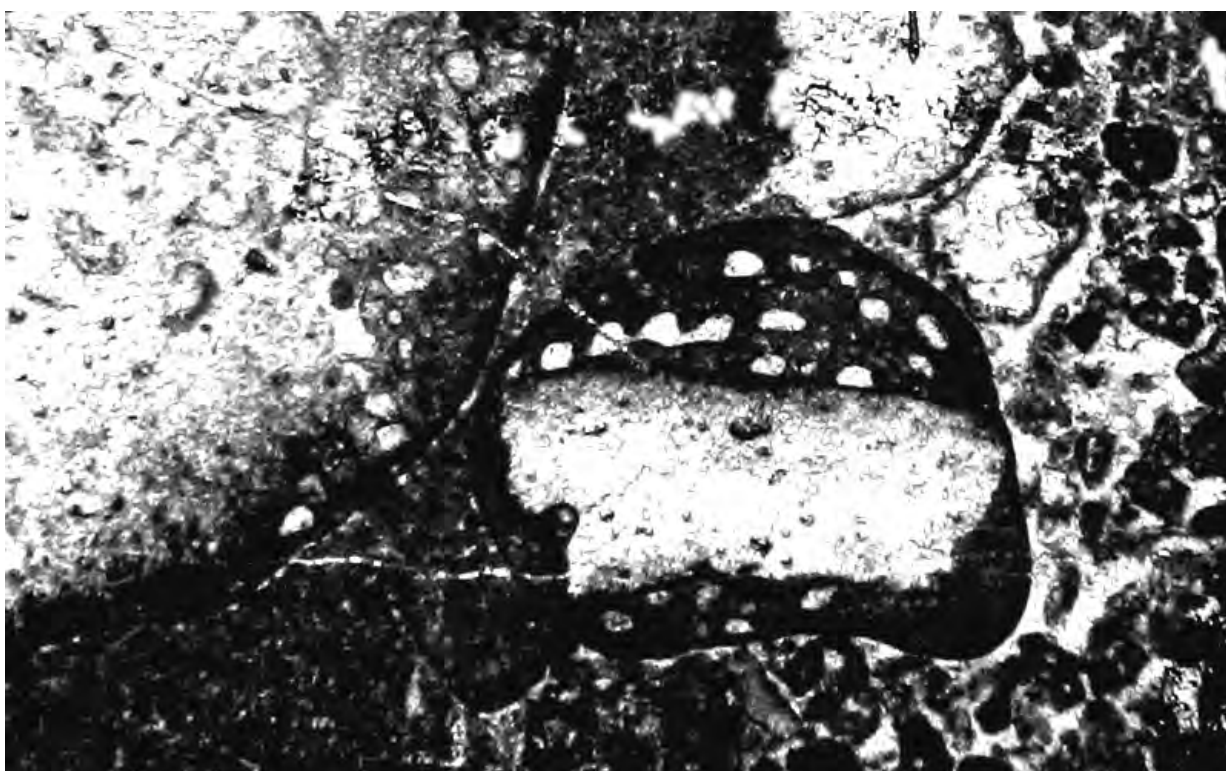


Fig. 2 – Floatstone con *Nubecularia* sp. che incrosta un frammento di Mollusca, *Tubiphytes morronensis* e resti di Echinodermata.  $\times 30$   
– Floatstone with *Nubecularia* sp. encrusting a Mollusca fragment, *Tubiphytes morronensis* and Echinodermata remains.  $\times 30$

Sezione stratigrafica di Costa dell'Orsa, Gran Sasso d'Italia (Abruzzo).  
Biozona a *Lithocodium aggregatum* – sottozona a *Protopeneroplis ultragranulata*.

BERRIASIANO SUPERIORE-VALANGINIANO INFERIORE

– Costa dell'Orsa stratigraphic section, Gran Sasso d'Italia (Abruzzi).

*Lithocodium aggregatum* biozone – *Protopeneroplis ultragranulata* subzone.

UPPER BERRIASIAN-LOWER VALANGINIAN

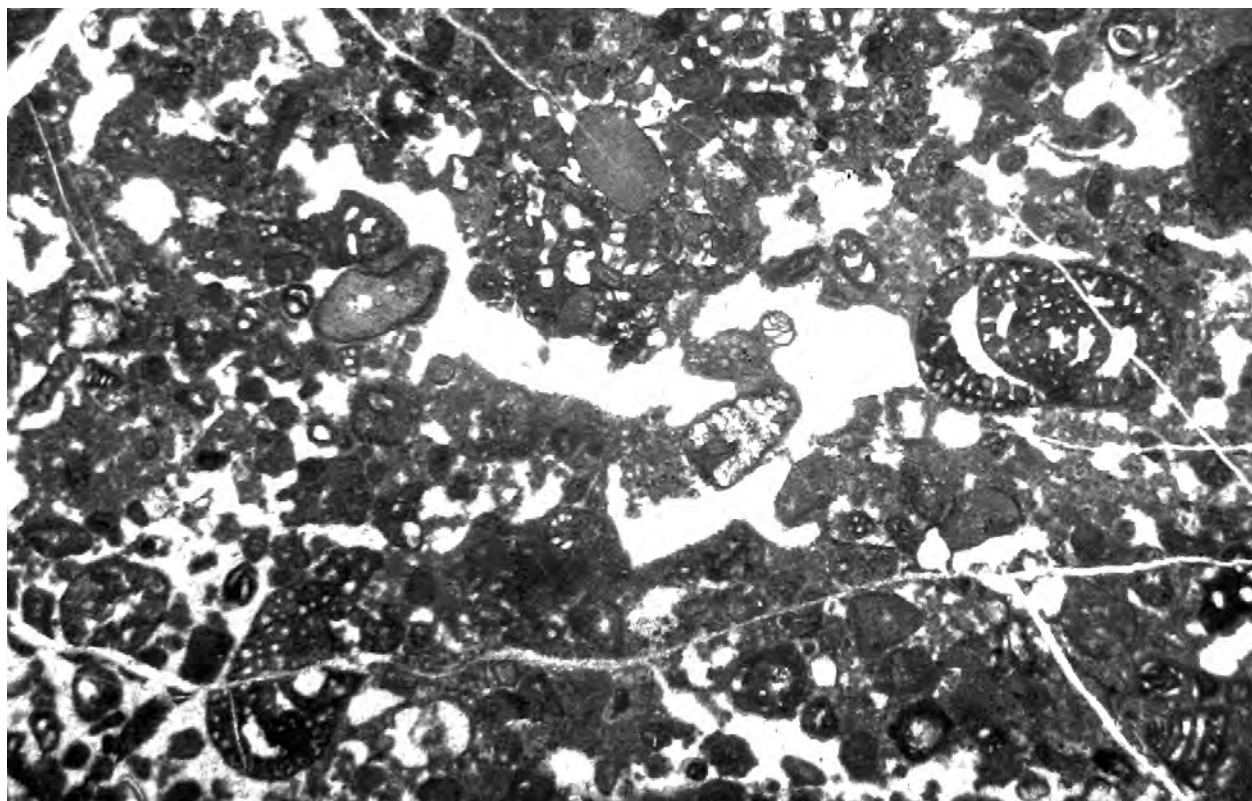
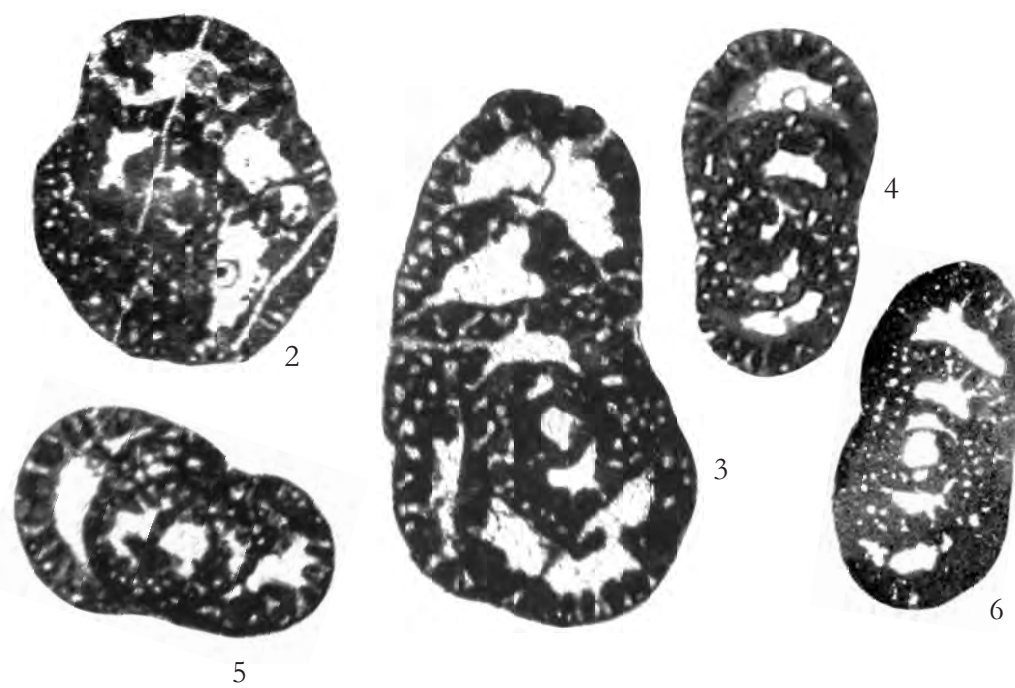


Fig. 1 – Packstone mal classato con *Pseudocyclammina lituus*, Miliolidae, altri Foraminiferi bentonici e Dasycladaceae.  $\times 12$   
 – Poorly sorted packstone with *Pseudocyclammina lituus*, Miliolidae, other benthic Foraminifera and Dasycladaceae.  $\times 12$



Figg. 2-6 – Sezioni variamente orientate di individui riferibili a *Pseudocyclammina lituus*.  $\times 15$   
 – Variously oriented sections of specimens referred to *Pseudocyclammina lituus*.  $\times 15$

La microfacies di fig. 1 e gli individui delle figg. 2-6 provengono dalla sezione stratigrafica di Costa dell'Orsa, Gran Sasso d'Italia (Abruzzo).

Biozona a *Lithocodium aggregatum* – sottozona a *Protopeneroplis ultragranulata*.

BERRIASIANO SUPERIORE - VALANGINIANO INFERIORE

– The microfacies of fig. 1 and the specimens of figs. 2-6 from Costa dell'Orsa stratigraphic section, Gran Sasso d'Italia (Abruzzo).  
*Lithocodium aggregatum* biozone – *Protopeneroplis ultragranulata* subzone.

UPPER BERRIASIAN - LOWER VALANGINIAN

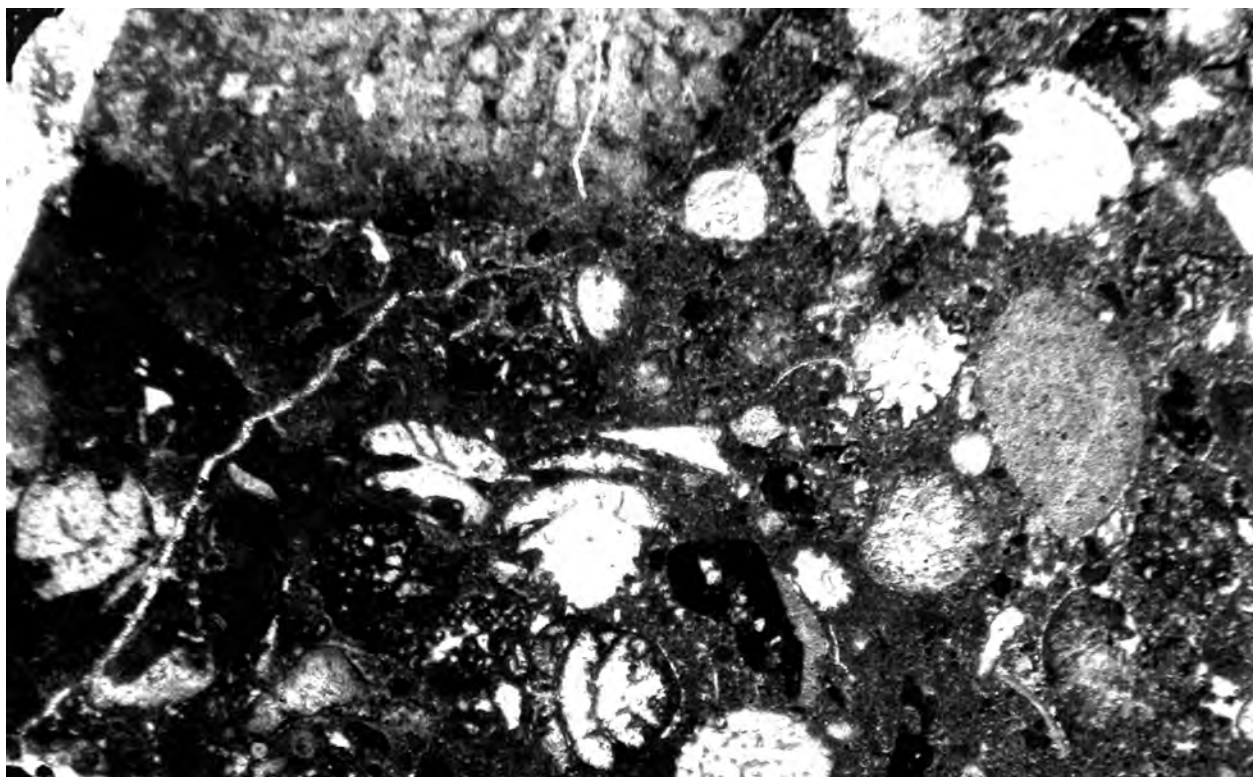
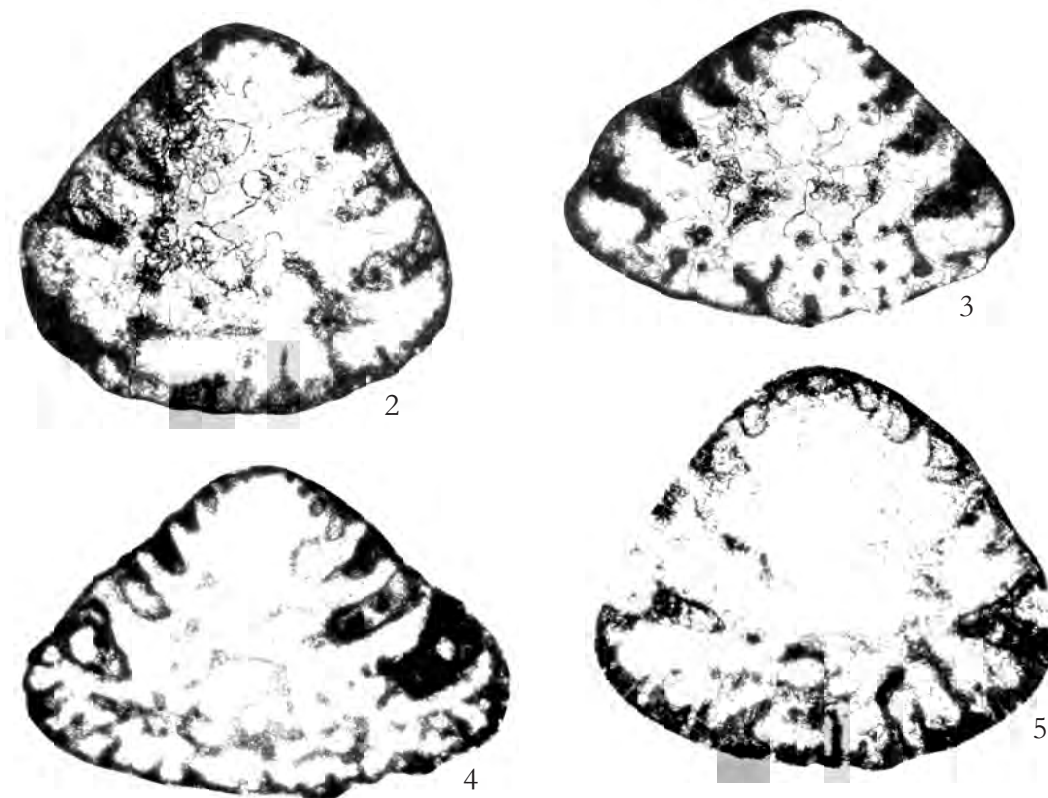


Fig. 1 – Floatstone con *Trocholina chiocchinii*, *Trocholina* sp., resti di Scleractinia, Echinodermata e “Porostromata”.  
 x 15  
 – *Floatstone with Trocholina chiocchinii*, *Trocholina* sp., *Scleractinia*, *Echinodermata* and “*Porostromata*” remains.  
 x 15



Figg. 2-5 – Sezioni variamente orientate di individui riferibili a *Trocholina chiocchinii*. x 30  
 – *Variously oriented sections of specimens referred to *Trocholina chiocchinii**. x 30

La microfacies di fig. 1 e gli individui delle figg. 2-5 provengono dalla località-tipo, sezione stratigrafica di Costa dell’Orsa, Gran Sasso d’Italia (Abruzzo).

Biozona a *Lithocodium aggregatum* - sottozona a *Protopeneroplis ultragranulata*.

BERRIASIANO SUPERIORE - VALANGINIANO INFERIORE

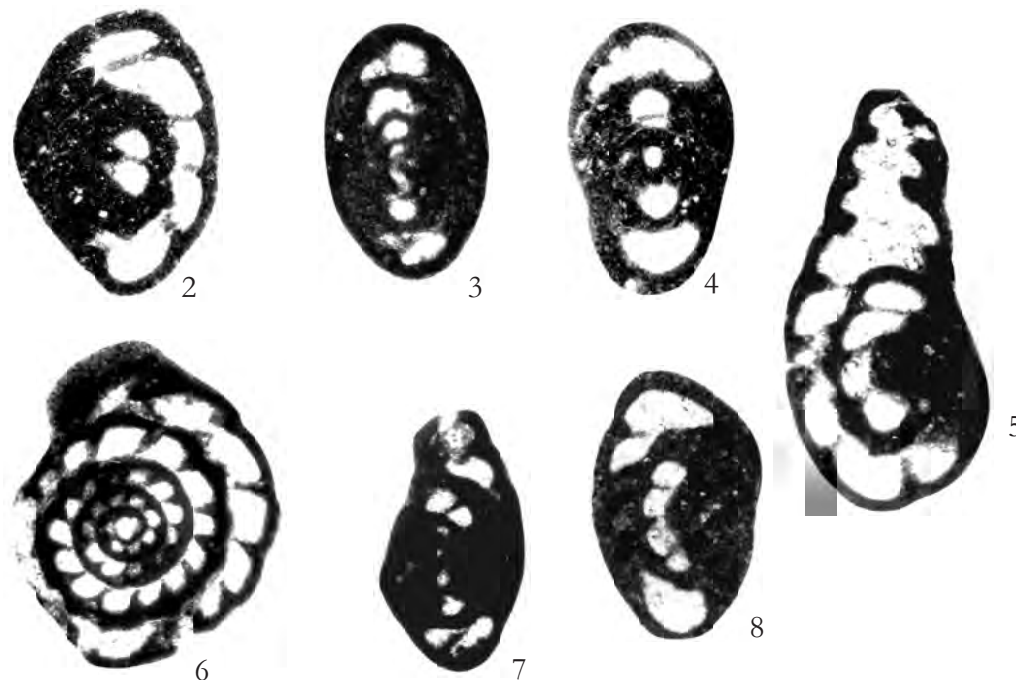
– *The microfacies of fig. 1 and the specimens of figs. 2-5 from type-locality, Costa dell’Orsa stratigraphic section, Gran Sasso d’Italia (Abruzzi)*.

*Lithocodium aggregatum* biozone - *Protopeneroplis ultragranulata* subzone.

UPPER BERRIASIAN-LOWER VALANGINIAN



Fig. 1 – Rudstone con *Charentia cuvillieri*, *Trocholina chiocchinii*, altri Foraminiferi bentonici, *Lithocodium aggregatum* e Scleractinia. x 12  
 – Rudstone with *Charentia cuvillieri*, *Trocholina chiocchinii*, other benthic Foraminifera, *Lithocodium aggregatum* and Scleractinia. x 12



Figg. 2-8 – Sezioni variamente orientate di individui riferibili a *Charentia cuvillieri*. x 30  
 – Variously oriented sections of specimens referred to *Charentia cuvillieri*. x 30

La microfacies di fig. 1 e l'individuo di fig. 8 provengono dalla località Colle Frontino presso Antrodoco (Lazio); gli individui delle figg. 2-7 provengono dalla sezione stratigrafica di Costa di Piecipopoli, Gran Sasso d'Italia (Abruzzo).

Biozona a *Lithocodium aggregatum* – sottozona a *Protopeneroplis ultragranulata*.

BERRIASIANO SUPERIORE – VALANGINIANO INFERIORE

– The microfacies of fig. 1 and the specimen of fig. 8 from Colle Frontino locality near Antrodoco (Latium); the specimens of figs. 2-7 from Costa di Piecipopoli stratigraphic section, Gran Sasso d'Italia (Abruzzi).

*Lithocodium aggregatum* biozone – *Protopeneroplis ultragranulata* subzone.

UPPER BERRIASIAN – LOWER VALANGINIAN

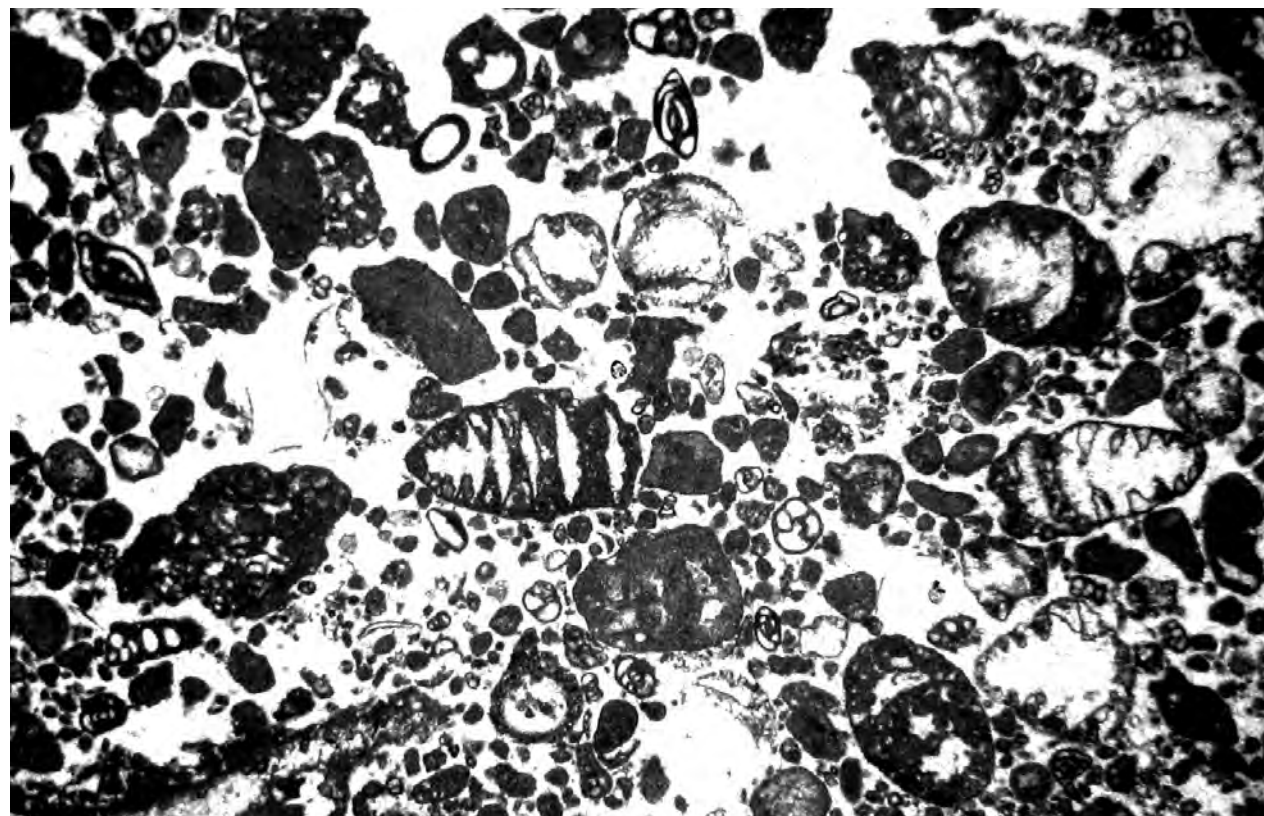
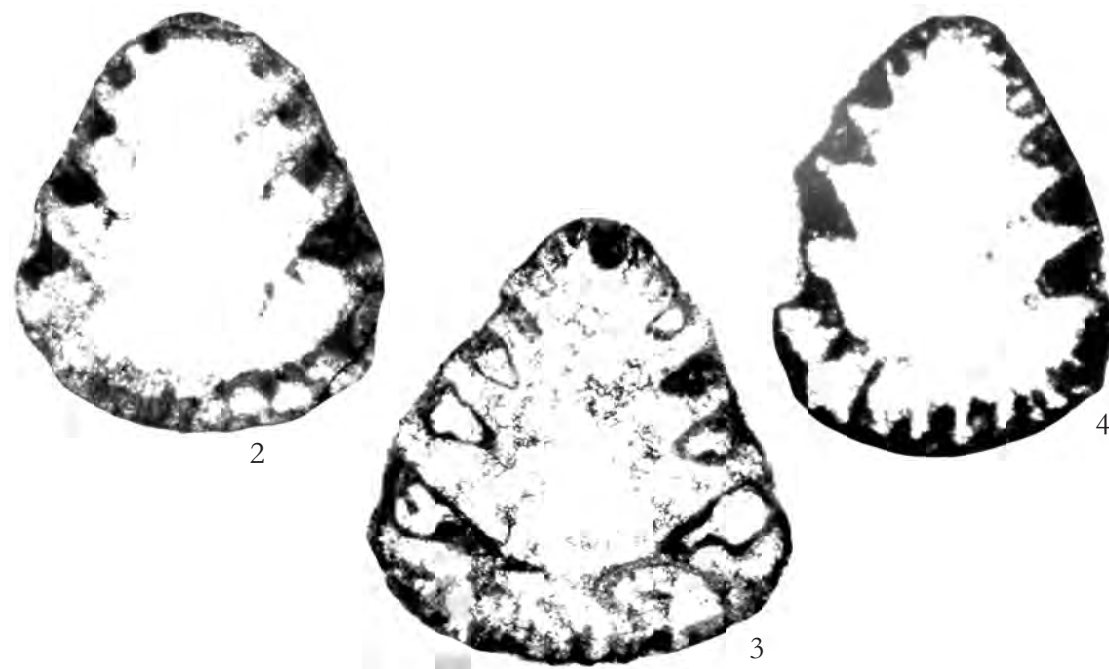


Fig. 1 – Grainstone con *Trocholina campanella*, *Trocholina cherchiai*, *Trocholina* sp., *Pseudocyclammina lituus*, *Haplophragmoides joukowskyi*, Miliolidae, altri Foraminiferi bentonici, resti di Echinodermata e Mollusca. x 15  
– Grainstone with *Trocholina campanella*, *Trocholina cherchiai*, *Trocholina* sp., *Pseudocyclammina lituus*, *Haplophragmoides joukowskyi*, Miliolidae, other benthic Foraminifera, Echinodermata and Mollusca remains. x 15



Figg. 2-4 – Sezioni variamente orientate di individui riferibili a *Trocholina campanella*. x 42  
– Variously oriented sections of specimens referred to *Trocholina campanella*. x 42

La microfacies di fig. 1 e gli individui delle figg. 2-4 provengono dalla sezione stratigrafica di Costa dell'Orsa, Gran Sasso d'Italia (Abruzzo).

Biozona a *Lithocodium aggregatum* - sottozona a *Protopeneroplis ultragranulata*.

BERRIASIANO SUPERIORE - VALANGINIANO INFERIORE

– The microfacies of fig. 1 and the specimens of figs. 2-4 from Costa dell'Orsa stratigraphic section, Gran Sasso d'Italia (Abruzzo).  
*Lithocodium aggregatum* biozone – *Protopeneroplis ultragranulata* subzone.

UPPER BERRIASIAN - LOWER VALANGINIAN

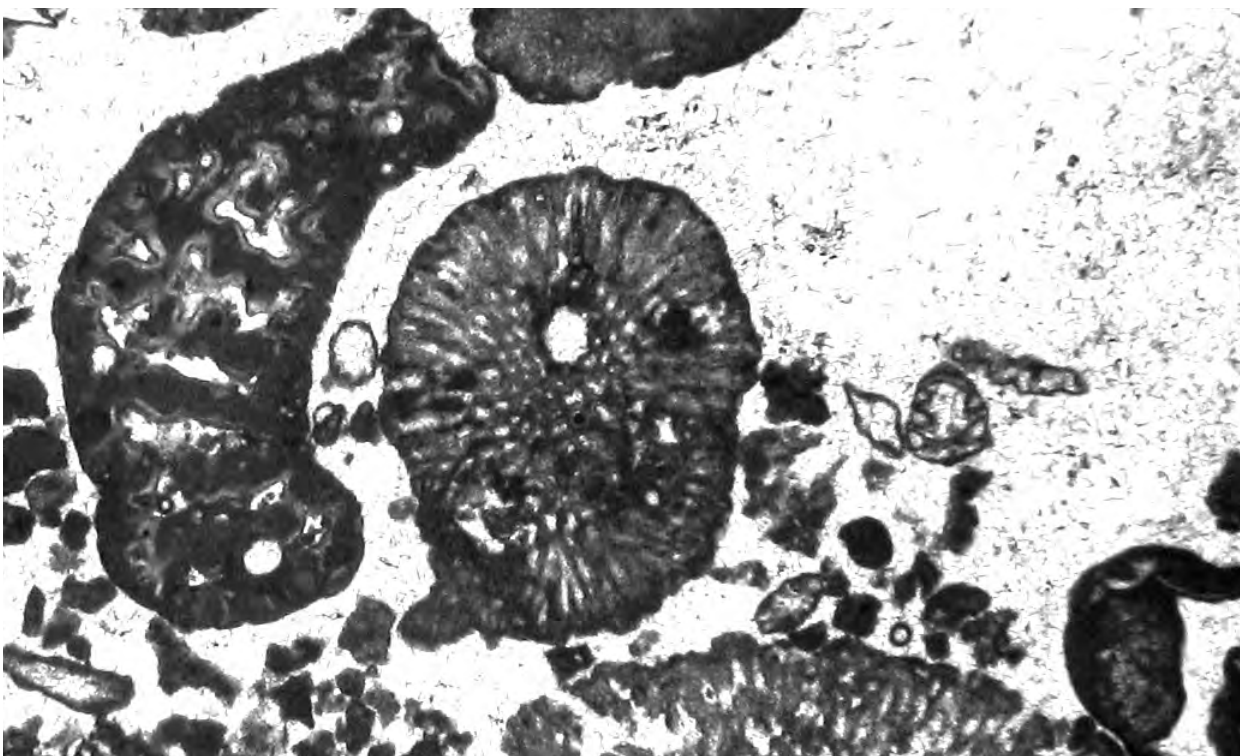


Fig. 1 – Rudstone con *Bevocastria elliotti* e resti di Scleractinia. x 20  
 – Rudstone with *Bevocastria elliotti* and Scleractinia remains. x 20

Sezione stratigrafica Costa di Vallefunga, Gran Sasso d'Italia (Abruzzo).  
 Biozona a *Lithocodium aggregatum* – sottozona a *Protopeneroplis ultragranulata*. BERRIASIANO SUPERIORE  
 – Costa di Vallefunga stratigraphic section, Gran Sasso d'Italia (Abruzzi).  
*Lithocodium aggregatum* biozone – *Protopeneroplis ultragranulata* subzone.

UPPER BERRIASIAN

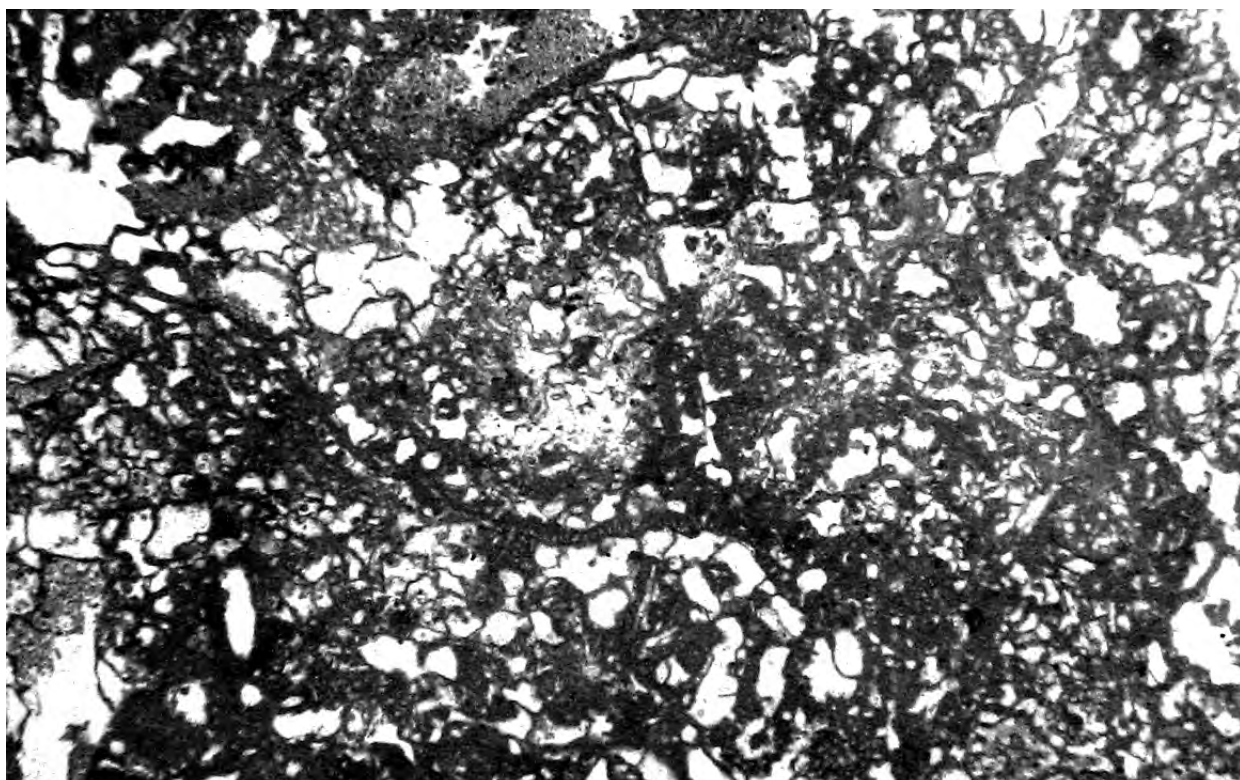


Fig. 2 – Bindstone con *Lithocodium aggregatum*. x 35  
 – Bindstone with *Lithocodium aggregatum*. x 35

Sezione stratigrafica Costa di Vallefunga, Gran Sasso d'Italia (Abruzzo).  
 Biozona a *Lithocodium aggregatum*-sottozona a *Protopeneroplis ultragranulata*. VALANGINIANO INFERIORE  
 – Costa di Vallefunga stratigraphic section, Gran Sasso d'Italia (Abruzzi).  
*Lithocodium aggregatum* biozone - *Protopeneroplis ultragranulata* subzone.

LOWER VALANGINIAN

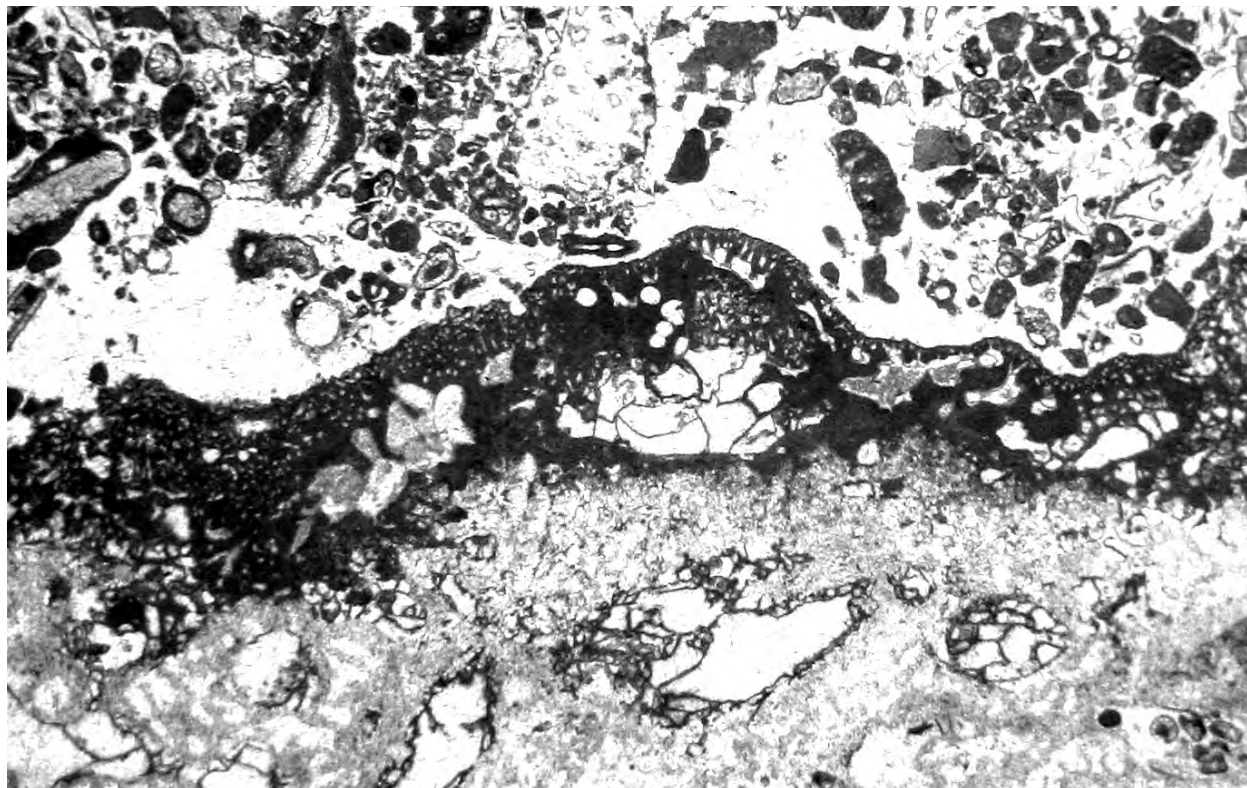


Fig. 1 – Bindstone con *Lithocodium aggregatum*.    x 12  
 – Bindstone with *Lithocodium aggregatum*.    x 12

Sezione stratigrafica di Costa dell'Orsa, Gran Sasso d'Italia (Abruzzo).  
 Biozona a *Lithocodium aggregatum* – sottozona a *Protopeneroplis ultragranulata*.  
 BERRIASIANO SUPERIORE-VALANGINIANO INFERIORE  
 – Costa dell'Orsa stratigraphic section, Gran Sasso d'Italia (Abruzzo).  
*Lithocodium aggregatum* biozone-*Protopeneroplis ultragranulata* subzone. UPPER BERRIASIAN-LOWER VALANGINIAN

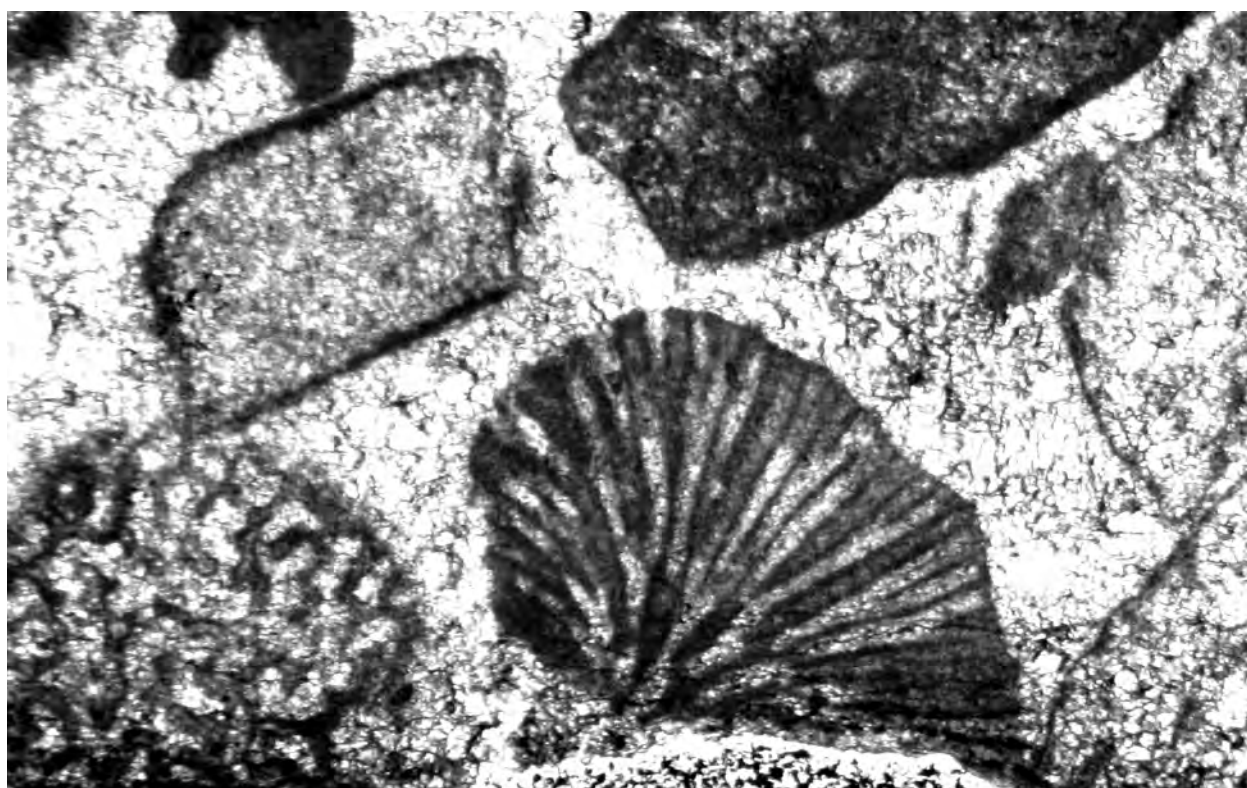


Fig. 2 – Rudstone con "Rivularia" kurdistanensis, resti di Scleractinia e Mollusca.    x 50  
 – Rudstone with "Rivularia" kurdistanensis, Scleractinia and Mollusca remains.    x 50

Sezione stratigrafica di Costa dell'Orsa, Gran Sasso d'Italia (Abruzzo).  
 Biozona a *Lithocodium aggregatum*-sottozona a *Protopeneroplis ultragranulata*. VALANGINIANO INFERIORE  
 – Costa dell'Orsa stratigraphic section, Gran Sasso d'Italia (Abruzzo).  
*Lithocodium aggregatum* biozone - *Protopeneroplis ultragranulata* subzone. LOWER VALANGINIAN

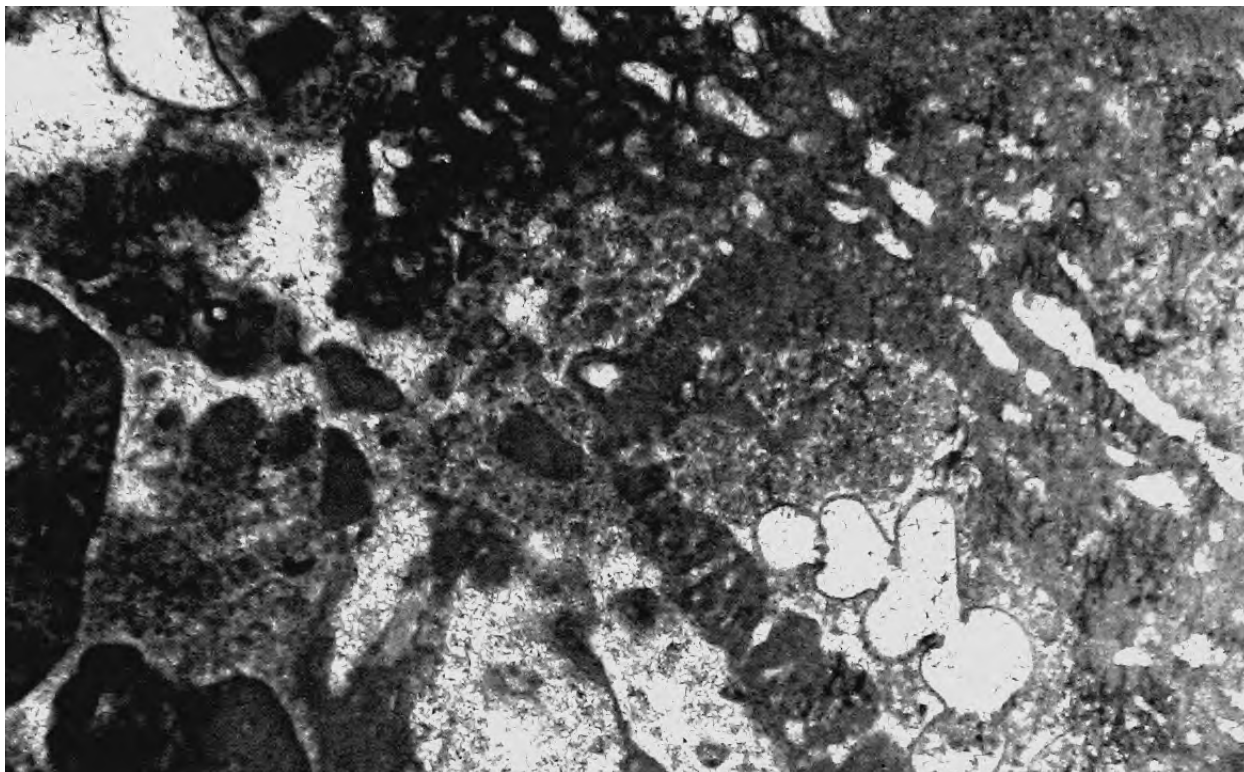


Fig. 1 – Rudstone con *Troglotella* sp. (in una cavità di *Lithocodium aggregatum*) e *Tubiphytes morronensis*. x 50  
 – Rudstone with *Troglotella* sp. (in to a cavity of *Lithocodium aggregatum*) and *Tubiphytes morronensis*. x 50

La microfacies di fig. 1 proviene dalla sezione stratigrafica Costa di Piecipopoli, Gran Sasso d'Italia (Abruzzo). Biozona a *Lithocodium aggregatum* - sottozona a *Protopeneroplis ultragranulata*.

BERRIASIANO SUPERIORE-VALANGINIANO INFERIORE

– The microfacies of fig. 1 from Costa di Piecipopoli stratigraphic section, Gran Sasso d'Italia (Abruzzi).  
*Lithocodium aggregatum* biozone-*Protopeneroplis ultragranulata* subzone. UPPER BERRIASIAN-LOWER VALANGINIAN

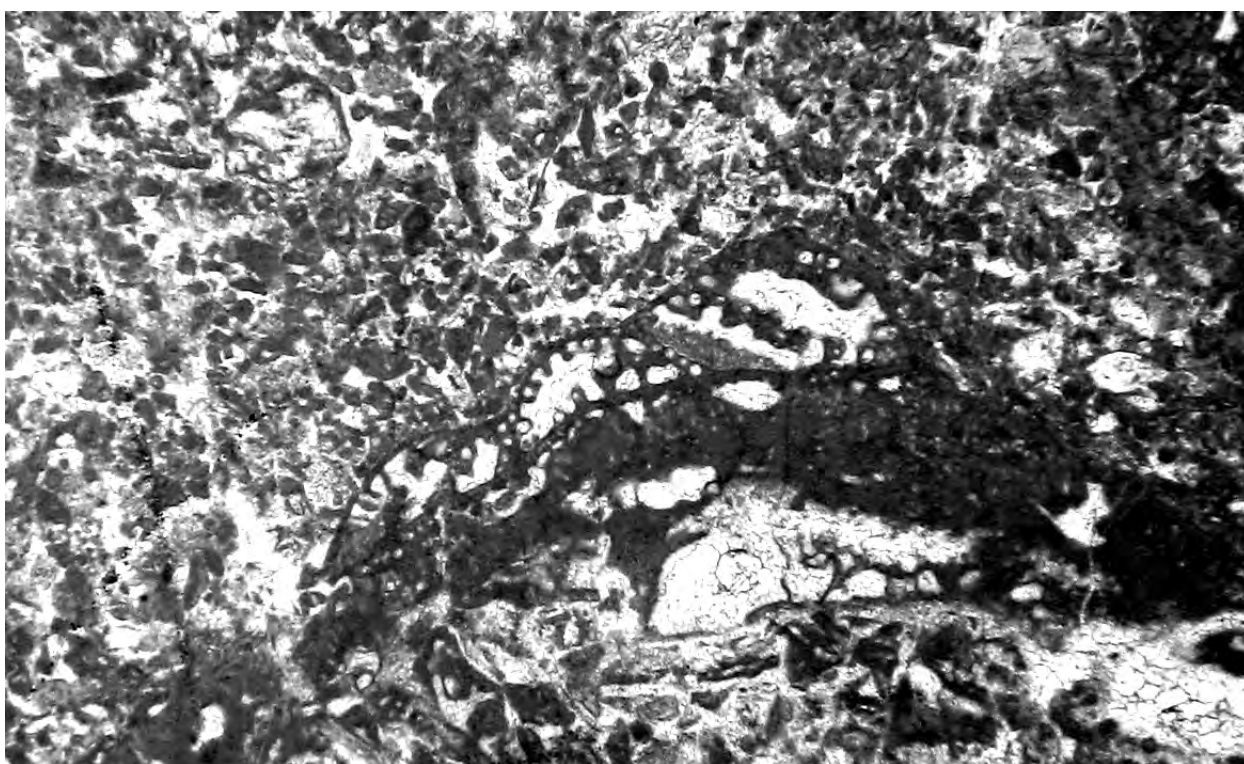


Fig. 2 – Packstone mal classato con Problematicum “A” che incrosta un resto di *Lithocodium aggregatum*. x 60  
 – Poorly sorted packstone with Problematicum “A” encrusting a *Lithocodium aggregatum* remain. x 60

La microfacies di fig. 2 proviene dalla sezione stratigrafica Costa di Piecipopoli, Gran Sasso d'Italia (Abruzzo). Biozona a *Lithocodium aggregatum* - sottozona a *Protopeneroplis ultragranulata*.

VALANGINIANO INFERIORE

– The microfacies of fig. 2 from Costa di Piecipopoli stratigraphic section, Gran Sasso d'Italia (Abruzzi).  
*Lithocodium aggregatum* biozone - *Protopeneroplis ultragranulata* subzone. LOWER VALANGINIAN

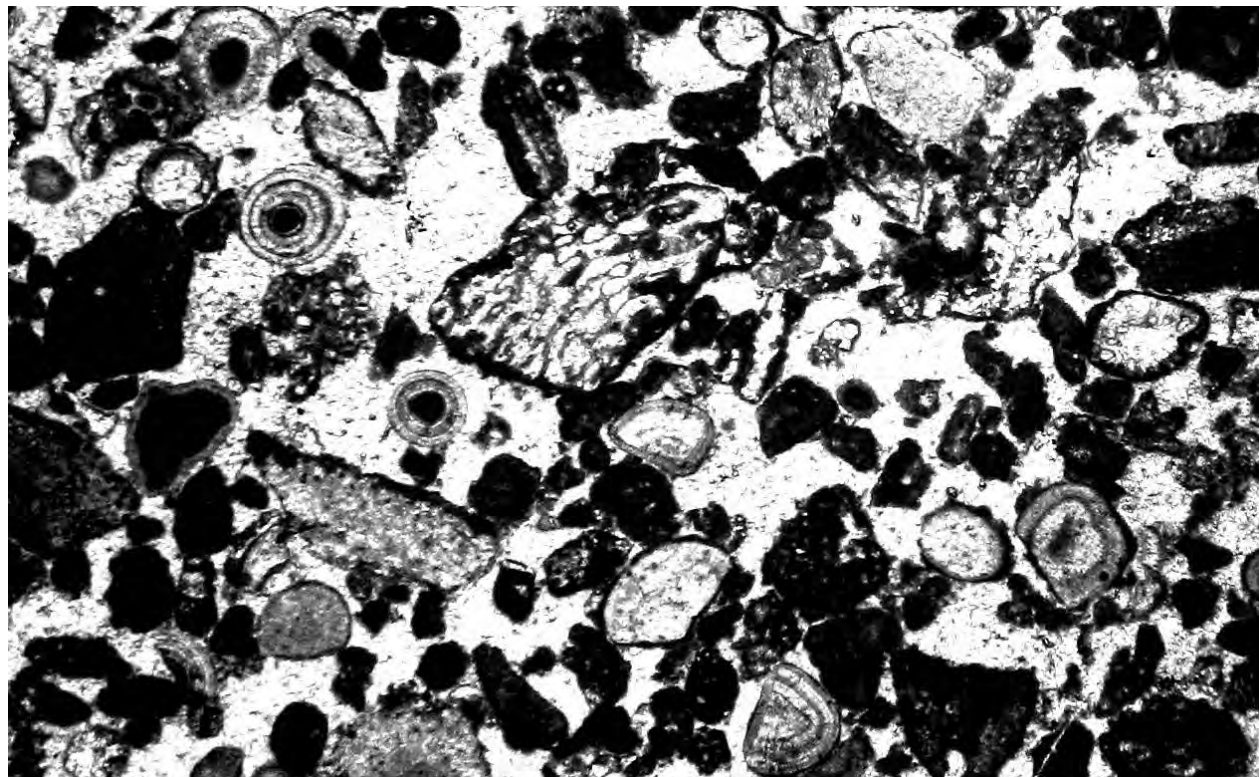
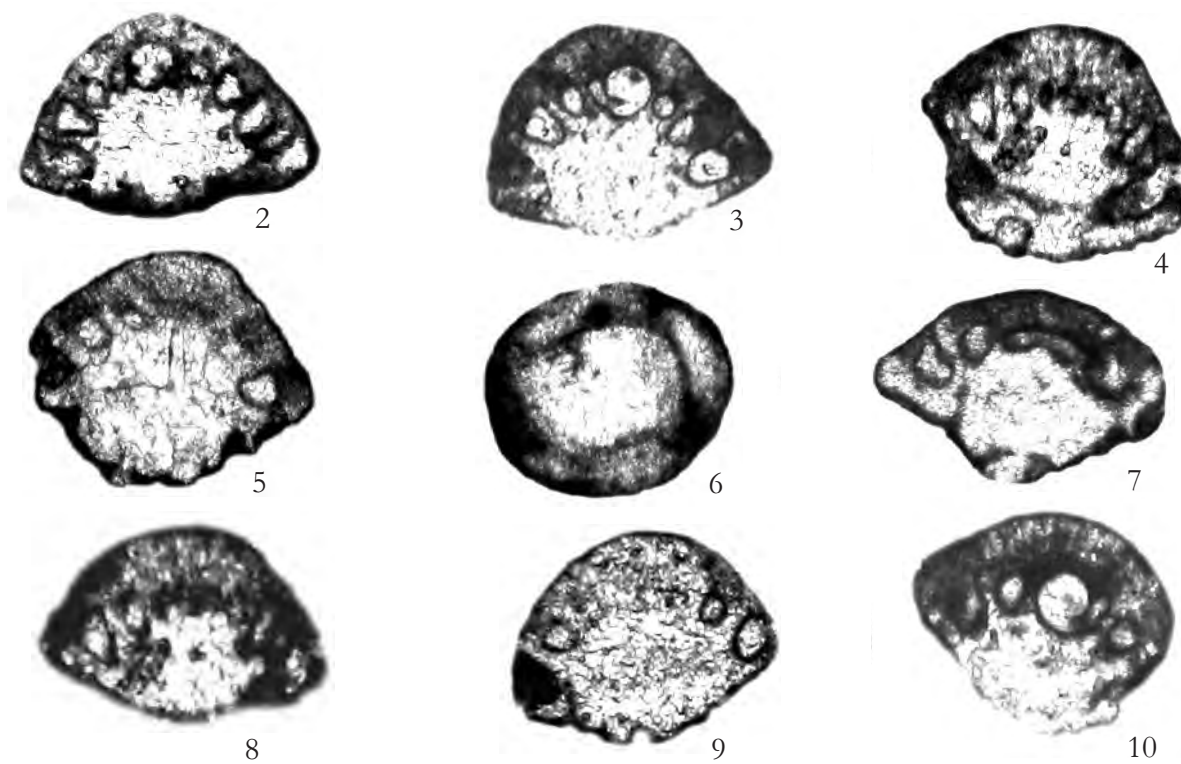


Fig. 1 – Packstone mal classato con ooliti, *Trocholina cf. involuta*, Dasycladaceae, resti di Scleractinia e di Echinodermata.  $\times 25$   
 – Poorly sorted packstone with ooliths, *Trocholina cf. involuta*, Dasycladaceae, Scleractinia and Echinodermata remains.  $\times 25$



Figg. 2-10 – Sezioni variamente orientate di individui riferibili a *Trocholina cf. involuta*.  $\times 55$   
 – Variously oriented sections of specimens referred to *Trocholina cf. involuta*.  $\times 55$

La microfacies di fig. 1 e gli individui delle figg. 2-10 provengono da località Valle Acera presso Pizzoli, (Abruzzo). Biozona a *Lithocodium aggregatum* - sottozona a *Protopeneroplis ultragranulata*. VALANGINIANO INFERIORE  
 – The microfacies of fig. 1 and the specimens of figs. 2-10 from Valle Acera locality near Pizzoli, (Abruzzi).  
*Lithocodium aggregatum* biozone – *Protopeneroplis ultragranulata* subzone. LOWER VALANGINIAN

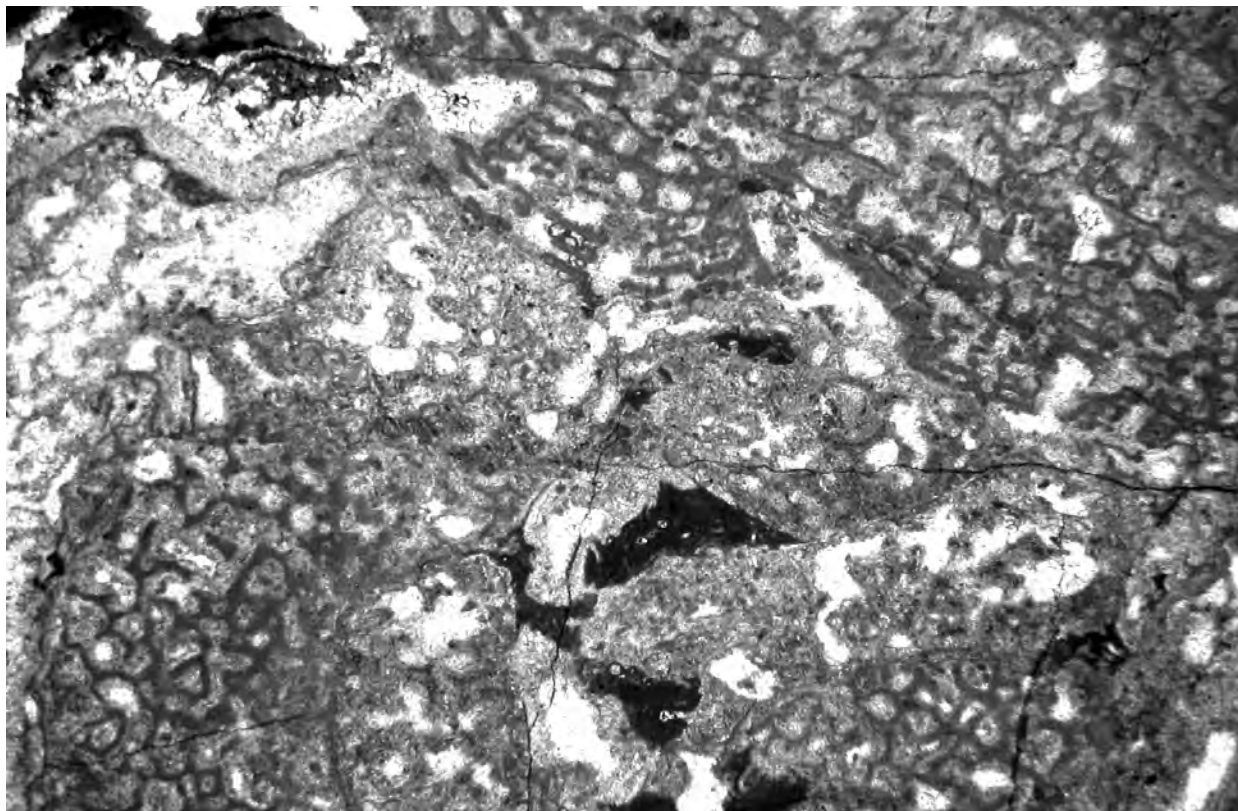


Fig. 1 – Framestone con *Sphaeractinia diceratina* e *Coscinophragma cribrosum*. x 10  
 – Framestone with *Sphaeractinia diceratina* and *Coscinophragma cribrosum*. x 10

La microfacies di fig. 1 proviene dalla sezione stratigrafica Costa di Vallelunga, Gran Sasso d'Italia (Abruzzo). Biozona a *Lithocodium aggregatum*-sottozona a *Protopeneroplis ultragranulata*. VALANGINIANO INFERIORE  
 – The microfacies of fig. 1 from Costa di Vallelunga stratigraphic section, Gran Sasso d'Italia (Abruzzi).  
*Lithocodium aggregatum* biozone - *Protopeneroplis ultragranulata* subzone. LOWER VALANGINIAN

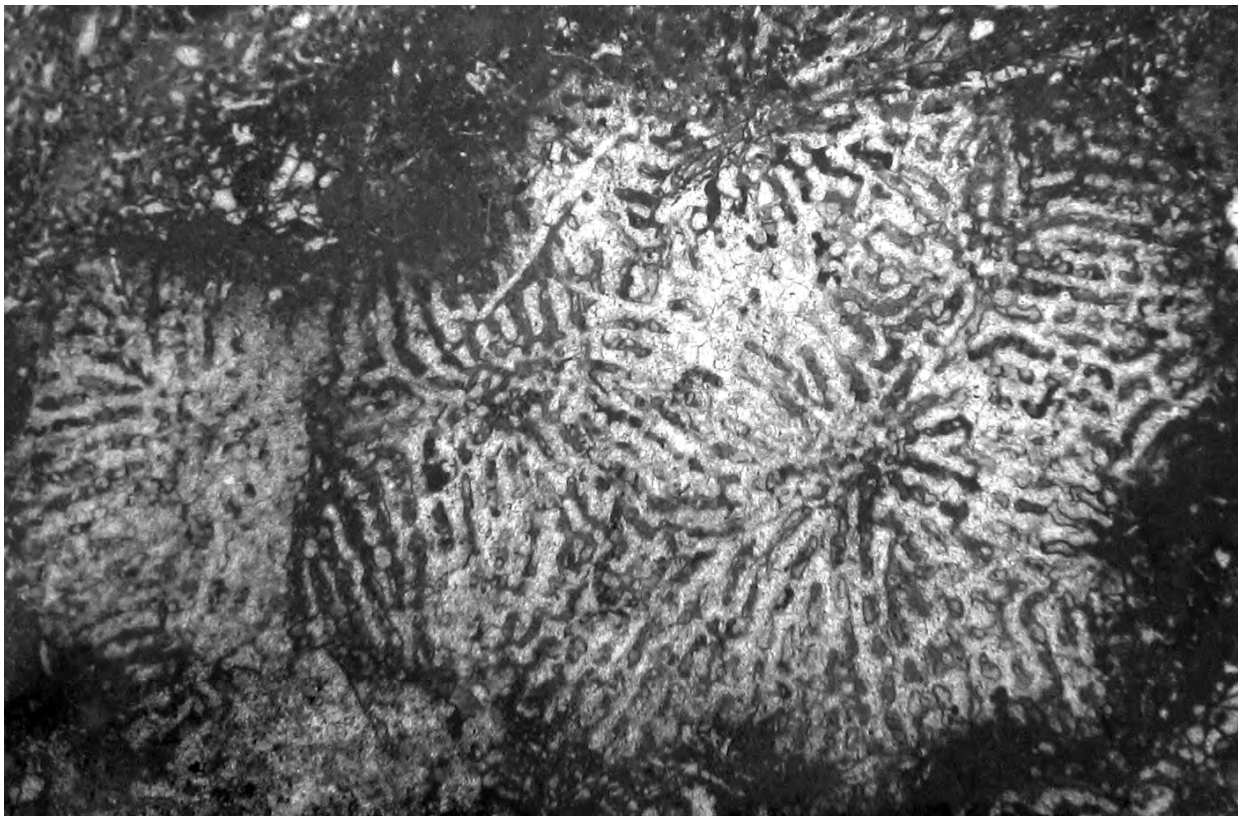


Fig. 2 – Framestone con Scleractinia parzialmente incrostati da *Lithocodium aggregatum*. x 10  
 – Scleractinia framestone partially encrusted by *Lithocodium aggregatum*. x 10

La microfacies di fig. 2 proviene dalla sezione stratigrafica Costa di Piecipoli, Gran Sasso d'Italia (Abruzzo). Biozona a *Lithocodium aggregatum* - sottozona a *Protopeneroplis ultragranulata*. VALANGINIANO INFERIORE  
 – The microfacies of fig. 2 from Costa di Piecipoli stratigraphic section, Gran Sasso d'Italia (Abruzzi).  
*Lithocodium aggregatum* biozone - *Protopeneroplis ultragranulata* subzone. LOWER VALANGINIAN

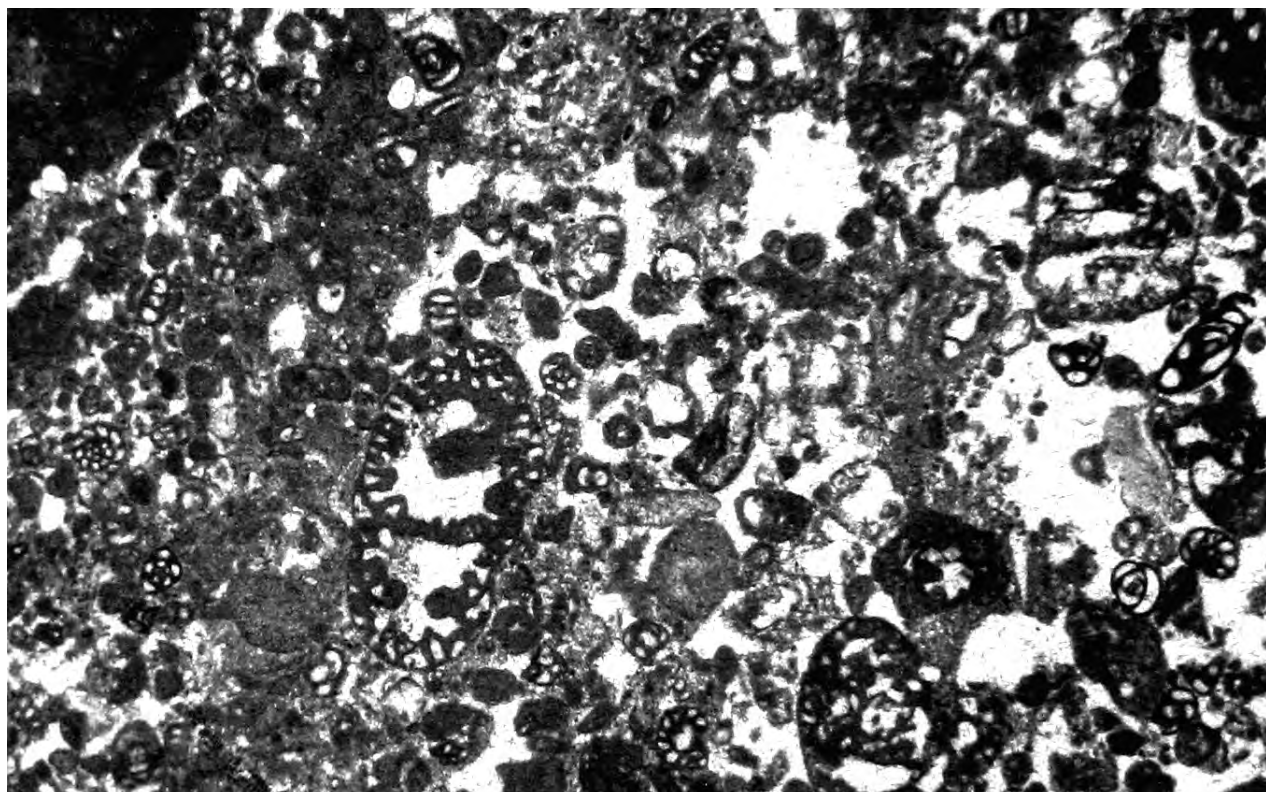
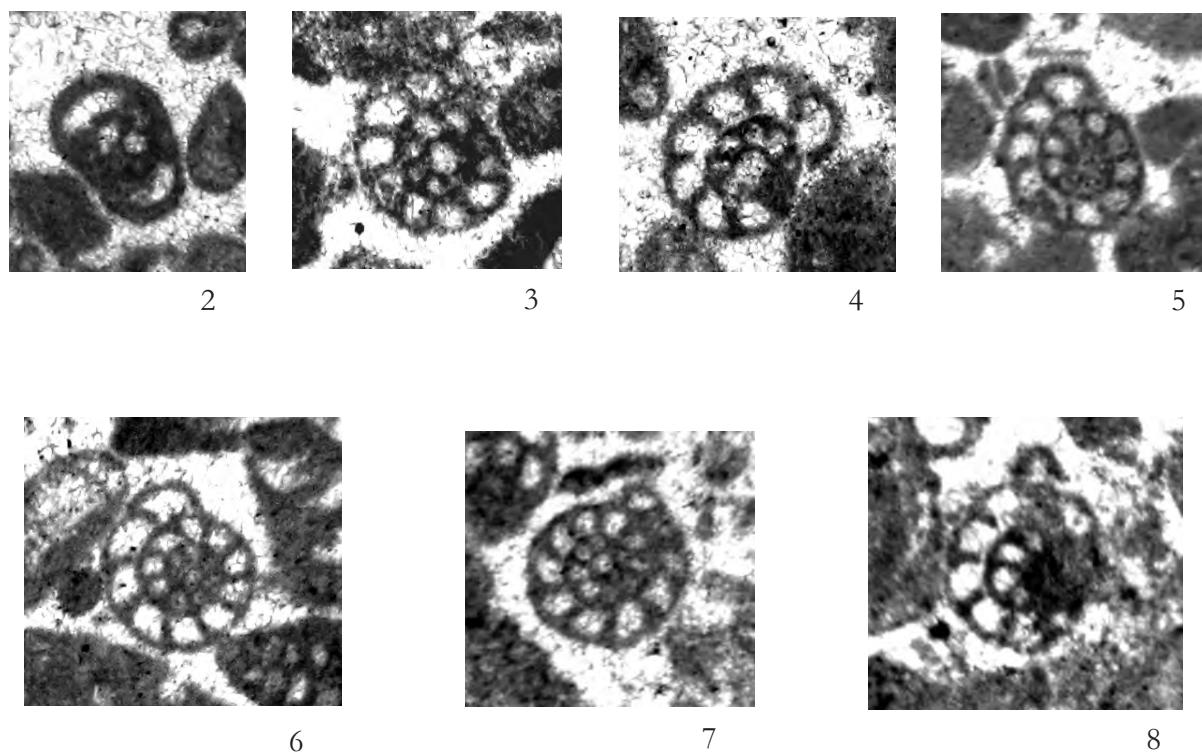


Fig. 1 – Packstone mal classato con *Haplophragmoides joukowskyi*, *Pseudocyclammina lituus*, Miliolidae e altri Foraminiferi bentonici.  $\times 32$   
 – Poorly sorted packstone with *Haplophragmoides joukowskyi*, *Pseudocyclammina lituus*, *Miliolidae* and other benthic Foraminifera.  $\times 32$



Figg. 2-8 – Sezioni variamente orientate di individui riferibili a *Haplophragmoides joukowskyi*.  $\times 110$   
 – Variously oriented sections of specimens referred to *Haplophragmoides joukowskyi*.  $\times 110$

La microfacies di fig. 1 e gli individui delle figg. 2-8 provengono dalla sezione stratigrafica Costa di Piecipopoli, Gran Sasso d'Italia (Abruzzo).

Biozona a *Lithocodium aggregatum* - sottozona a *Protopeneroplis ultragranulata*.

VALANGINIANO INFERIORE

– The microfacies of fig. 1 and the specimens of figs. 2-8 from Costa di Piecipopoli stratigraphic section, Gran Sasso d'Italia (Abruzzo).

*Lithocodium aggregatum* biozone - *Protopeneroplis ultragranulata* subzone.

LOWER VALANGINIAN

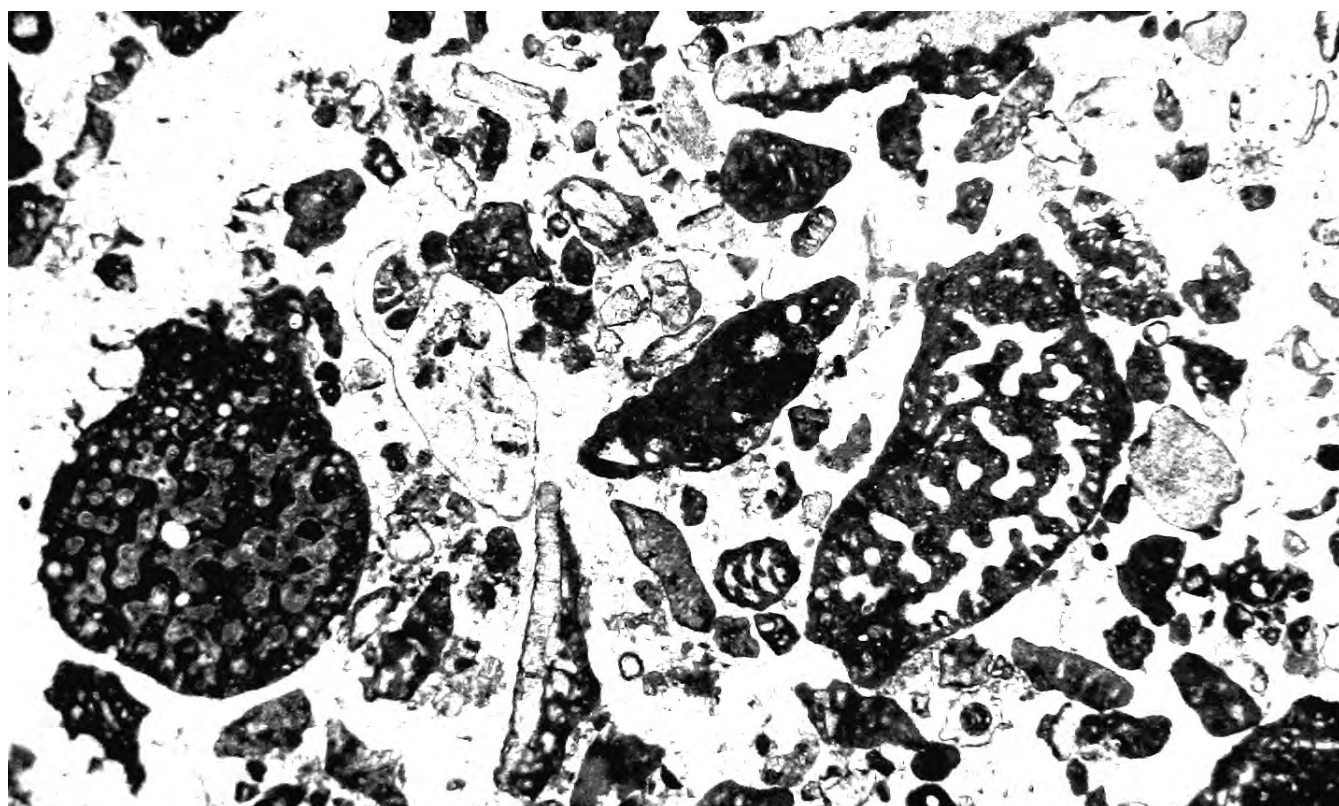


Fig. 1 – Rudstone con *Coscinophragma cribrosum*, Foraminiferi bentonici, Gastropoda e Echinodermata.  $\times 20$   
 – Rudstone with *Coscinophragma cribrosum*, benthic Foraminifera, Gastropoda and Echinodermata remains.  $\times 20$



Figg. 2-5 – Sezioni variamente orientate di individui riferibili a *Coscinophragma cribrosum*.  $\times 20$   
 – Variously oriented sections of specimens referred to *Coscinophragma cribrosum*.  $\times 20$

La microfacies di fig. 1 proviene dalla località Collicelli, presso Antrodoco (Lazio); gli individui delle figg. 2-5 provengono dalla sezione stratigrafica di Costa di Piccipoli - Colle Paradiso, Gran Sasso d'Italia (Abruzzo).  
 Biozona a *Lithocodium aggregatum* - sottozona a *Protopeneroplis ultragranulata*.

VALANGINIANO INFERIORE

– The microfacies of fig. 1 from Collicelli locality near Antrodoco (Latium); the specimens of figs. 2-5 from Costa di Piccipoli - Colle Paradiso stratigraphic section, Gran Sasso d'Italia (Abruzzi).  
*Lithocodium aggregatum* biozone - *Protopeneroplis ultragranulata* subzone.

LOWER VALANGINIAN

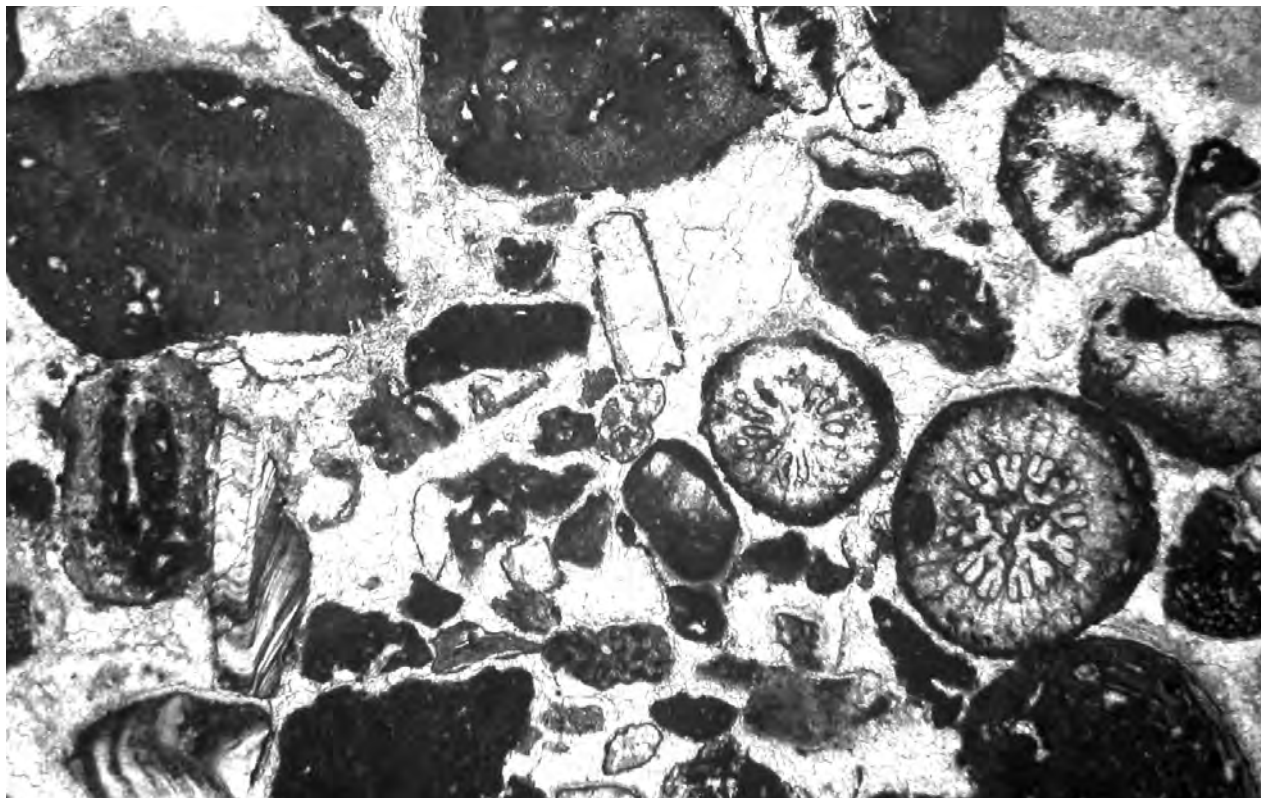


Fig. 1 – Rudstone con Scleractinia, *Tubiphytes morronensis*, resti di Mollusca e Echinodermata. x 15  
 – Rudstone with Scleractinia, *Tubiphytes morronensis*, *Mollusca* and *Echinodermata* remains. x 15

La microfacies di fig. 1 proviene dalla sezione stratigrafica di Costa dell'Orsa, Gran Sasso d'Italia (Abruzzo).  
 Biozona a *Lithocodium aggregatum* - sottozona a *Protopeneroplis ultragranulata*. VALANGINIANO INFERIORE  
 – The microfacies of fig. 1 from Costa dell'Orsa stratigraphic section, Gran Sasso d'Italia (Abruzzi).  
*Lithocodium aggregatum* biozone - *Protopeneroplis ultragranulata* subzone. LOWER VALANGINIAN

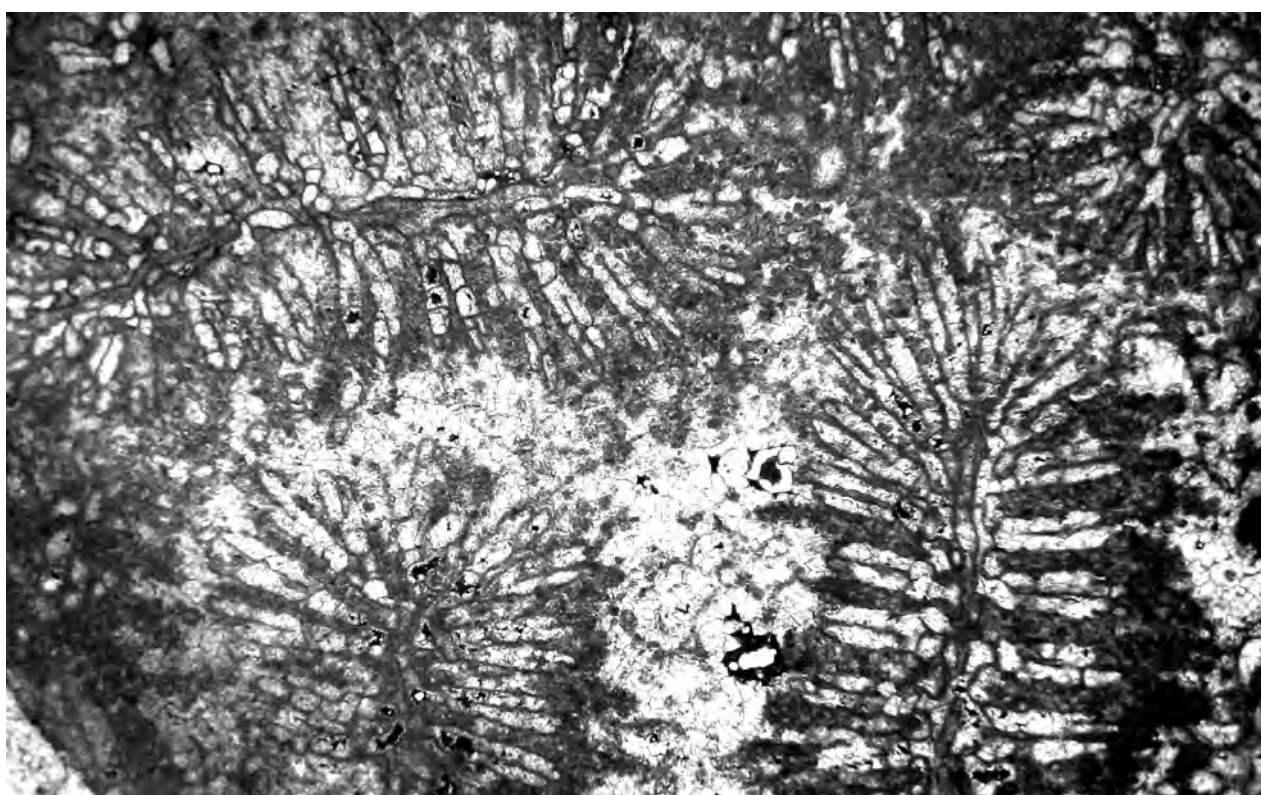


Fig. 2 – Framestone con Scleractinia. x 8  
 – Scleractinia framestone. x 8

La microfacies di fig. 2 proviene dalla sezione stratigrafica Costa di Vallelunga, Gran Sasso d'Italia (Abruzzo).  
 Biozona a *Lithocodium aggregatum* - sottozona a *Protopeneroplis ultragranulata*.  
 VALANGINIANO INFERIORE  
 – The microfacies of fig. 2 from Costa di Vallelunga stratigraphic section, Gran Sasso d'Italia (Abruzzi).  
*Lithocodium aggregatum* biozone - *Protopeneroplis ultragranulata* subzone. LOWER VALANGINIAN

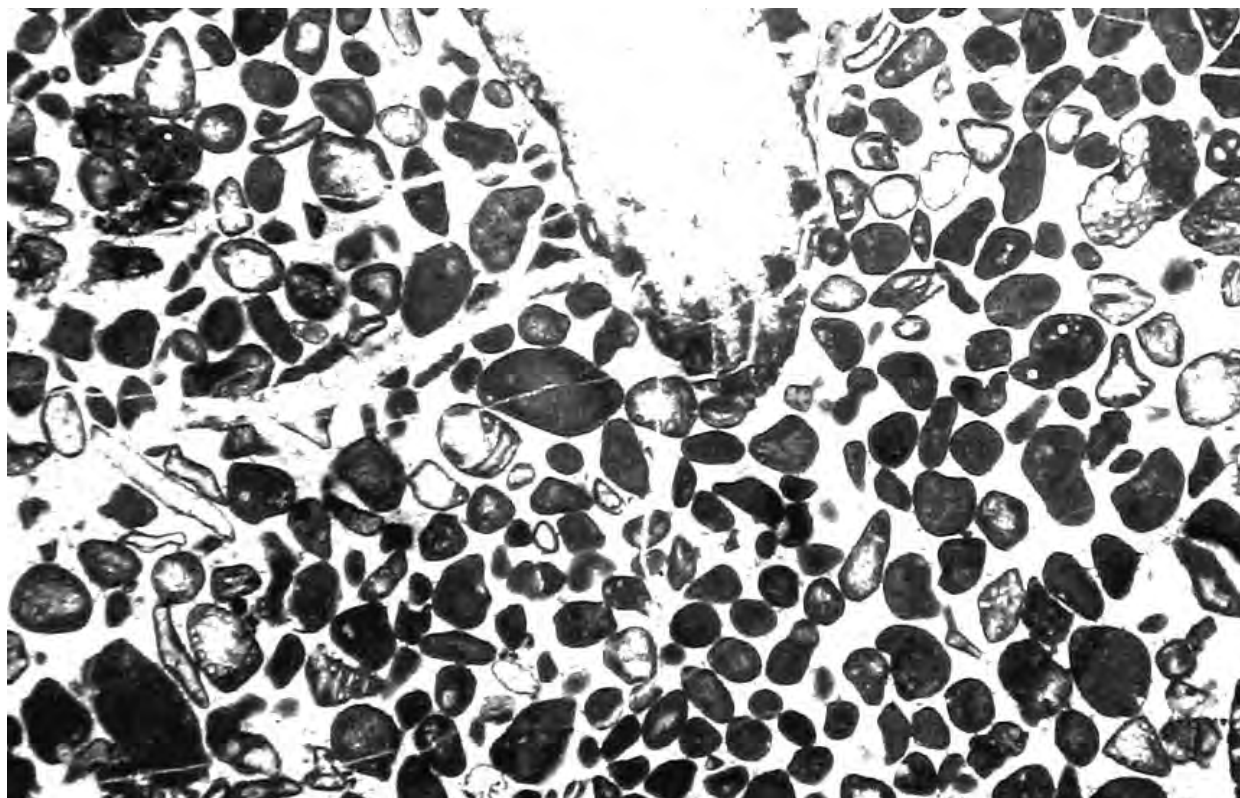
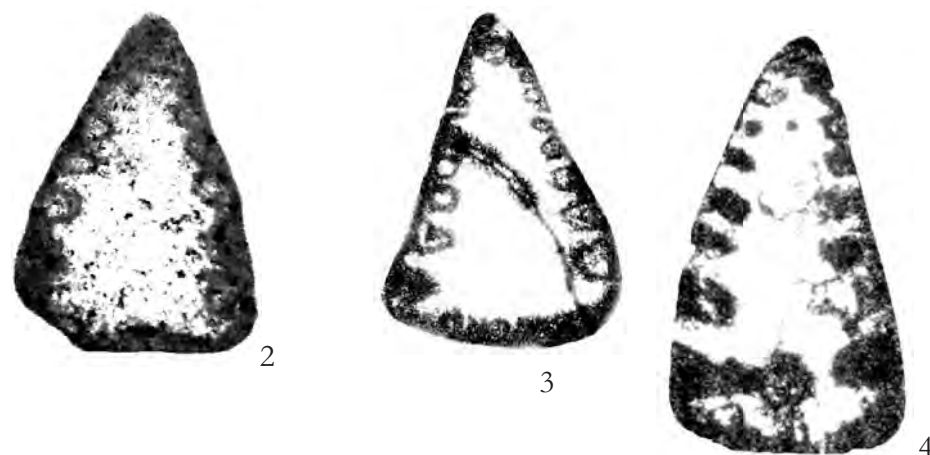


Fig. 1 – Grainstone mal classato con *Trocholina sagittaria*, *Trocholina delphinensis*, *Trocholina* sp., resti di Mollusca e Echinodermata. x 18

– Poorly sorted grainstone with *Trocholina sagittaria*, *Trocholina delphinensis*, *Trocholina* sp., Mollusca and Echinodermata remains. x 18



Figg. 2-4 – Sezioni variamente orientate di individui riferibili a *Trocholina sagittaria*. x 60

x 60

La microfacies di fig. 1 e gli individui delle figg. 2-4 provengono dalle sezioni stratigrafiche Costa di Piecipopoli e Costa dell'Orsa, Gran Sasso d'Italia (Abruzzo).

Biozona a *Lithocodium aggregatum*-sottozona a *Protopeneroplis ultragranulata*. VALANGINIANO INFERIORE  
– The microfacies of fig. 1 and the specimens of figs. 2-4 from Costa di Piecipopoli and Costa dell'Orsa stratigraphic sections, Gran Sasso d'Italia (Abruzzi).

*Lithocodium aggregatum* biozone - *Protopeneroplis ultragranulata* subzone.

LOWER VALANGINIAN

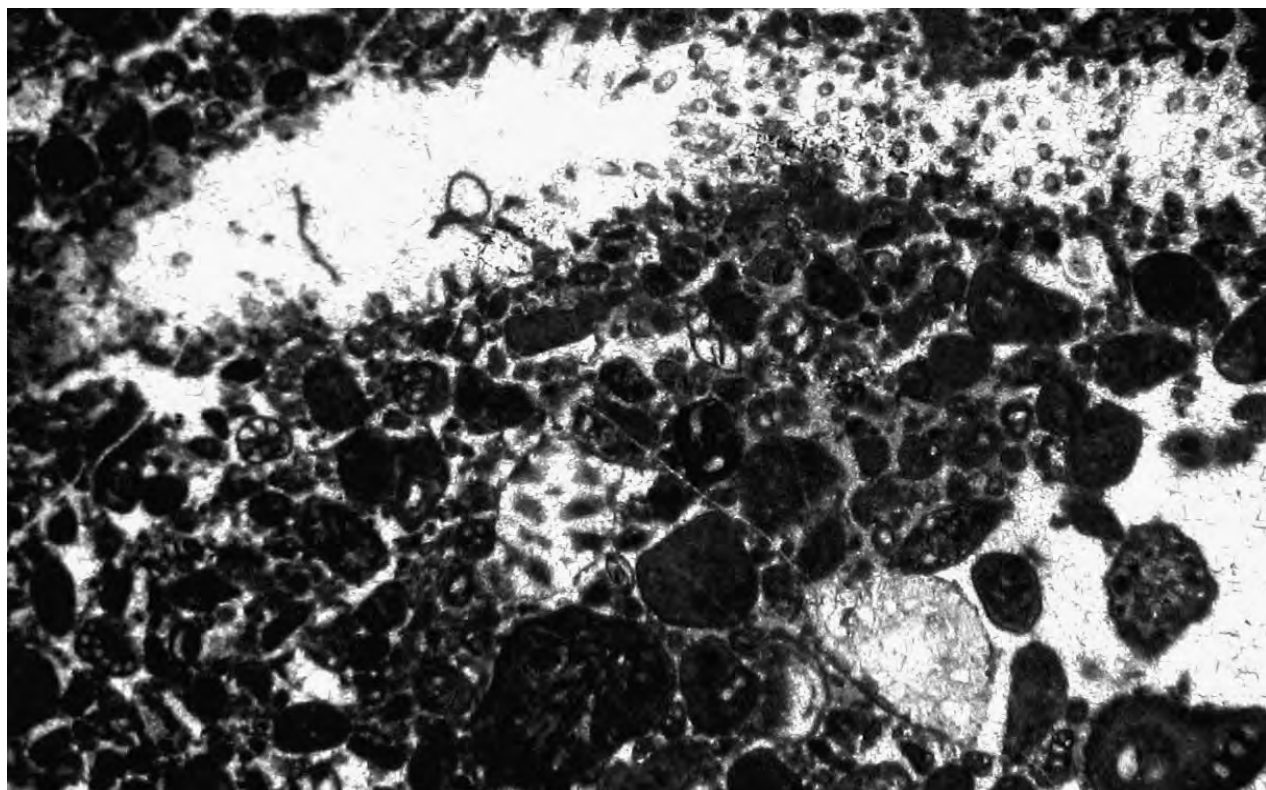


Fig. 1 – Packstone mal classato con *Neotrocholina valdensis*, *Haplophragmoides joukowskyi*, Miliolidae, altri Foraminiferi bentonici, Dasycladaceae e resti di Mollusca. x 30  
 – Poorly sorted packstone with *Neotrocholina valdensis*, *Haplophragmoides joukowskyi*, *Miliolidae*, other benthic Foraminifera, Dasycladaceae and Mollusca remains. x 30



Figg. 2-5 – Sezioni variamente orientate di individui riferibili a *Neotrocholina valdensis*. x 40  
 – Variously oriented sections of specimens referred to *Neotrocholina valdensis*. x 40

La microfacies di fig. 1 e gli individui delle figg. 2-5 provengono dalla sezione stratigrafica Costa di Piecipoli, Gran Sasso d'Italia (Abruzzo).

Biozona a *Lithocodium aggregatum* - sottozona a *Protopeneroplis ultragranulata*. VALANGINIANO INFERIORE  
 – The microfacies of fig. 1 and the specimens of figs. 2-5 from Costa di Piecipoli stratigraphic section, Gran Sasso d'Italia (Abruzzi).

*Lithocodium aggregatum* biozone - *Protopeneroplis ultragranulata* subzone.

LOWER VALANGINIAN

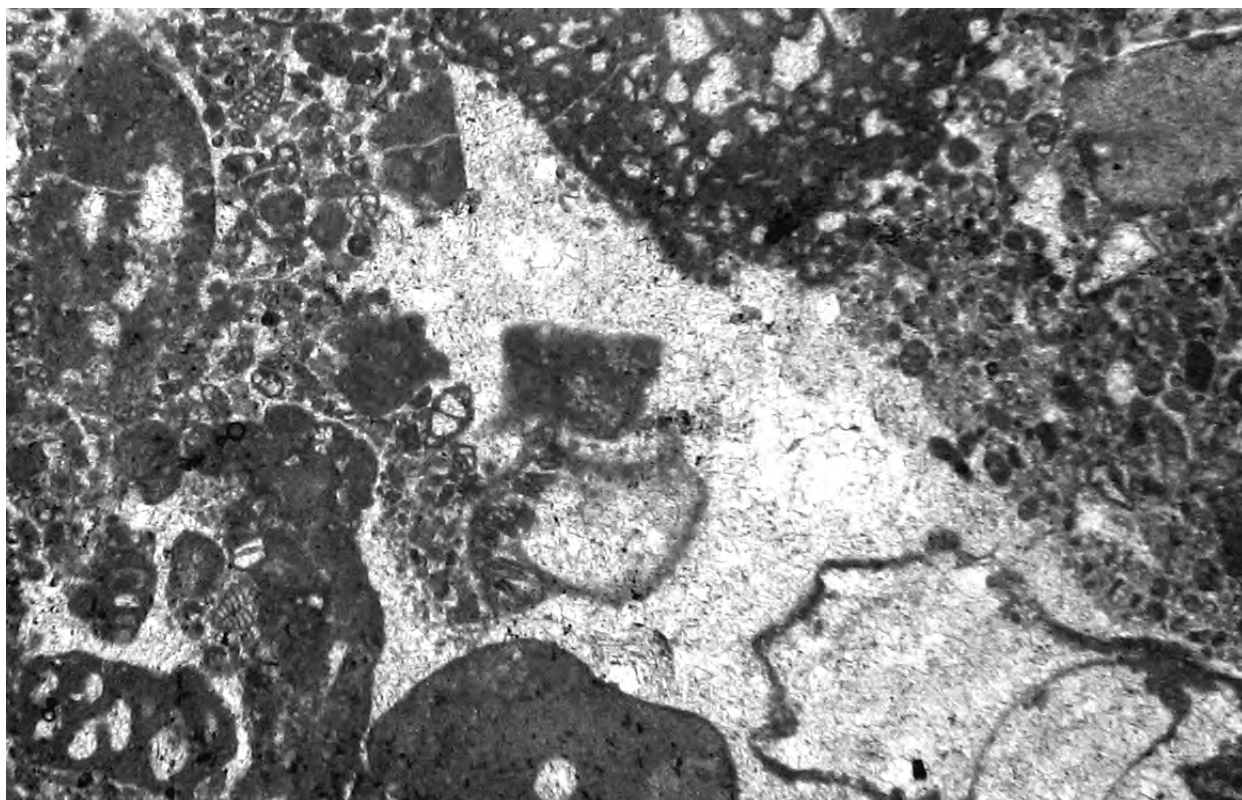
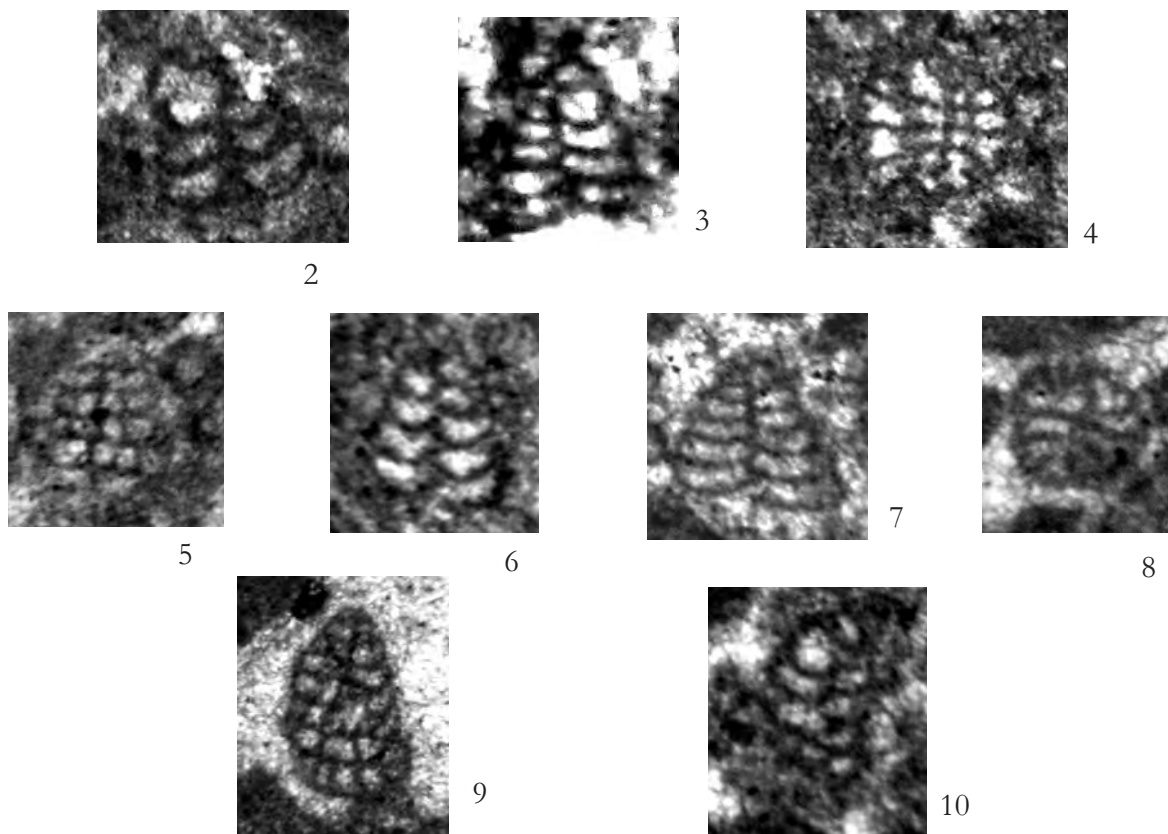


Fig. 1 – Packstone con *Montsalevia salevensis*, Miliolidae, altri foraminiferi bentonici, *Lithocodium aggregatum*, resti di Echinodermata e Gastropoda. x 40  
 – Packstone with *Montsalevia salevensis*, Miliolidae, other benthic Foraminifera, *Lithocodium aggregatum*, Echinodermata and Gastropoda remains. x 40



Figg. 2-10 – Sezioni variamente orientate di individui riferibili a *Montsalevia salevensis*. x 135  
 – Variously oriented sections of specimens referred to *Montsalevia salevensis*. x 135

La microfacies di fig. 1 e gli individui delle figg. 2-10 provengono dalla sezione stratigrafica Costa di Piecipopoli, Gran Sasso d'Italia (Abruzzo).

Biozona a *Lithocodium aggregatum* - sottozona a *Protopeneroplis ultragranulata*.

VALANGINIANO INFERIORE

– The microfacies of fig. 1 and the specimens of figs. 2-10 from Costa di Piecipopoli stratigraphic section, Gran Sasso d'Italia (Abruzzo).  
*Lithocodium aggregatum* biozone - *Protopeneroplis ultragranulata* subzone.

LOWER VALANGINIAN

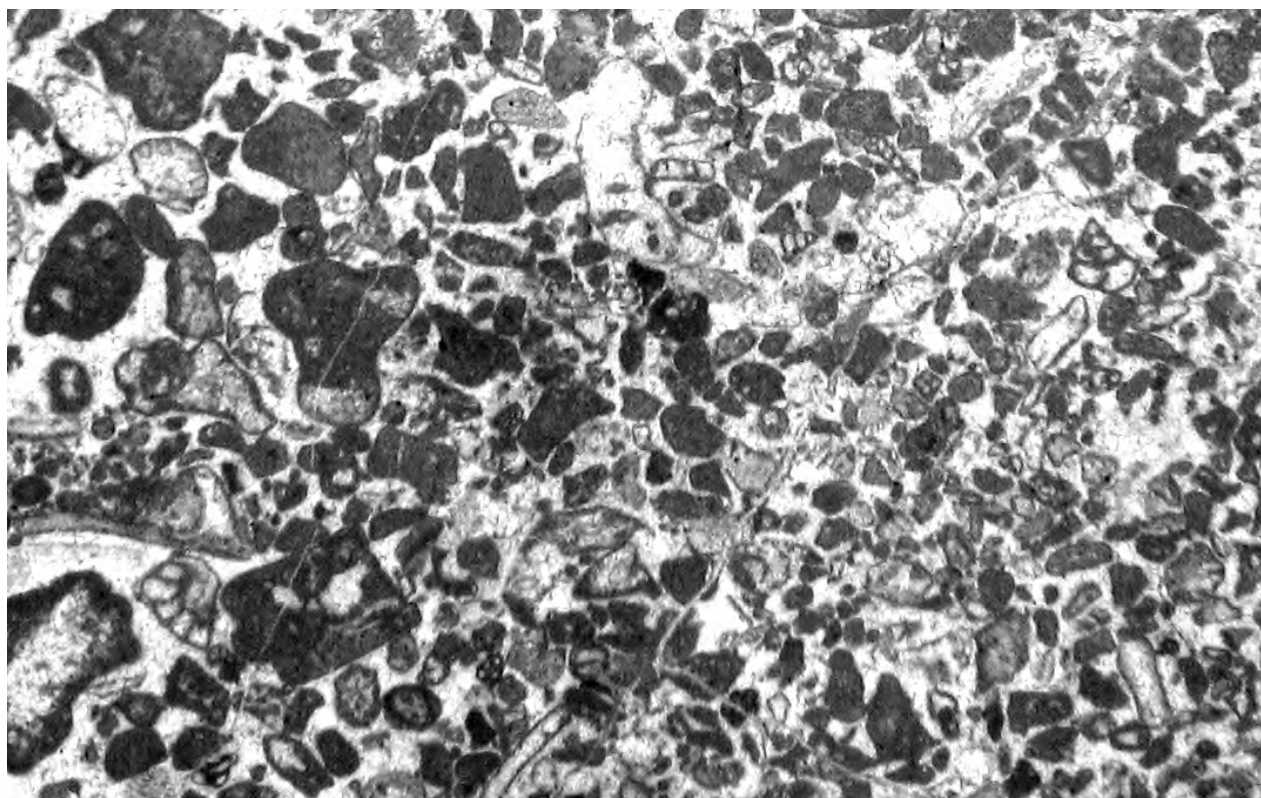
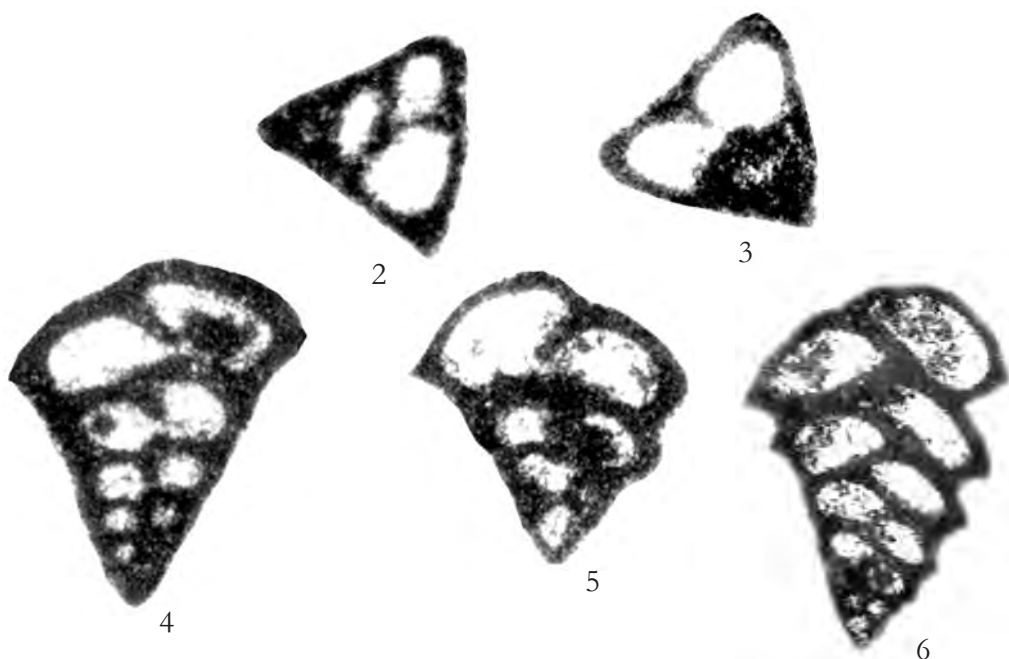


Fig. 1 – Grainstone mal classato con *Verneuilina* sp., *Trocholina* sp., *Neotrocholina infragranulata*, *Protopeneroplis ultragranulata*, altri Foraminiferi bentonici, Alghe calcaree, resti di Mollusca e Echinodermata. x 15  
 – Poorly sorted grainstone with *Verneuilina* sp., *Trocholina* sp., *Neotrocholina infragranulata*, *Protopeneroplis ultragranulata*, other benthic Foraminifera, calcareous Algae, Mollusca and Echinodermata remains. x 15



Figg. 2-6 – Sezioni variamente orientate di individui riferibili a *Verneuilina* sp. x 55  
 – Variously oriented sections of specimens referred to *Verneuilina* sp. x 55

La microfacies di fig. 1 e gli individui delle figg. 2-6 provengono dalla sezione stratigrafica Costa di Piecipopoli, Gran Sasso d'Italia (Abruzzo).

Biozona a *Lithocodium aggregatum* - sottozona a *Protopeneroplis ultragranulata*. VALANGINIANO INFERIORE  
 – The microfacies of fig. 1 and the specimens of figs. 2-6 from Costa di Piecipopoli stratigraphic section, Gran Sasso d'Italia (Abruzzi).

*Lithocodium aggregatum* biozone - *Protopeneroplis ultragranulata* subzone.

LOWER VALANGINIAN

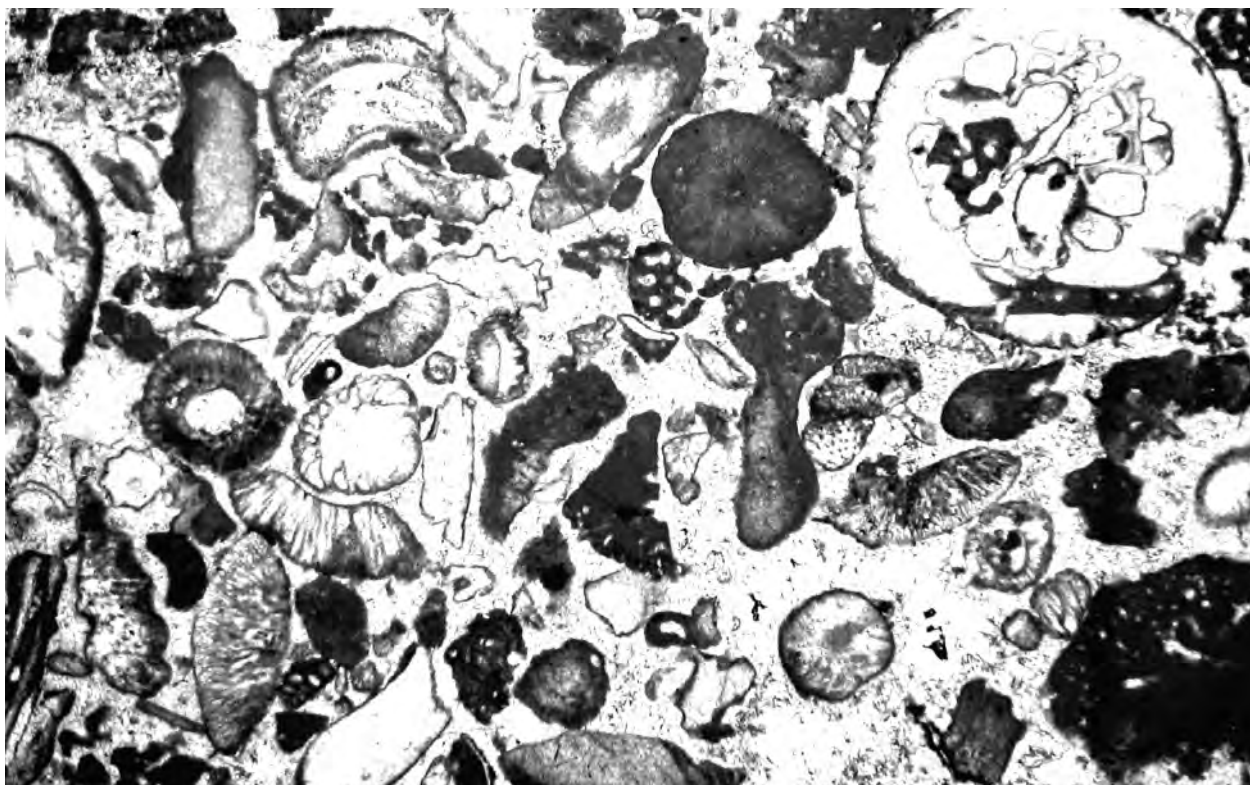
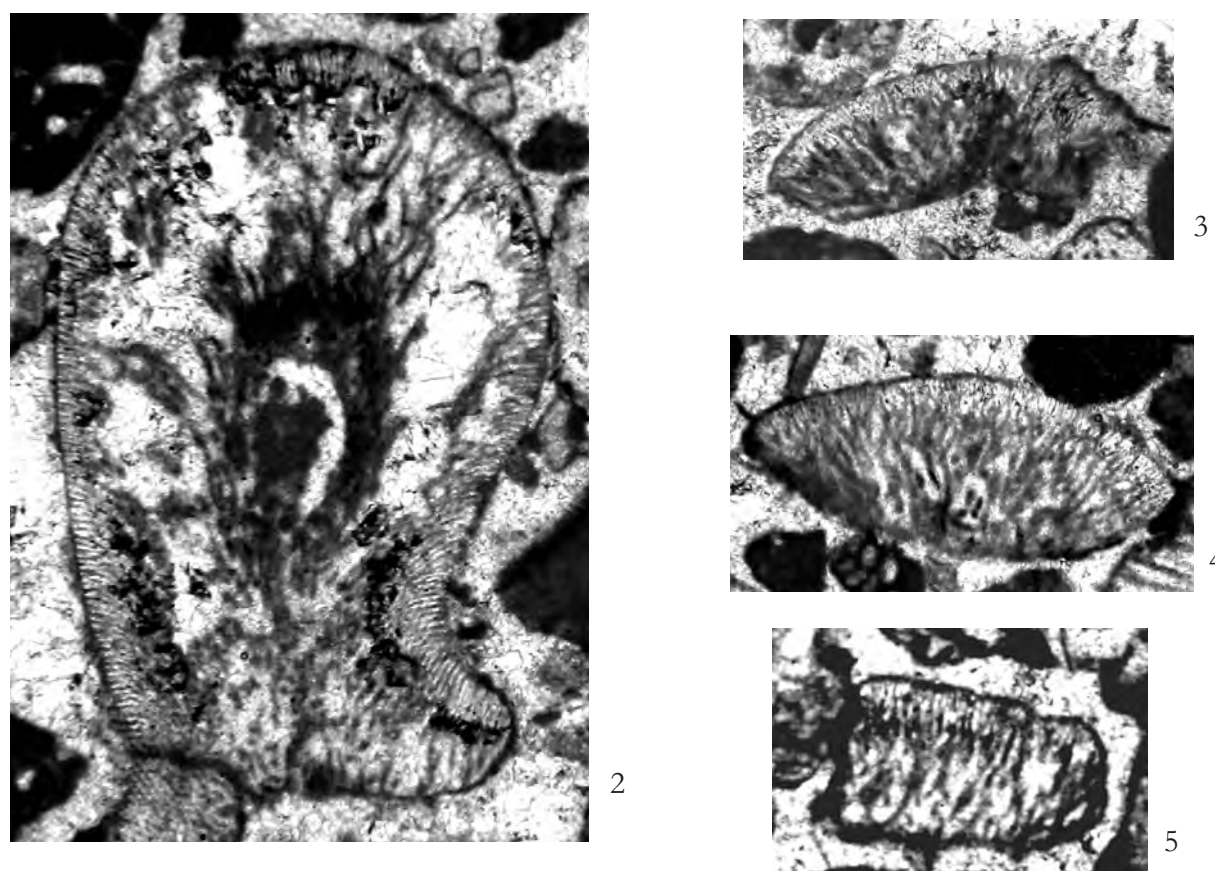


Fig. 1 – Rudstone con ?*Arabicodium* sp., *Linoporella capriotica*, *Trocholina alpina*, resti di Mollusca, Echinodermata e Scleractinia. x 15  
 – Rudstone with ?*Arabicodium* sp., *Linoporella capriotica*, *Trocholina alpina*, *Mollusca*, *Echinodermata* and *Scleractinia* remains. x 15



Figg. 2-5 – Sezioni variamente orientate di individui riferibili a ?*Arabicodium* sp. x 30  
 – Variously oriented sections of specimens referred to ?*Arabicodium* sp. x 30

La microfacies di fig. 1 e gli individui delle figg. 2-5 provengono dalla sezione stratigrafica di Costa dell'Orsa, Gran Sasso d'Italia (Abruzzo).

Biozona a *Lithocodium aggregatum* – sottozona a *Protopeneroplis ultragranulata*. VALANGINIANO  
 – The microfacies of fig. 1 and the specimens of figs. 2-5 from Costa dell'Orsa stratigraphic section, Gran Sasso d'Italia (Abruzzo).  
*Lithocodium aggregatum* biozone – *Protopeneroplis ultragranulata* subzone. VALANGINIAN

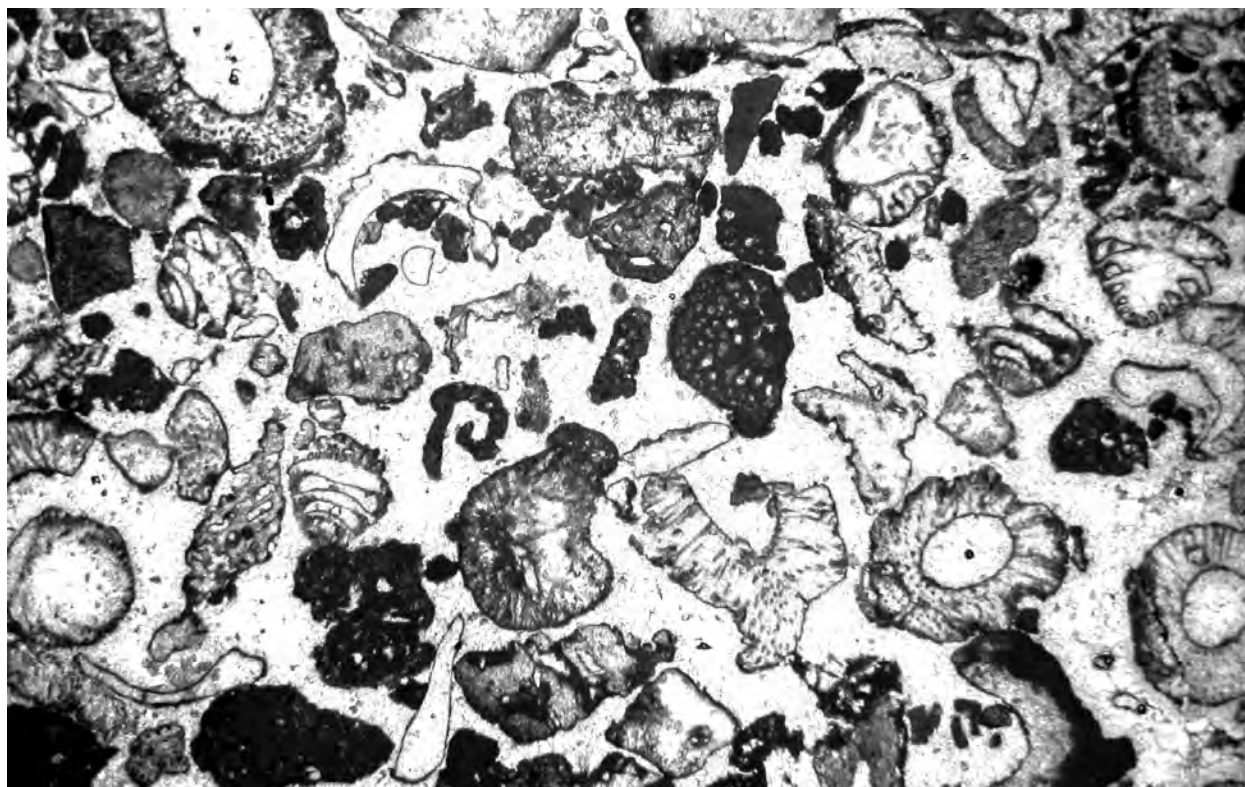
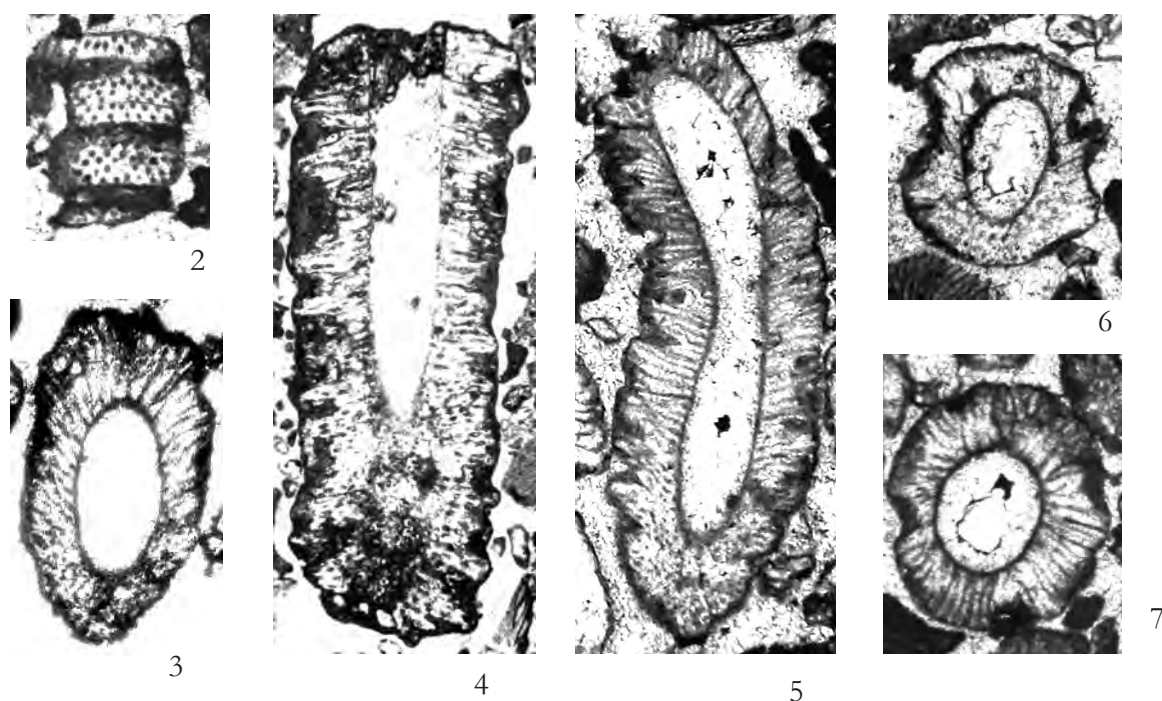


Fig. 1 – Rudstone con *Linoporella capriotica*, *Trocholina alpina*, resti di Mollusca e Echinodermata.  $\times 15$   
– Rudstone with *Linoporella capriotica*, *Trocholina alpina*, *Mollusca* and *Echinodermata* remains.  $\times 15$



Figg. 2 - 7 – Sezioni variamente orientate di individui riferibili a *Linoporella capriotica*.  $\times 12$   
– Variously oriented sections of specimens referred to *Linoporella capriotica*.  $\times 12$

La microfacies di fig. 1 e gli individui delle figg. 2-7 provengono dalla sezione stratigrafica di Costa dell'Orsa, Gran Sasso d'Italia (Abruzzo).

Biozona a *Lithocodium aggregatum* - sottozona a *Protopeneroplis ultragranulata*. VALANGINIANO  
– The microfacies of fig. 1 and the specimens of figs. 2-7 from Costa dell'Orsa stratigraphic section, Gran Sasso d'Italia (Abruzzi).  
*Lithocodium aggregatum* biozone - *Protopeneroplis ultragranulata* subzone. VALANGINIAN

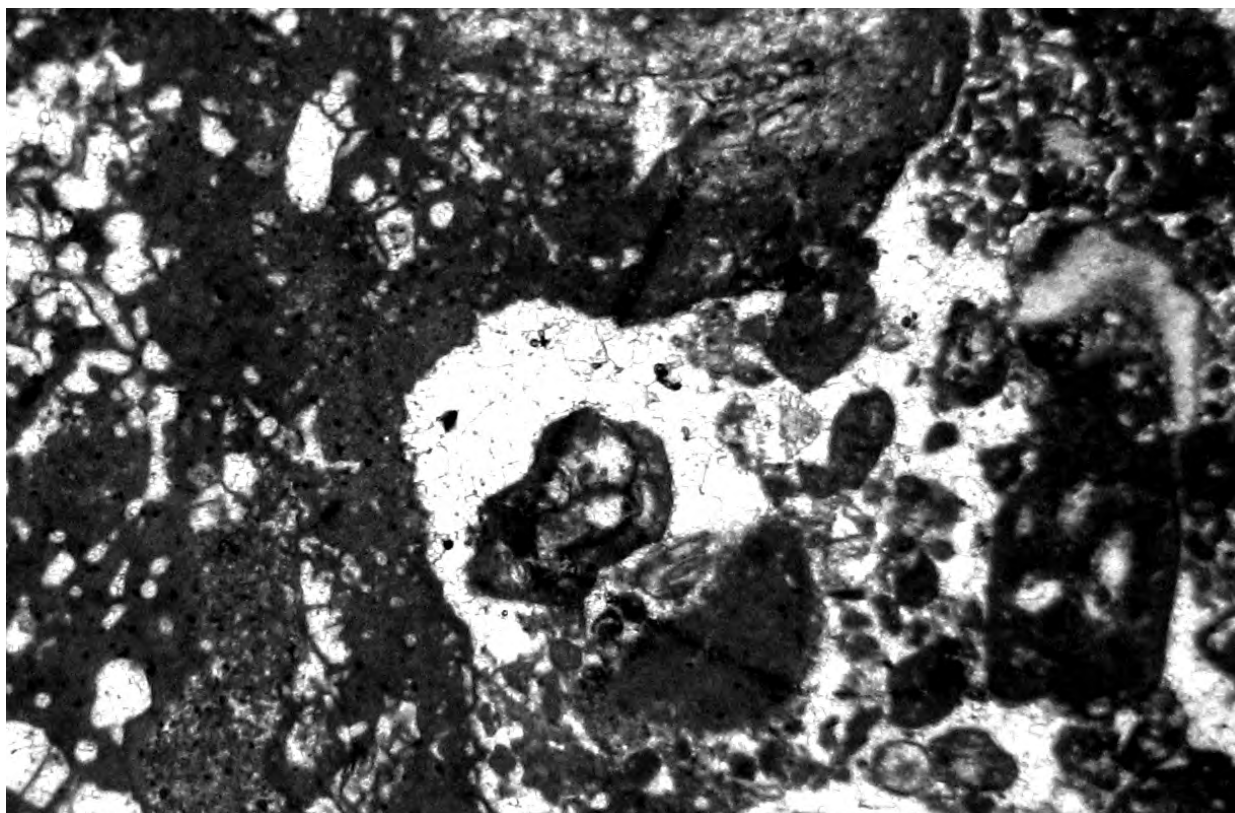
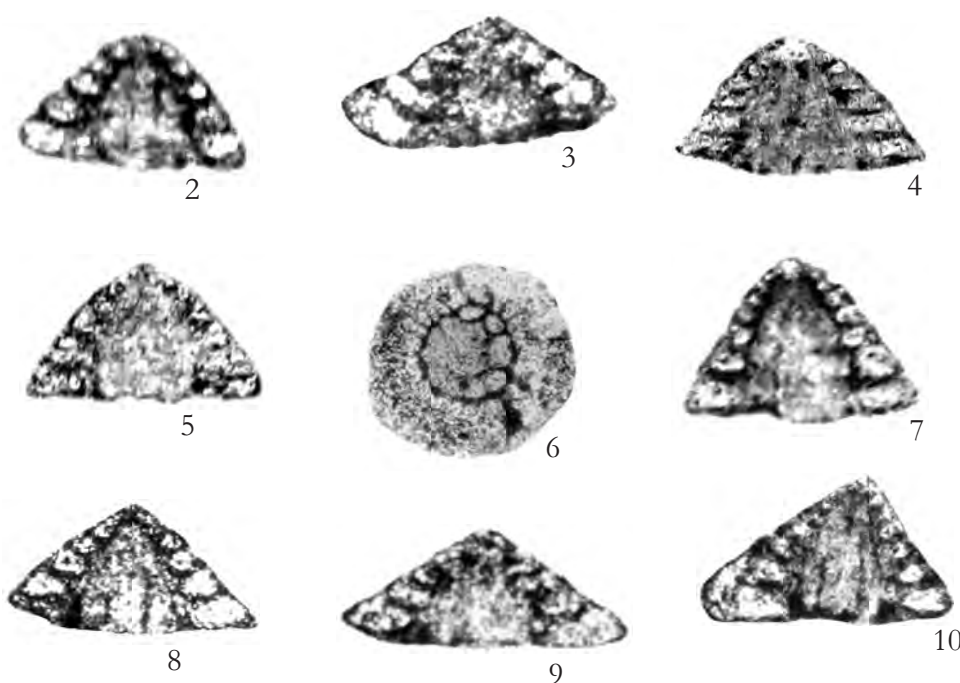


Fig. 1 – Rudstone con *Neotrocholina infragranulata*, altri Foraminiferi bentonici e *Lithocodium aggregatum*.  $\times 25$   
 – Rudstone with *Neotrocholina infragranulata*, other benthic Foraminifera and *Lithocodium aggregatum*.  $\times 25$



Figg. 2 - 10 – Sezioni variamente orientate di individui riferibili a *Neotrocholina infragranulata*.  $\times 80$   
 – Variously oriented sections of specimens referred to *Neotrocholina infragranulata*.  $\times 80$

La microfacies di fig. 1 e gli individui delle figure 2-10 provengono dalle sezioni stratigrafiche di Costa dell'Orsa e Piecipoli, Gran Sasso d'Italia (Abruzzo).

Biozona a *Lithocodium aggregatum* - sottozona a *Protopeneroplis ultragranulata*. VALANGINIANO

– The microfacies of fig. 1 and the specimens of figs. 2-10 from Costa dell'Orsa and Costa di Piecipoli stratigraphic sections, Gran Sasso d'Italia (Abruzzi).

*Lithocodium aggregatum* biozone - *Protopeneroplis ultragranulata* subzone.

VALANGINIAN

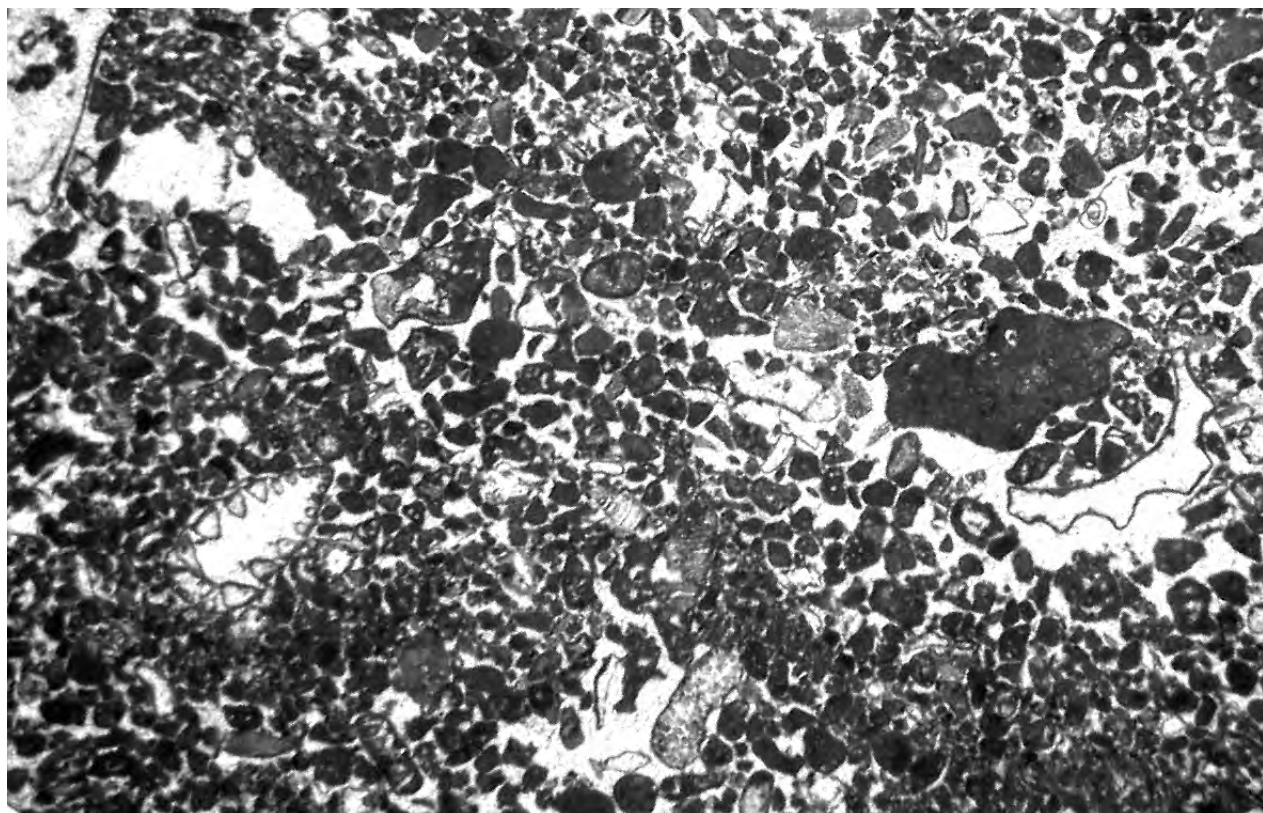


Fig. 1 – Rudstone con *Trocholina cherchiai*, *Trocholina sp.* e altri Foraminiferi bentonici, resti di Alghe calcaree e Mollusca.  $\times 20$

– Rudstone with *Trocholina cherchiai*, *Trocholina sp.* and other benthic Foraminifera, calcareous Algae and Mollusca remains.  $\times 20$



Figg. 2 - 4 – Sezioni variamente orientate di individui riferibili a *Trocholina cherchiai*.  $\times 60$   
– Variously oriented sections of specimens referred to *Trocholina cherchiai*.  $\times 60$

La microfacies di fig. 1 e gli individui delle figg. 2-4 provengono dalla sezione stratigrafica di Costa dell'Orsa, Gran Sasso d'Italia (Abruzzo).

Biozona a *Lithocodium aggregatum* - sottozona a *Protopeneroplis ultragranulata*.

VALANGINIANO

– The microfacies of fig. 1 and the specimens of figs. 2-4 from Costa dell'Orsa stratigraphic section, Gran Sasso d'Italia (Abruzzi).  
*Lithocodium aggregatum* biozone - *Protopeneroplis ultragranulata* subzone.

VALANGINIAN

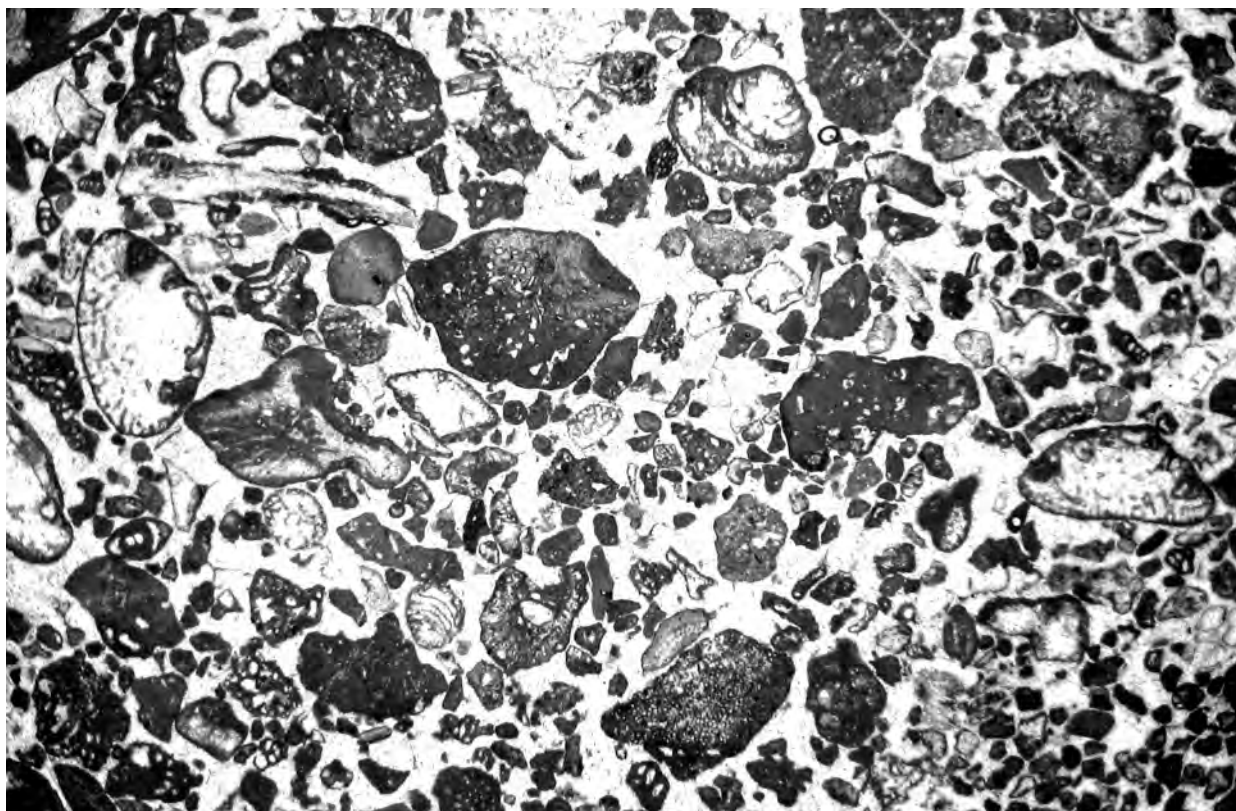
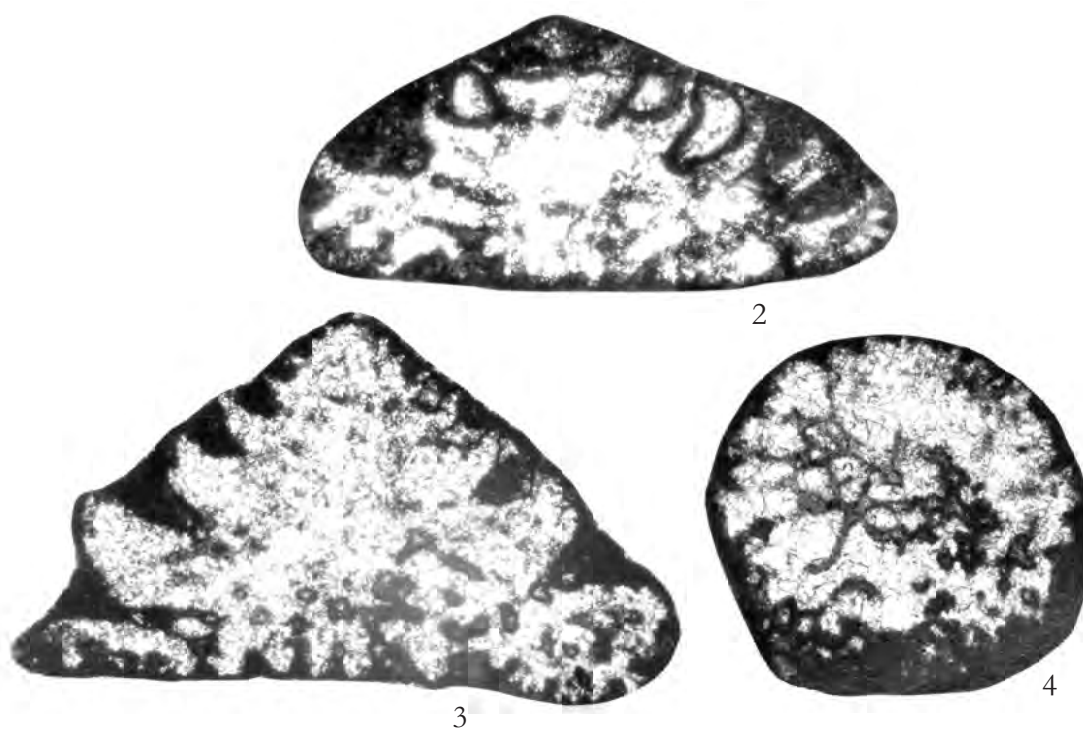


Fig. 1 – Grainstone con *Trocholina chouberti*, *Trocholina sp.*, altri Foraminiferi bentonici, Dasycladaceae, resti di Mollusca e Echinodermata.  $\times 15$

– *Grainstone with Trocholina chouberti, Trocholina sp., other benthic Foraminifera, Dasycladaceae, Mollusca and Echinodermata remains.*  $\times 15$



Figg. 2-4 – Sezioni variamente orientate di individui riferibili a *Trocholina chouberti*.  $\times 40$   
– *Variously oriented sections of specimens referred to Trocholina chouberti.*  $\times 40$

La microfacies di fig. 1 e gli individui delle figg. 2-4 provengono dalla sezione stratigrafica di Costa dell'Orsa, Gran Sasso d'Italia (Abruzzo).

Biozona a *Lithocodium aggregatum* - sottozona a *Protopeneroplis ultragranulata*. VALANGINIANO  
– *The microfacies of fig. 1 and the specimens of figs. 2-4 from Costa dell'Orsa stratigraphic section, Gran Sasso d'Italia (Abruzzo).* *Lithocodium aggregatum biozone - Protopeneroplis ultragranulata subzone.* VALANGINIAN



Fig. 1 – Floatstone con *Acruliammina longa* (fissato a un oncoide).  $\times 30$   
 – *Floatstone with Acruliammina longa (attached to oncoid)*.  $\times 30$

Sezione stratigrafica di Cima d'Anzano, Gran Sasso d'Italia (Abruzzo).  
 Biozona a *Lithocodium aggregatum*.

VALANGINIANO

– *Cima d'Anzano stratigraphic section, Gran Sasso d'Italia (Abruzzi)*.  
*Lithocodium aggregatum biozone.*

VALANGINIAN

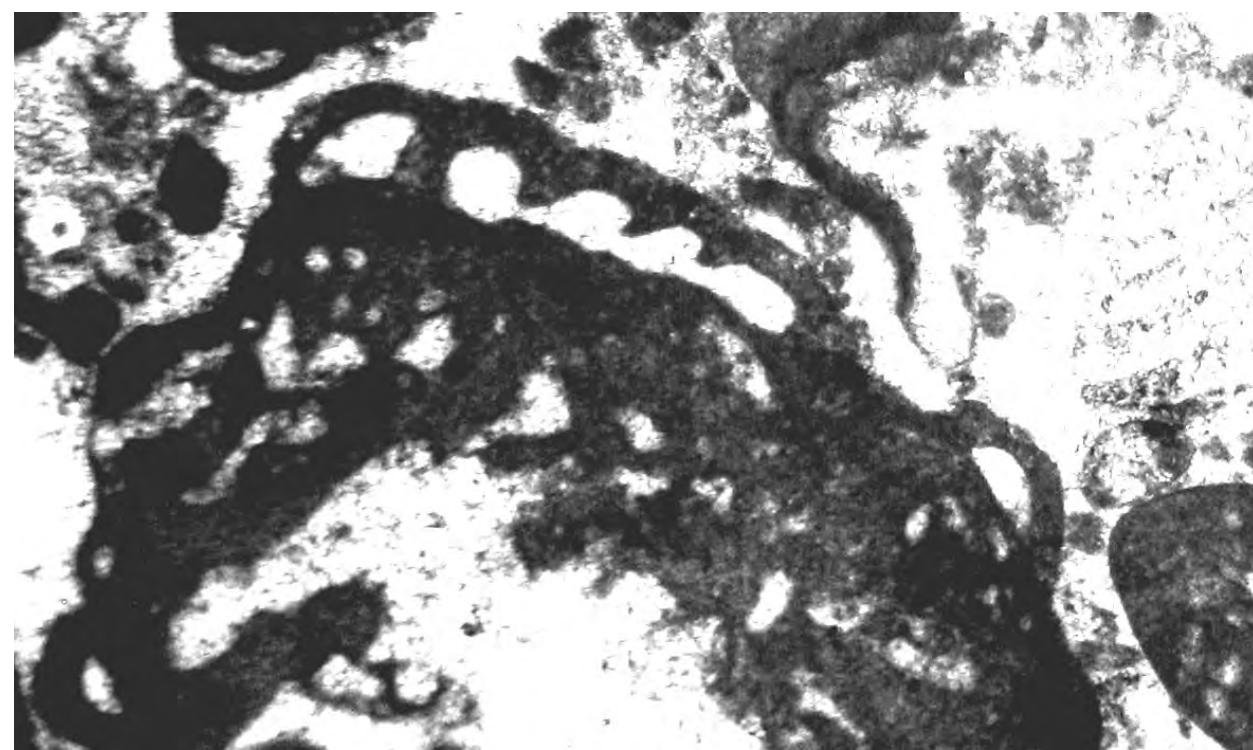


Fig. 2 – Rudstone con *Acruliammina longa* (fissato ad un oncoide) e *Tubiphytes morronensis*.  $\times 32$   
 – *Rudstone with Acruliammina longa (attached to oncoid) and Tubiphytes morronensis*.  $\times 32$

Sezione stratigrafica Costa di Piecipopoli, Gran Sasso d'Italia (Abruzzo).  
 Biozona a *Lithocodium aggregatum*.

VALANGINIANO - HAUTERIVIANO

– *Costa di Piecipopoli stratigraphic section, Gran Sasso d'Italia (Abruzzi)*.  
*Lithocodium aggregatum biozone.*

VALANGINIAN - HAUTERIVIAN

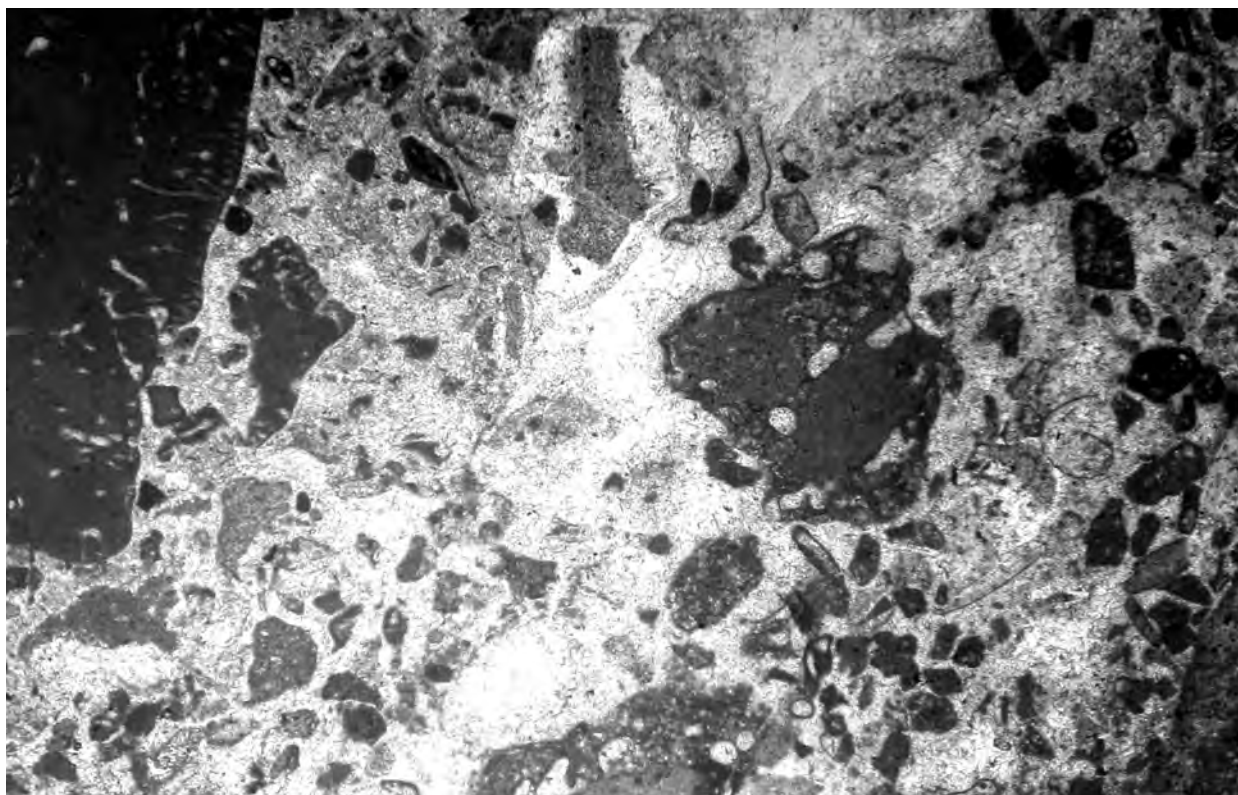
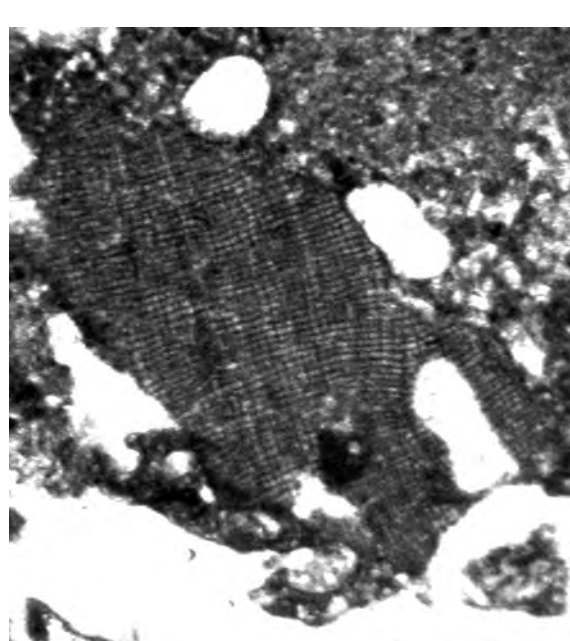


Fig. 1 – Rudstone con Melobesioidae ind., *Lithocodium aggregatum*, rari Foraminiferi bentonici, resti di Mollusca e Echinodermata. x 15  
– Rudstone with Melobesioidae ind., *Lithocodium aggregatum*, rare benthic Foraminifera, Mollusca and Echinodermata remains.

x 15



2



3

Figg. 2-3 – Sezioni variamente orientate di individui riferibili a Melobesioidae ind. x 65  
– Variously oriented sections of specimens referred to Melobesioidae ind. x 65

La microfacies di fig. 1 e gli individui delle figg. 2, 3 provengono dalla località Pian Mattano presso Antrodoco (Lazio).

Parte media della biozona a *Lithocodium aggregatum*. VALANGINIANO SUPERIORE – HAUTERIVIANO

– The microfacies of fig. 1 and the specimens of figs. 2, 3 from Pian Mattano locality near Antrodoco (Latium).

Middle part of the *Lithocodium aggregatum* biozone.

UPPER VALANGINIAN - HAUTERIVIAN

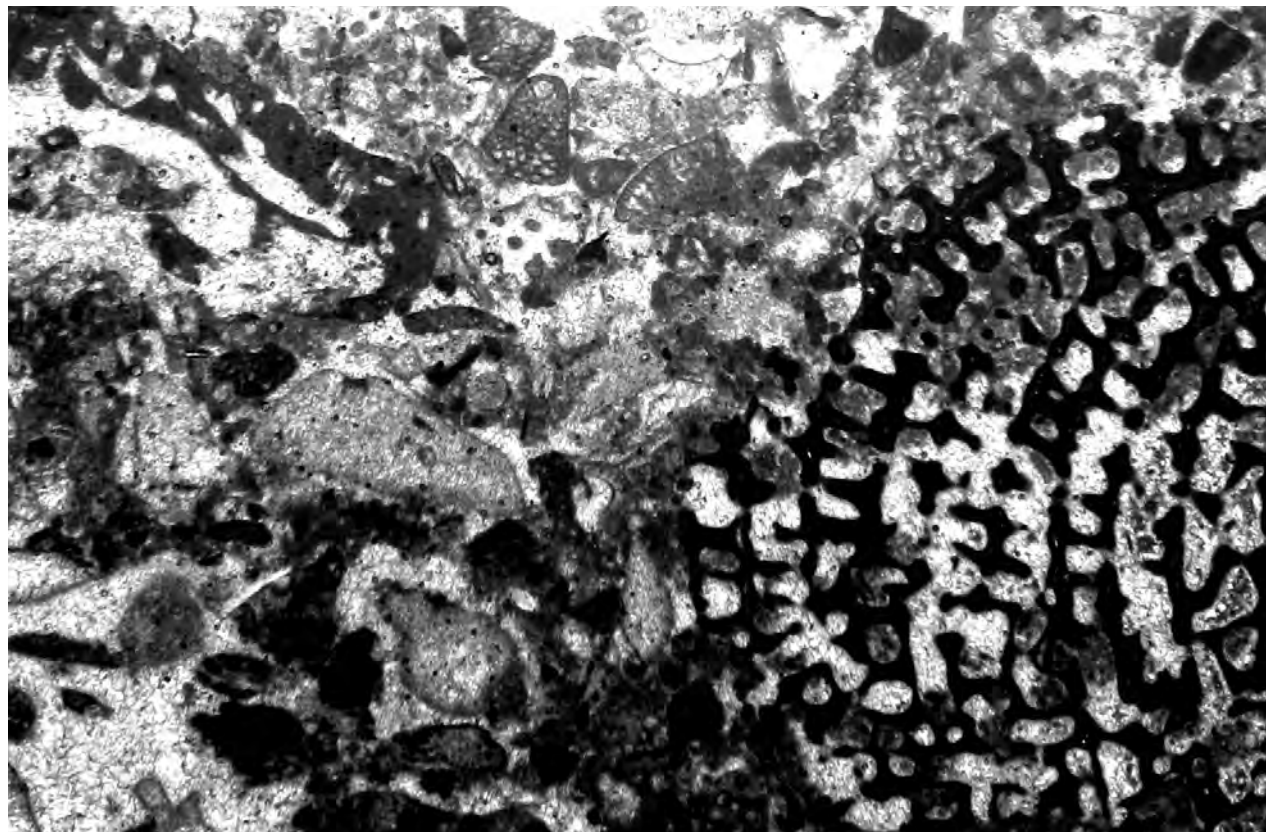
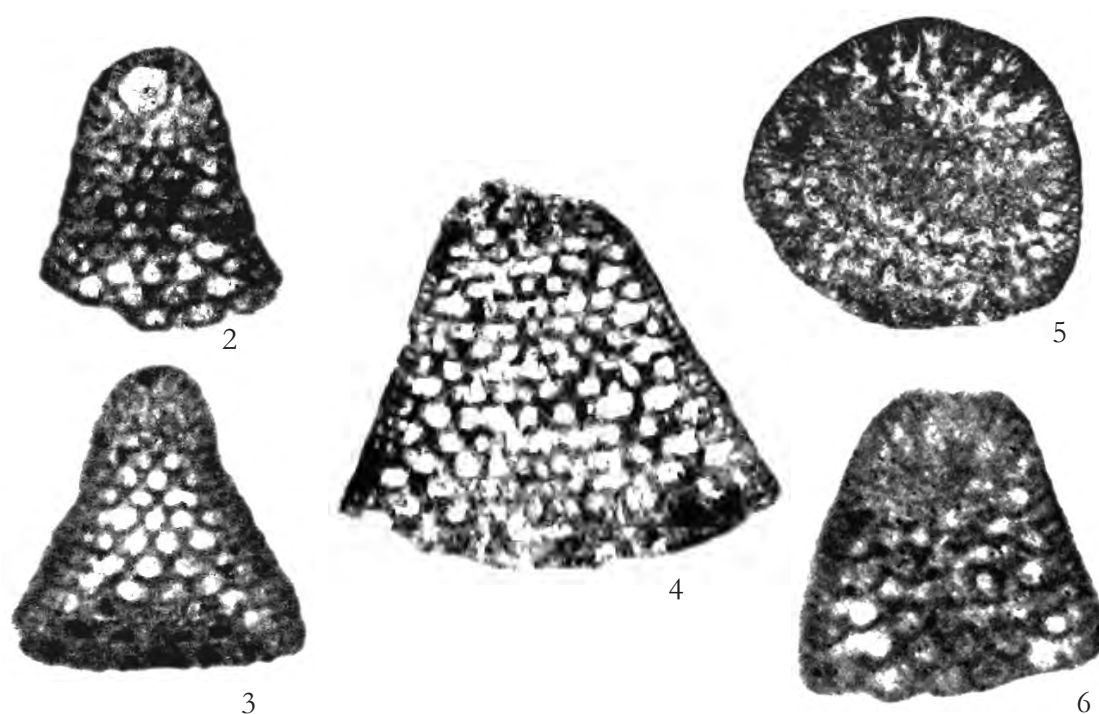


Fig. 1 – Rudstone con *Montseciella arabica*, resti di Alghe calcaree e Hydrozoa. x 15  
 – Rudstone with *Montseciella arabica*, calcareous Algae and Hydrozoa remains. x 15



Figg. 2-6 – Sezioni variamente orientate di *Montseciella arabica*. x 37  
 – Variously oriented sections of *Montseciella arabica*. x 37

La microfacies di fig. 1 e gli individui delle figg. 2-6 provengono dal versante settentrionale di Monte Gabbia (Abruzzo).

Parte superiore della biozona a *Lithocodium aggregatum*.

– The microfacies of fig. 1 and the specimens of figs. 2-6 from the northern slope of Gabbia Mt. (Abruzzi).  
 Upper part of the *Lithocodium aggregatum* biozone

BARREMIANO SUPERIORE

UPPER BARREMIAN

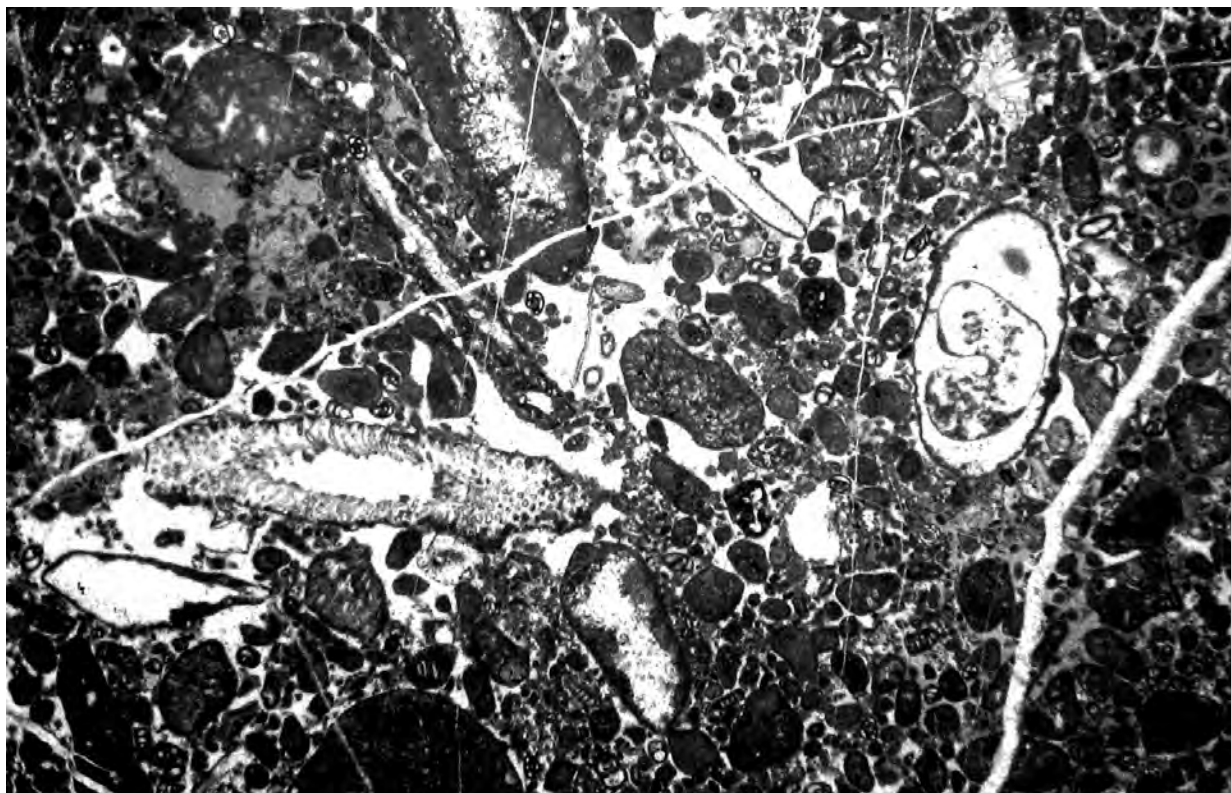
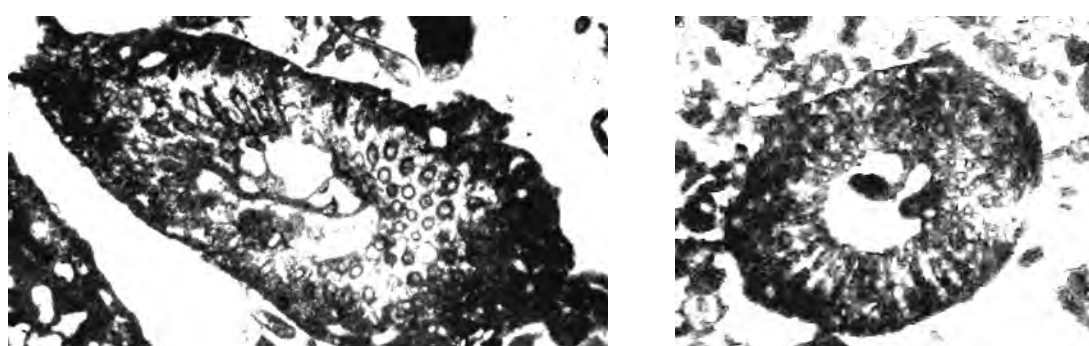


Fig. 1 – Rudstone mal classato con *Macroporella incerta*, rari Foraminiferi bentonici, *Lithocodium aggregatum*, resti di Echinodermata e Mollusca. x 8

– Poorly sorted rudstone with *Macroporella incerta*, rare benthic Foraminifera, *Lithocodium aggregatum*, Echinodermata and Mollusca remains.

x 8



2

3



4

Figg. 2-4 – Sezioni variamente orientate di individui riferibili a *Macroporella incerta*. x 18

– Variously oriented sections of specimens referred to *Macroporella incerta*.

x 18

La microfacies di fig. 1 e gli individui delle figg. 2-4 provengono dalla sezione stratigrafica Costa di Piecipopoli, Gran Sasso d'Italia (Abruzzo).

BARREMIANO

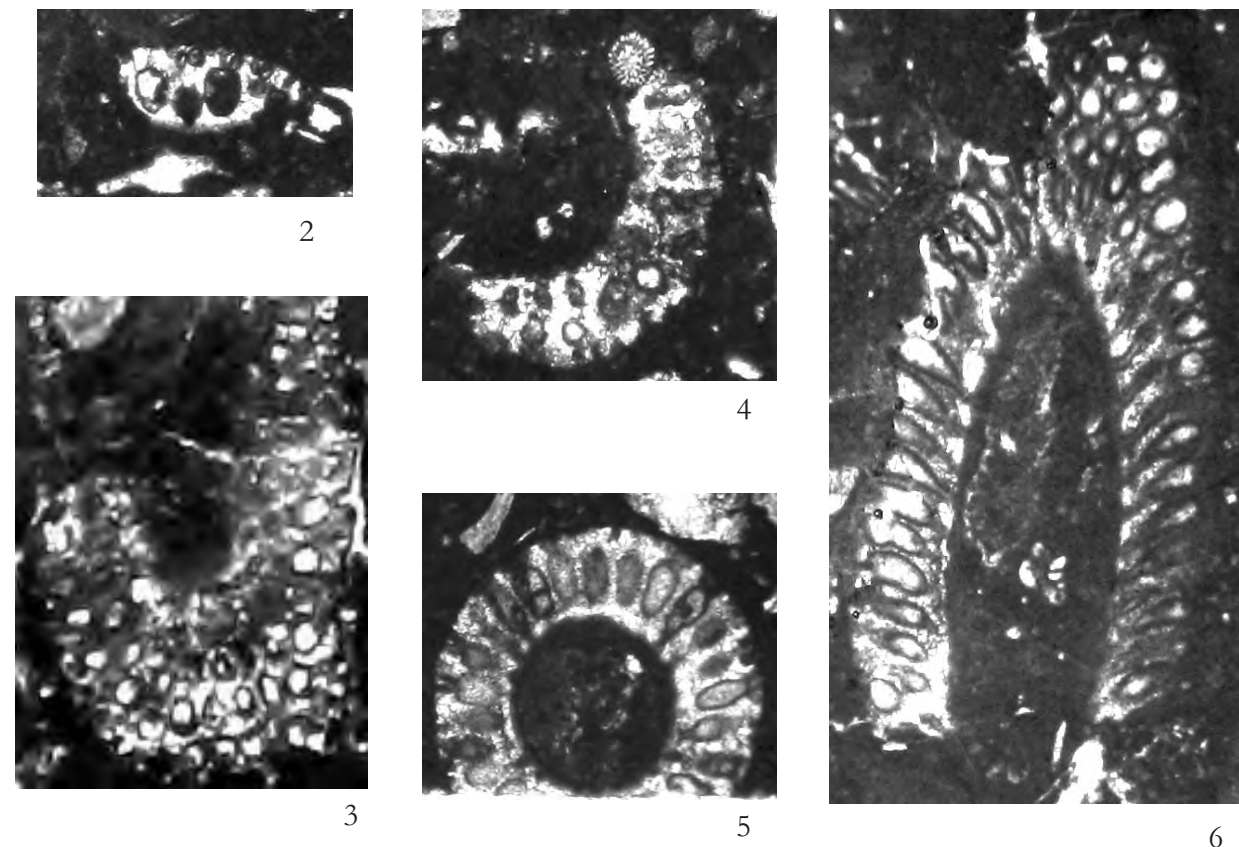
– The microfacies of fig. 1 and the specimens of figs. 2-4 from Costa di Piecipopoli stratigraphic section, Gran Sasso d'Italia (Abruzzi).

Upper part of the *Lithocodium aggregatum* biozone.

BARREMIAN



Fig. 1 – Floatstone con *Suppilulumaella* cf. *polyreme* e altre *Dasycladaceae*.  $\times 12$   
 – Floatstone with *Suppilulumaella* cf. *polyreme* and other *Dasycladaceae*.  $\times 12$



Figg. 2-6 – Sezioni variamente orientate di individui riferibili a *Suppilulumaella* cf. *polyreme*.  $\times 15$   
 – Variously oriented sections of specimens referred to *Suppilulumaella* cf. *polyreme*.  $\times 15$

La microfacies di fig. 1 e gli individui delle figg. 2-6 provengono dalla località Prata di Cagno (Lazio).  
 Parte superiore della biozona a *Lithocodium aggregatum*.

BARREMIANO SUPERIORE-APTIANO INFERIORE  
 – The microfacies of fig. 1 and the specimens of figs. 2-6 from Prata di Cagno locality (Latium).  
 Upper part of *Lithocodium aggregatum* biozone.

UPPER BARREMLIAN-LOWER APTIAN

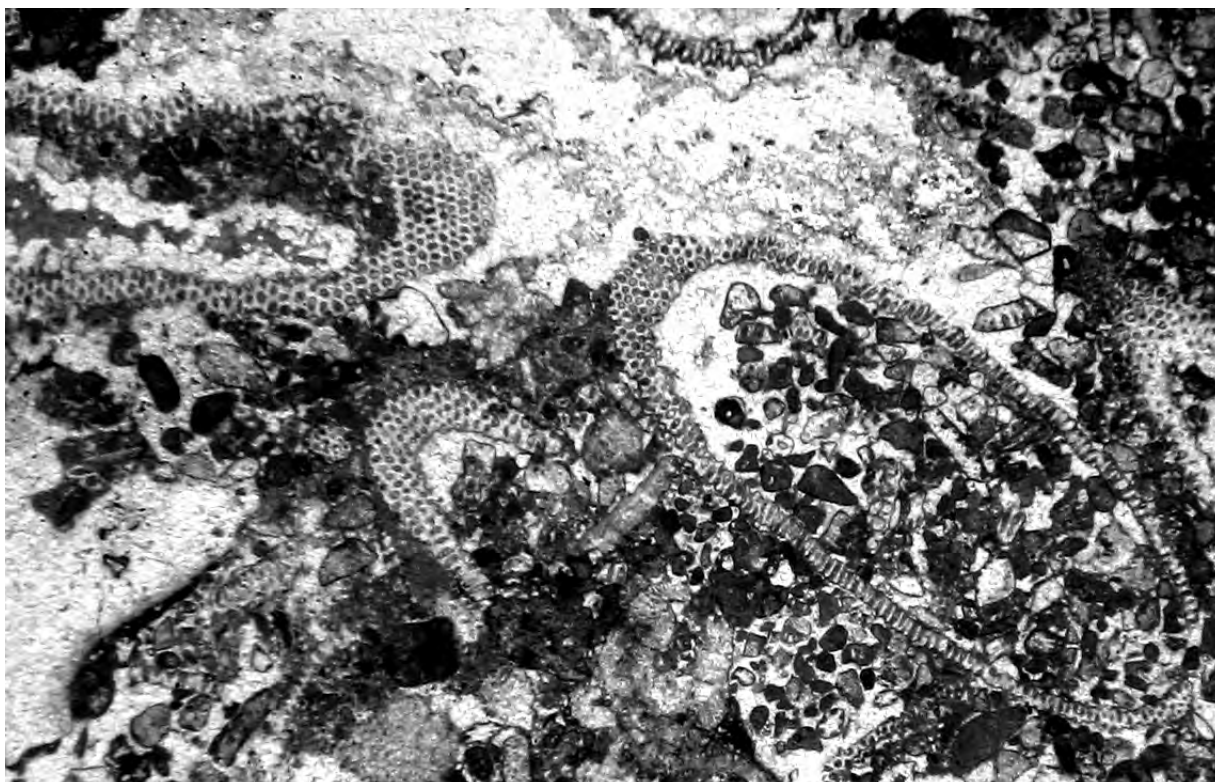
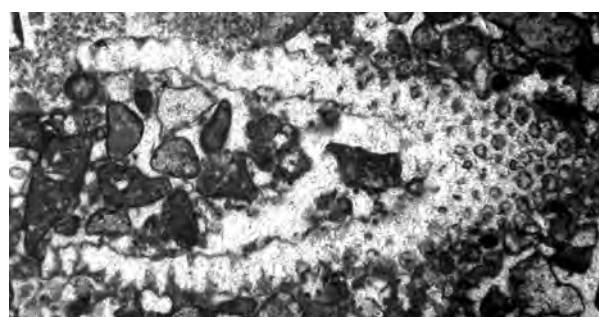


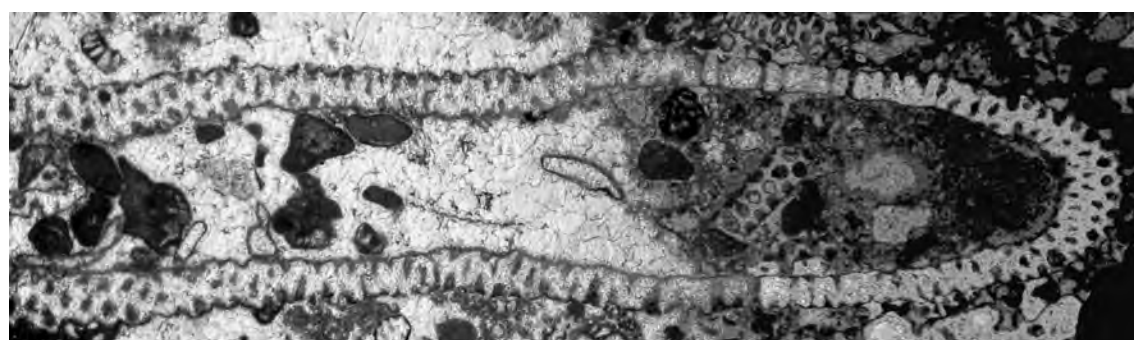
Fig. 1 – Rudstone con *Gyroporella lukicae*, altre Dasycladaceae e frammenti di Mollusca. x 38  
 – Rudstone with *Gyroporella lukicae*, other Dasycladaceae and Mollusca fragments. x 38



2



3



4

Figg. 2-4 – Sezioni variamente orientate di individui riferibili a *Gyroporella lukicae*. x 120  
 – Varily oriented sections of specimens referred to *Gyroporella lukicae*. x 120

La microfacies di fig. 1 e gli individui delle figg. 2-4 provengono dalla sezione stratigrafica di Colle Paradiso, Gran Sasso d'Italia (Abruzzo).

Parte superiore della biozona a *Lithocodium aggregatum*.

APTIANO INFERIORE

– The microfacies of fig. 1 and the specimens of figs. 2-4 from Colle Paradiso stratigraphic section, Gran Sasso d'Italia (Abruzzo).

Upper part of *Lithocodium aggregatum* biozone.

LOWER APTIAN

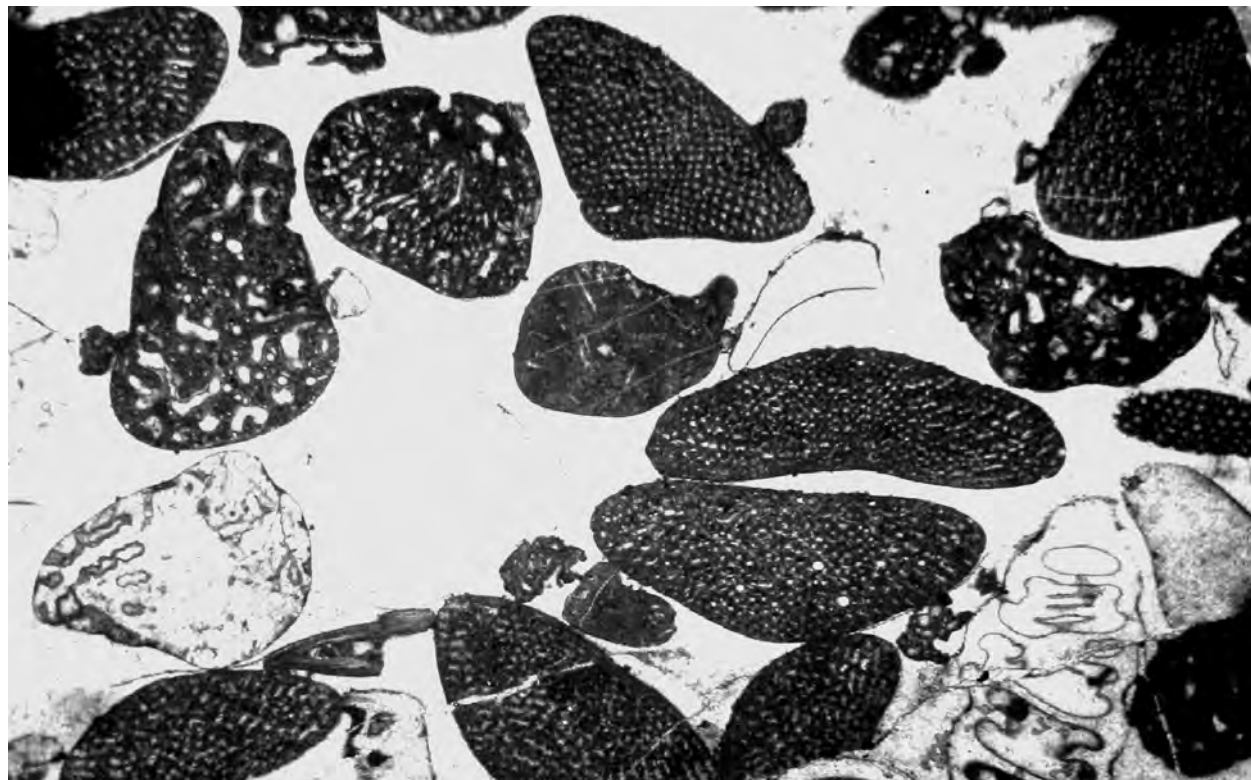


Fig. 1 – Rudstone con *Orbitolina (Mesorbitolina) texana*, *Coscinophragma cribrosum*, Nerineidae e resti di Scleractinia.  
x 20  
– Rudstone with *Orbitolina (Mesorbitolina) texana*, *Coscinophragma cribrosum*, *Nerineidae* and *Scleractinia* remains.  
x 20

La microfacies di fig. 1 proviene dalla località di Fossa Mezzaspada, Monti d'Ocre (Abruzzo).  
Parte media della biozona a *Orbitolina*.  
– The microfacies of fig. 1 from Fossa Mezzaspada locality, Ocre Mts. (Abruzzi).  
Middle part of the *Orbitolina* biozone.

ALBIANO SUPERIORE

UPPER ALBLAN

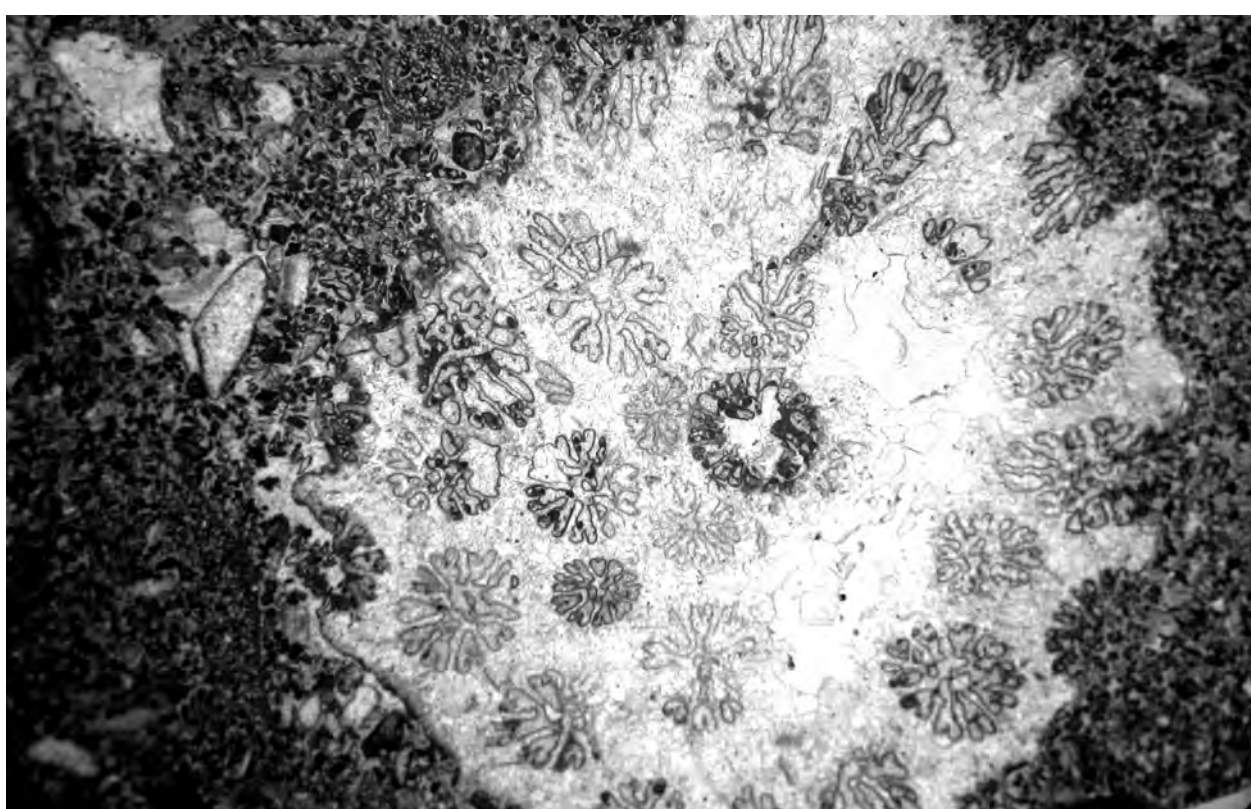


Fig. 2 – Framestone con Scleractinia. x 8  
– Scleractinia framestone. x 8

La microfacies di fig. 2 proviene dalla sezione stratigrafica di Fossato Macchè, Monti d'Ocre (Abruzzo).  
Parte media della biozona a *Orbitolina*.  
– The microfacies of fig. 2 from Fossato Macchè stratigraphic section, Ocre Mts. (Abruzzi).  
Middle part of the *Orbitolina* biozone.

ALBIANO SUPERIORE – CENOMANIANO INFERIORE

UPPER ALBLAN – LOWER CENOMANIAN

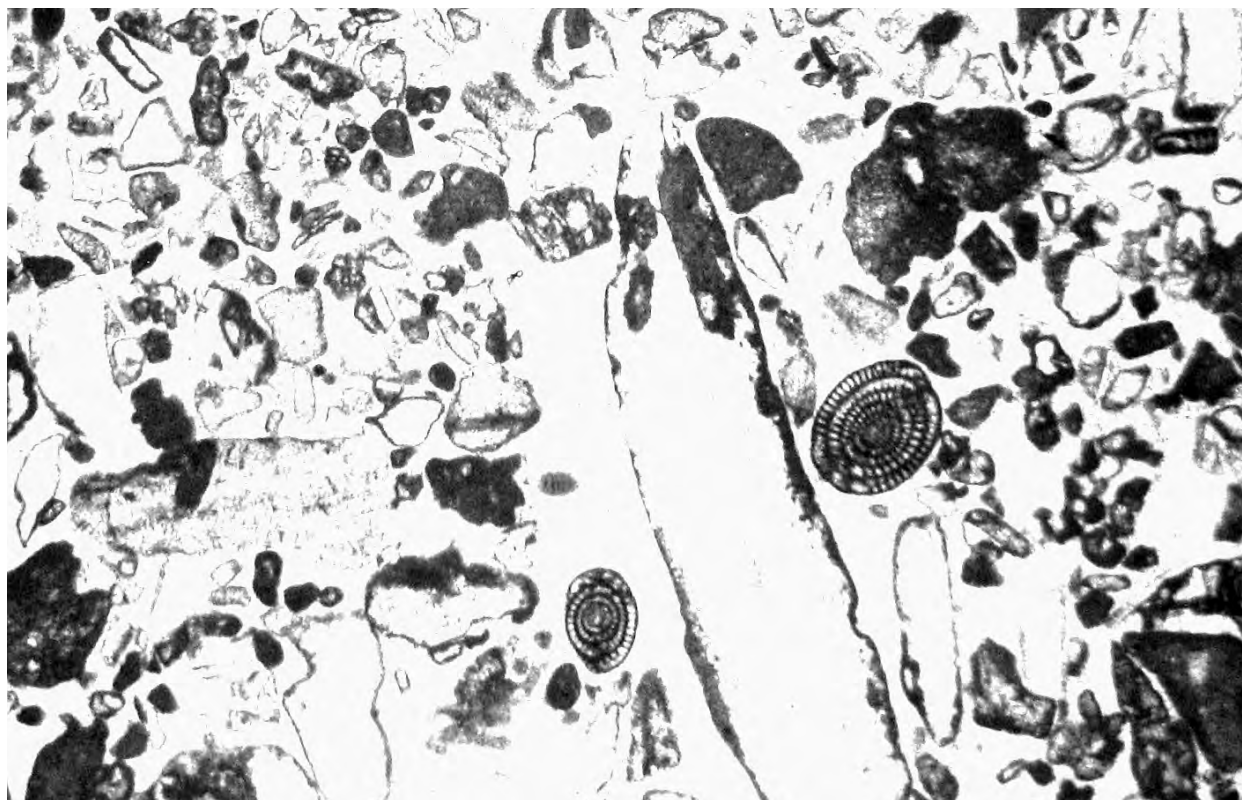
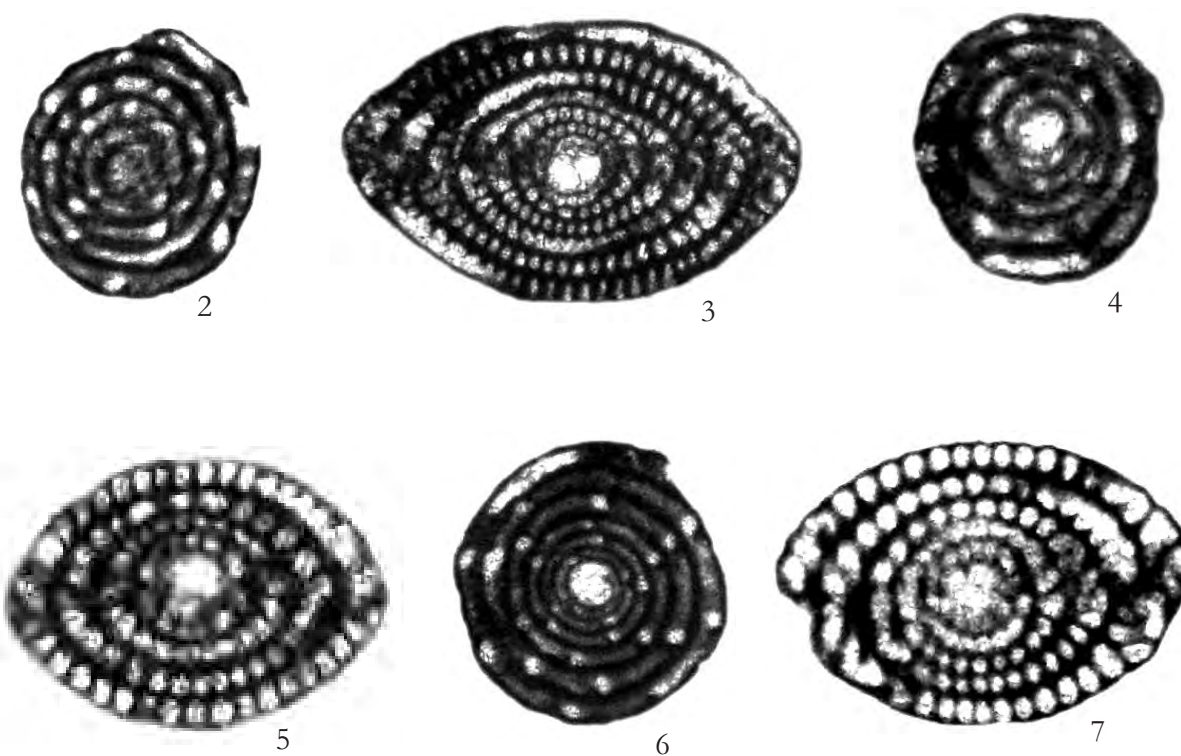


Fig. 1 – Rudstone mal classato con *Praealveolina iberica* e frammenti bioerosi di Mollusca. x 22  
 – Poorly sorted rudstone with *Praealveolina iberica* and bioeroded fragments of Mollusca. x 22



Figg. 2-7 – Sezioni variamente orientate di individui riferibili a *Praealveolina iberica*. x 60  
 – Variously oriented sections of specimens referred to *Praealveolina iberica*. x 60

La microfacies di fig. 1 e gli individui delle figg. 2-7 provengono dalla sezione stratigrafica di Fossato Macchì, Monti d'Ocre (Abruzzo).

Parte media della biozona a Orbitolina. ALBIANO SUPERIORE - CENOMANIANO INFERIORE  
 – The microfacies of fig. 1 and the specimens of figs. 2-7 from Fossato Macchì stratigraphic section, Ocre Mts. (Abruzzi).  
 Middle part of the Orbitolina biozone. UPPER ALBIAN - LOWER CENOMANIAN

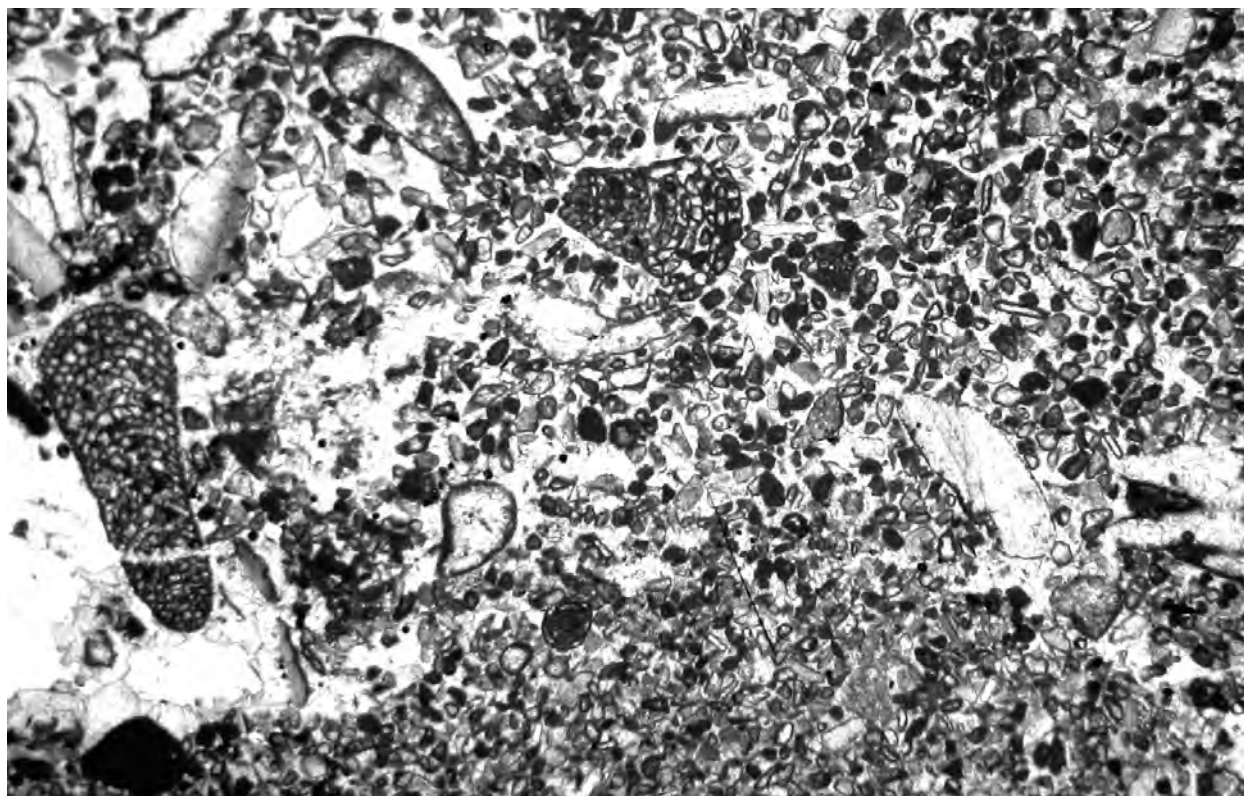


Fig. 1 – Rudstone mal classato con *Orbitolina (Conicorbitolina) moulladei*, *Praealveolina iberica*, altri Foraminiferi bentonici e frammenti di Mollusca.  $\times 15$   
 – Poorly sorted rudstone with *Orbitolina (Conicorbitolina) moulladei*, *Praealveolina iberica*, other benthic Foraminifera and Mollusca fragments.  $\times 15$



Figg. 2-7 – Sezioni variamente orientate di individui riferibili a *Orbitolina (Conicorbitolina) moulladei*. (2-6)  $\times 25$ ; (7)  $\times 18$   
 – Variously oriented sections of specimens referred to *Orbitolina (Conicorbitolina) moulladei*. (2-6)  $\times 25$ ; (7)  $\times 18$

La microfacies di fig. 1 e gli individui delle figg. 2-7 provengono dalla sezione stratigrafica di Fossato Macchè, Monti d'Ocre (Abruzzo).

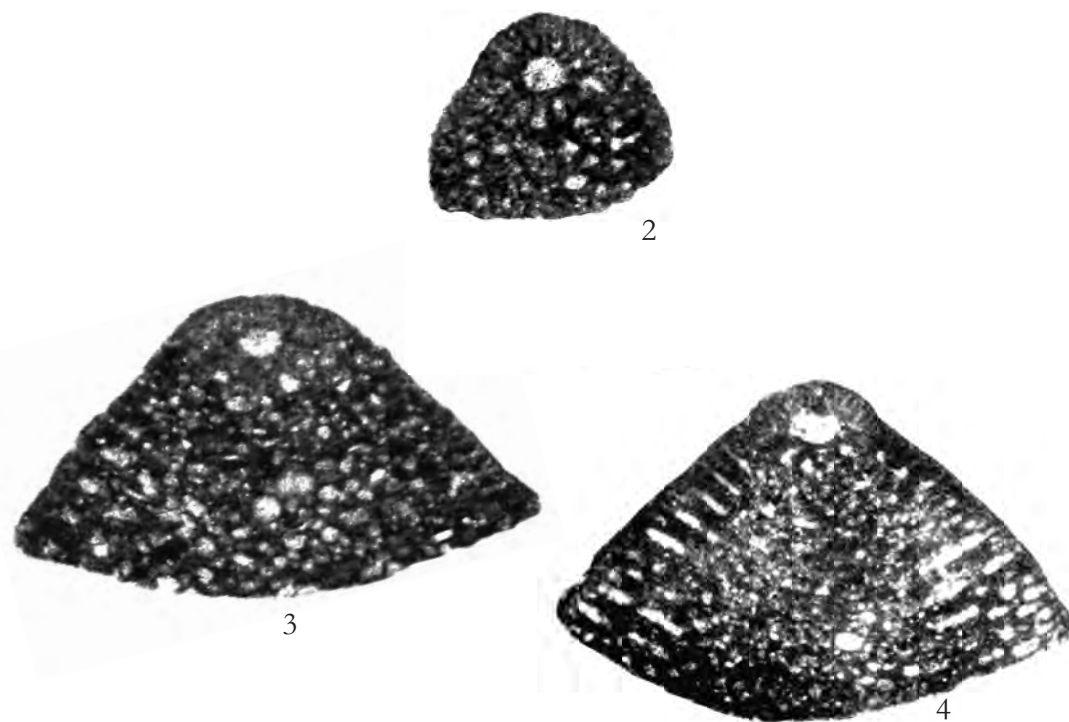
Parte media della biozona a *Orbitolina*. ALBIANO SUPERIORE - CENOMANIANO INFERIORE

– The microfacies of fig. 1 and the specimens of figs. 2-7 from Fossato Macchè stratigraphic section, Ocre Mts. (Abruzzi).  
 Middle part of the *Orbitolina* biozone. UPPER ALBLAN - LOWER CENOMANIAN



Fig. 1 – Rudstone con *Orbitolina (Conicorbitolina) conica*, altri Foraminiferi bentonici e frammenti bioerosi di Mollusca. x 8

– Rudstone with *Orbitolina (Conicorbitolina) conica*, other benthic Foraminifera and bioeroded fragments of Mollusca.  
x 8



Figg. 2-4 – Sezioni variamente orientate di individui riferibili a *Orbitolina (Conicorbitolina) conica*. x 22  
– Variously oriented sections of specimens referred to *Orbitolina (Conicorbitolina) conica*. x 22

La microfacies di fig. 1 e gli individui delle figg. 3-4 provengono dalla sezione stratigrafica di Fossato Macchè, Monti d'Ocre (Abruzzo); l'esemplare di fig. 2 proviene dalla località Madonna di S. Ruffo-Montereale (Lazio).  
CENOMANIANO INFERIORE

– The microfacies of fig. 1 and the specimens of figs. 3-4 from Fossato Macchè stratigraphic section, Ocre Mts. (Abruzzo); the specimen of fig. 2 from Madonna S. Ruffo-Montereale (Latium).  
Orbitolina biozone.

LOWER CENOMANIAN

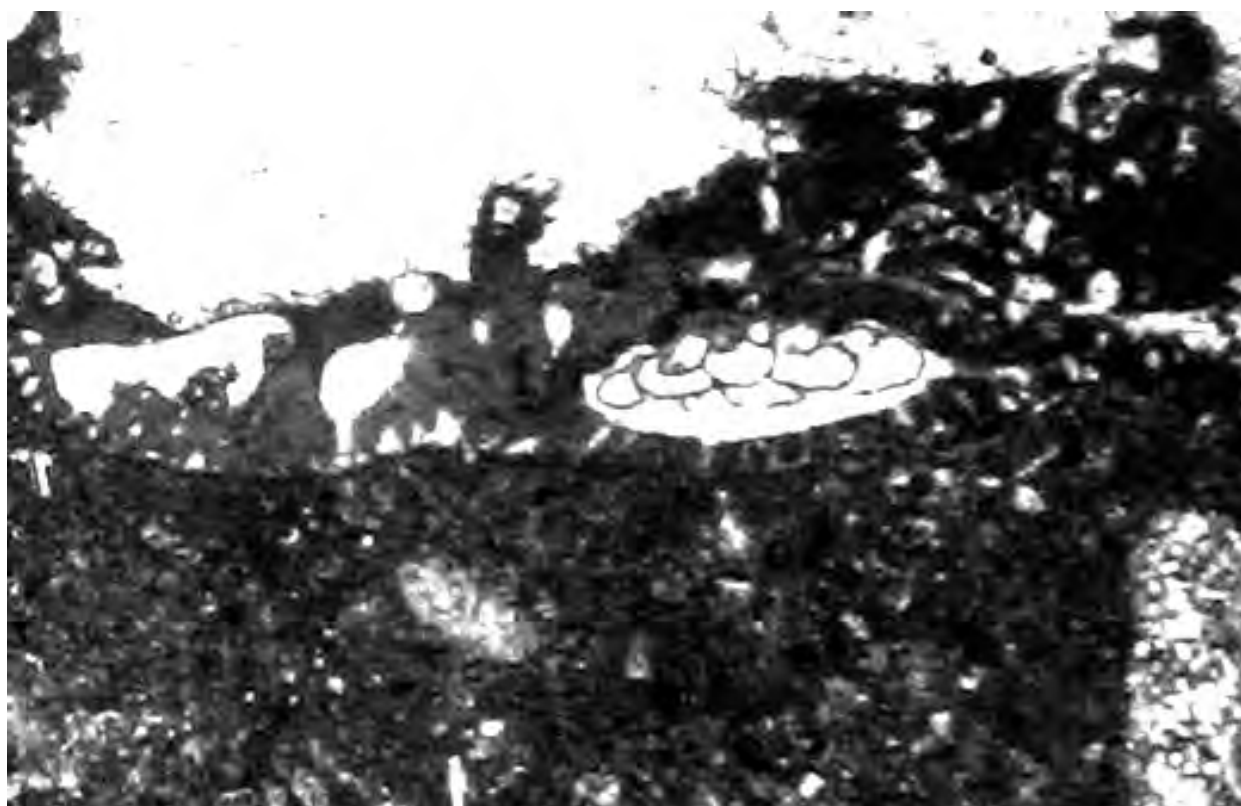


Fig. 1 – Bindstone con *Tauchella endolithica* in una cavità di *Lithocodium aggregatum*.  $\times 50$   
 – Bindstone with *Tauchella endolithica* in to a cavity of *Lithocodium aggregatum*.  $\times 50$

Sezione stratigrafica di Fossato Macchè, Monti d'Ocre (Abruzzo).

Biozona a Orbitolina.

CENOMANIANO INFERIORE

– Fossato Macchè stratigraphic section, Ocre Mts. (Abruzzi)

Orbitolina biozone.

LOWER CENOMANIAN

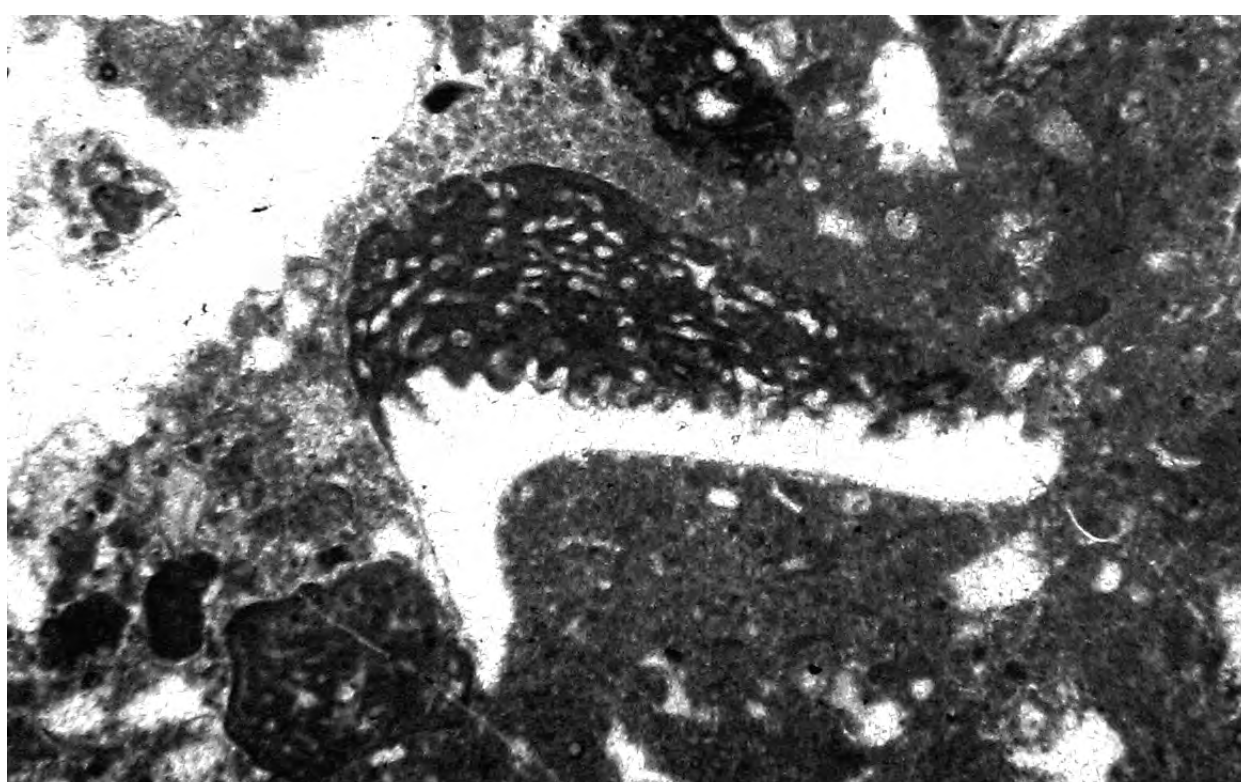


Fig. 2 – Floatstone con Nubeculariidae che incrosta un resto di Mollusca.  $\times 60$   
 – Floatstone with Nubeculariidae encrusting a Mollusca remain.  $\times 60$

Sezione stratigrafica di Fossato Macchè, Monti d'Ocre (Abruzzo).

Biozona a Orbitolina.

CENOMANIANO INFERIORE

– Fossato Macchè stratigraphic section, Ocre Mts. (Abruzzi)

Orbitolina biozone.

LOWER CENOMANIAN

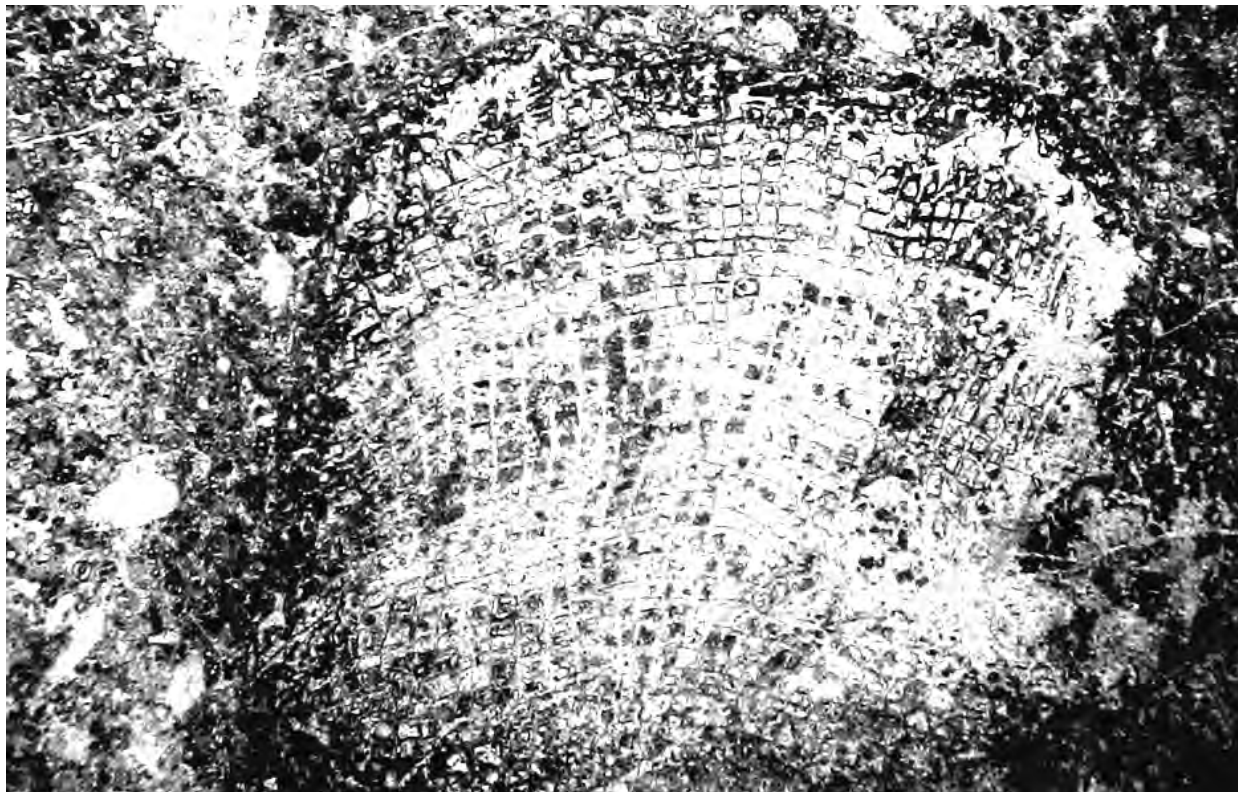


Fig. 1 – Framestone con Hippuritacea. x 15  
– Framestone with Hippuritacea. x 15

La microfacies di fig. 1 proviene dalla località Il Monte, Monti d'Ocre (Abruzzo).  
Biozona a Radiolitidae e Hippuritidae.  
– The microfacies of fig. 1 from Il Monte locality, Ocre Mts. (Abruzzo).  
Radiolitidae and Hippuritidae biozone.

CENOMANIANO SUPERIORE  
UPPER CENOMANIAN



Fig. 2 – Floatstone con resti di Hippuritacea. x 15  
– Floatstone with Hippuritacea remains. x 15

La microfacies di fig. 2 proviene dal Monte Le Quartora, Monti d'Ocre (Abruzzo).  
Biozona a Radiolitidae e Hippuritidae.  
– The microfacies of fig. 2 from Le Quartora Mt., Ocre Mts. (Abruzzo).  
Radiolitidae and Hippuritidae biozone.

TURONIANO - SANTONIANO  
TURONIAN - SANTONIAN  
TURONIAN - SANTONIAN